

UNIVERSIDADE ESTADUAL DE CAMPINAS  
FACULDADE DE ENGENHARIA DE CAMPINAS  
DEPARTAMENTO DE ENGENHARIA ELÉTRICA

"OTIMIZAÇÃO DOS PROCESSOS SINTERIZAÇÃO -  
ALTO FORNO - ACIÁRIA LD ATRAVÉS DA  
PROGRAMAÇÃO LINEAR"

- DONG SU CHIO -

Trabalho apresentado à Comissão  
de Pós-Graduação da Faculdade de  
Engenharia de Campinas, como par-  
te dos requisitos para a obtenção  
do título de Mestre em Engenharia  
Elétrica.

## Í N D I C E

### SUMÁRIO

#### CAPÍTULO I - INTRODUÇÃO

- I.1. TERMINOLOGIAS METALÚRGICAS E NOTAÇÕES ADOTADAS
- I.2. PROCESSOS SINTERIZAÇÃO - ALTO FORNO - ACIARIA
- I.3. FORMULAÇÃO DO PROBLEMA

#### CAPÍTULO II - MODELO DA SINTERIZAÇÃO

- II.1. DESCRIÇÃO DA SINTERIZAÇÃO
- II.2. BALANÇO MATERIAL

#### CAPÍTULO III - MODELO DO ALTO-FORNO

- III.1. DESCRIÇÃO DO ALTO-FORNO
- III.2. BALANÇO MATERIAL
- III.3. BALANÇO TÉRMICO

#### CAPÍTULO IV - MODELO DA ACIARIA LD

- IV.1. DESCRIÇÃO DA ACIARIA LD
- IV.2. BALANÇO MATERIAL
- IV.3. BALANÇO TÉRMICO

#### CAPÍTULO V - UM EXEMPLO PRÁTICO

- V.1. DADOS
- V.2. RESULTADOS

#### CAPÍTULO VI - CONCLUSÕES

ANEXOS 1, 2,3  
BIBLIOGRAFIAS

## AGRADECIMENTOS

Gostaria de manifestar uma profunda gratidão a aquelas pessoas que me ajudaram sob diversas formas durante o desenvolvimento desta tese; a minha esposa, Fátima, por seus incentivos carinhosos nos momentos mais difíceis; aos professores Dr. Hermano Tavares e Dr. Jurandir F.R. Fernandes que me orientaram com toda atenção e críticas construtivas, sugerindo inclusive a análise de sensibilidade do problema; a Cia. Siderúrgica Belgo-Mineira que me concedeu o tempo e as informações necessárias para este trabalho e em especial ao Engº Carlos Augusto de Oliveira pelo seu apoio técnico e administrativo; e finalmente a minha secretária Sra. Maria Angela que me prestou um valioso serviço de datilografia.

## SUMÁRIO

Este trabalho tem como objetivo estabelecer um modelo matemático através do qual se possa otimizar o uso das matérias primas na produção de semi-produtos siderúrgicos como gusa e aço, numa usina siderúrgica integrada. Tais semi-produtos são caracterizados pelas respectivas faixas de composições químicas que devem ser obedecidas, assim como os processos metalúrgicos que foram representados pelas equações do balanço material e térmico para cada equipamento de produção. Algumas relações metalúrgicas foram convenientemente restrin-gidas dentro das faixas operacionais visando obter um modelo para a aplicação do algoritmo de Programação Linear, utilizando o programa MPSX / 370 do IBM, que se mostrou bastante eficiente. Como resultado computacional, as composições químicas ótimas dos semi-produtos podem direcionar os setores de produção a fim de obter melhor retorno global. As influências das relaxações de algumas restrições ou pequenas alterações dos preços das matérias primas sobre o retorno global podem ser diagnosticadas através da análise de sensibilidade.

CAPÍTULO I - INTRODUÇÃO

I.1. TERMINOLOGIAS METALÚRGICAS E NOTAÇÕES ADOTADAS

I.2. PROCESSOS SINTERIZAÇÃO - ALTO FORNO - ACIARIA

I.3. FORMULAÇÃO DO PROBLEMA

## I.1. TERMINOLOGIAS METALÚRGICAS E NOTAÇÕES ADOTADAS

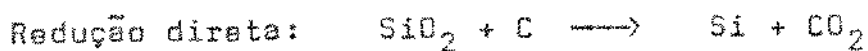
Em se tratando de um problema metalúrgico, é inevitável o uso de alguns termos específicos da metalurgia que devem ser esclarecidos inicialmente.

No decorrer do desenvolvimento do modelo, também foram adotadas algumas notações com a finalidade de facilitar a sua compreensão.

### a. TERMINOLOGIAS

- Corrida: retirada periódica de uma porção de produtos em estado líquido de um forno. Pode se referir ao vazamento do gusa líquido no alto-forno ou a retirada de aço líquido do forno na escaria.
- Redução: transformação química que ocorre no alto-forno, das substâncias da forma oxidata para forma elementar. A redução é direta quando esta transformação se processa pela ação de carbono (C) e indireta quando ela ocorre pela ação de monóxido de carbono (CO).

Exemplos:



- Calcinação: redução de carbonatos.



- Entalpia: calor contido numa substância na temperatura T ( $^{\circ}\text{K}$ ). Por convenção, é calculado tomando como referência a temperatura ambiente,  $298^{\circ}\text{K}$ .

Notação:  $(H_T - H_{298})$

Unidade: Cal / mol

- Entalpia de formação ou calor de formação: pode ser entendida como o calor gerado ou consumido na formação de uma substância química na temperatura ambiente. Portanto para substâncias químicas na forma elementar, este valor é zero.

Notação:  $\Delta H_{298}$

Unidade: Cal / mol

#### b. NOTAÇÕES ADOTADAS

- $\text{Nm}^3$ : Normal metro cúbico - unidade de volume ocupado pelo gás nas condições normais de pressão e temperatura.
- $\text{th}$ : thermia - unidade de calor,  $10^6$  calorias.
- $N_x$ : mol de uma substância química x
- $(x)_i$ : teor de substância química x na matéria prima i.  
Por exemplo  $(\text{CaO})_i$  representa o teor de CaO na matéria prima i.

## I.2. PROCESSO SINTERIZAÇÃO - ALTO FORNO - ACIARIA

Atualmente as modernas usinas siderúrgicas integradas possuem instalações de Sinterização, Alto-Forno e Aciaria trabalhando em linha. O processo de sinterização é basicamente uma aglomeração de partículas minerais numa massa porosa chamado sinter, pela fusão incipiente causada pelo calor produzido com a queima de um combustível a elas adicionado, empregando-se como fundentes cal ou calcáreo para auxiliar a aglomeração.

O enfornamento de sinter proporciona maior produtividade do alto-forno em relação ao minério de ferro pela sua dimensão e porosidade que facilitam a passagem de gás acelerando as reações. A composição química do sinter desempenha uma função importante no alto-forno: ela deve ser de tal modo que assegure uma boa resistência física evitando a geração de finos e ao mesmo tempo atender às restrições operacionais do alto-forno principalmente quanto às faixas de variações de Alumina ( $Al_2O_3$ ), Silica ( $SiO_2$ ) e Óxido de Cálcio ( $CaO$ ) que influenciam no volume de escória.

As matérias primas como sinter, combustível e adições são carregadas pelo topo do alto-forno e após percorrer todo o interior do forno são reduzidas aos elementos químicos como Ferro (Fe), Silício (Si), Carbono (C), etc, que incorporam no gusa líquido sendo periodicamente retirado através de uma região chamada cedinho, conforme figura 1. A combustão, entre o carbono do combustível e oxigênio do ar quente soprado pelas ventaneiras, é realizada numa zona inferior do forno. Os gases provenientes desta combustão  $CO$  e  $CO_2$ , sobem percorrendo todo o corpo do alto-forno em contra-corrente em relação às cargas, reagindo com elas. Portanto as reduções podem ocorrer indiretamente, pela ação destes gases ascendentes ou diretamente em contato com carbono do combustível na zona de combustão. A proporção das reduções diretas e indiretas depende, entre outros, do estado térmico do forno. Os sub-produtos deste processo são:

- A escória, para a qual destinam-se as impurezas;

- O gás de alto-forno, que contém alta percentagem de CO, portanto combustível, e é utilizado para o aquecimento do ar nos regeneradores de calor chamados "cowpers", que posteriormente é soprado no alto-forno através das ventanas;
- Poeiras, que são partículas das cargas arrastadas pelos gases.

O Ferro-gusa assim obtido é então transportado para a aciaria ainda no estado líquido e posteriormente enfornado junto com outras matérias primas como sucatas de aço, gusa sólido e cal numa panela cilíndrica móvel, revestida internamente de refratários, chamado convertedor. O processo de elaboração de aço consiste em basicamente elevar a temperatura desta mistura em pouco tempo, quer por combustão no caso da aciaria com sopragem a oxigênio, quer por via térmica no caso da aciaria elétrica, formando primeiro a escória através da qual as reações de refino ocorrem. Em geral, obtém-se no final da elaboração, o aço líquido cuja composição química é relativamente padronizada, com alta percentagem de Fe (> 99%) e poucas impurezas. As adições específicas como cromo, níquel, FeMn, etc, são feitas posteriormente dependendo do tipo de aço que se queira produzir.

O desenvolvimento do modelo foi baseado na planta da Usina de João Monlevade, Minas Gerais, da Companhia Siderúrgica Belgo-Mineira (CSBM), cujo fluxograma de produção é visualizado na figura 2. Os combustíveis utilizados na sinterização e no alto-forno são carvão vegetal e óleo. O processo de elaboração de aço é do tipo sopragem a oxigênio, chamado LD (Linz-Donowitz) no qual o calor é gerado principalmente através da combustão entre carbono do gusa e oxigênio soprado pela lança que se movimenta verticalmente em relação à boca do convertedor.

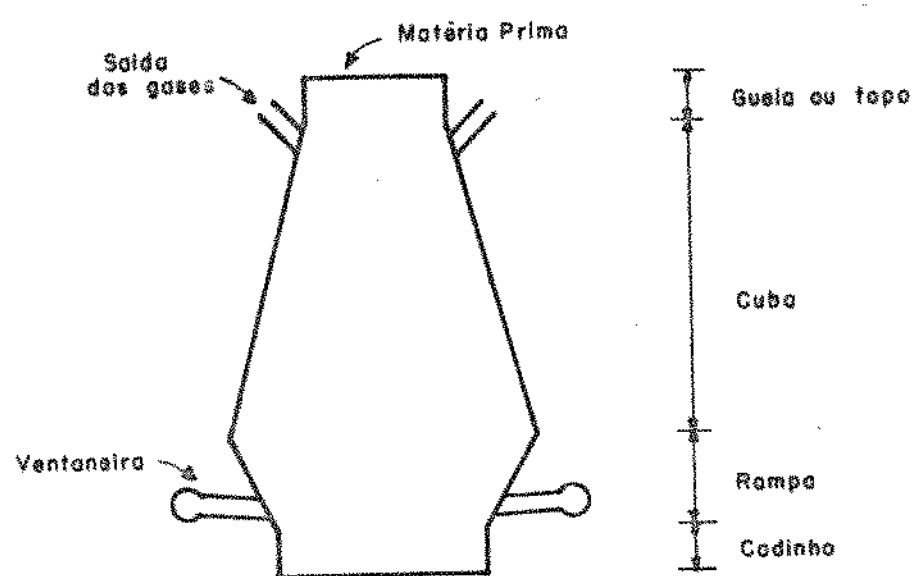


Figura 1 — Estrutura do Alto Forno.

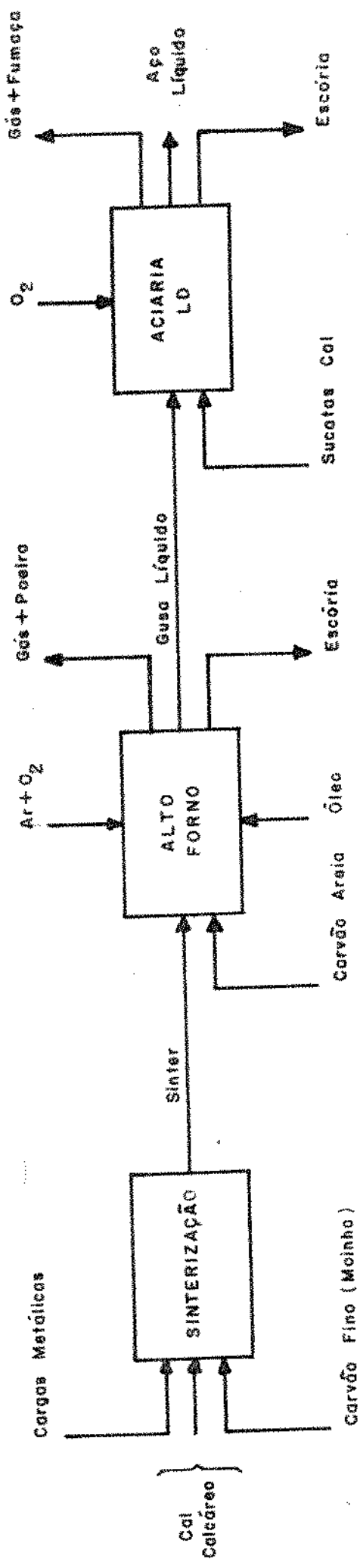


Figura 2 — FLUXOGRAMA SIMPLIFICADO DA PRODUÇÃO ; SINTERIZAÇÃO , ALTO FORNO E ACIARIA LD .

### I.3. FORMULAÇÃO DO PROBLEMA

Com advento da Programação Linear no final da década de 1940, um dos campos da sua aplicação tem sido no ramo siderúrgico. Em particular, o problema da mistura ótima de matérias primas utilizados na produção de gusa no alto-forno tem recebido atenção especial conforme os modelos desenvolvidos por Geiger Jr. (5) e IBM (6). Geiger formulou o problema procurando obter o processo ótimo de operação do alto-forno no que se refere à temperatura e máterias primas, enquanto que o modelo da IBM trata o problema de forma mais genérica com enfoque especial para planejamento de produção.

Mais recentemente, com o desenvolvimento tecnológico e no esforço de reduzir os custos industriais através da economia em escala, a verticalização, controle de todas as etapas, dos processos siderúrgicos se tornou um fato para a maioria das grandes empresas do ramo no mundo inteiro. Acompanhando a mudança desse perfil industrial, diversos metalurgistas passaram a estudar com maior profundidade a correlação entre diferentes fases de produção. Czavek (3) comprovou, através das regressões estatísticas, que o incremento dos teores de Silício, Manganês e Carbono assim como a temperatura do gusa, dentro dos limites operacionais, permite diminuir o custo da elaboração do aço. Por outro lado, também destacou que esse incremento causa a elevação do custo do gusa, sendo necessário portanto um processo de ponderação. Já Boccuni (16) estudou mais especificamente a influência do teor de Silício no gusa na produtividade do alto-forno e aciaria LD como mostra a figura 3.

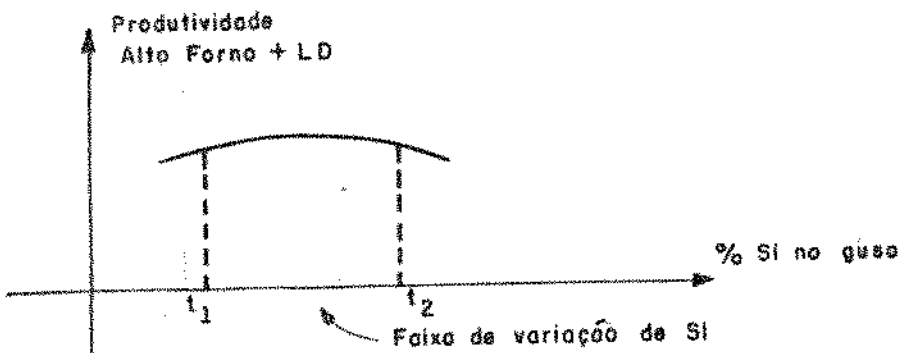


Figura 3 — Variação da produtividade conjunta do Alto Forno e da Aciaria LD em função do teor de Si no gusa

Ao mesmo tempo, as propriedades termodinâmicas das reações químicas que ocorrem nos fornos foram sendo mais esclarecidas conforme atestam as referências (7) e (14).

A proposição deste trabalho é então, a partir destes conhecimentos, desenvolver um modelo matemático para o sistema integrado de produção de semi-produtos siderúrgicos como sinter, gusa e aço, que possibilite estabelecer uma estratégia ótima de produção baseada na melhor utilização das matérias primas, delegando aos setores de produção o gerenciamento da operação, dada a aleatoriedade dos fatores que influenciam tal estratégia.

O modelo foi desenvolvido para aplicação da técnica de Programação Linear que permite a manipulação de grande quantidade de variáveis oferecendo rapidamente as soluções ótimas e a sua utilidade cresce com a complexidade do processo industrial. Como resultado deste modelo podem ser obtidos:

- Composições ótimas do gusa e sinter;
- Enfornamento com menor custo de matérias primas;
- Planejamento de produção do sinter e do gusa para uma dada demanda de aço;

O balanço material e térmico de cada processo forma o conjunto das restrições no modelo junto com as limitações de produção e suprimento das matérias primas. Alguns parâmetros indicadores de "performance" operacional dos equipamentos, como a relação  $\text{CO} / \text{CO}_2$  do gás do alto-forno e da aciaria LD, serão fixados a fim de equacionar de maneira mais real os processos metalúrgicos. Pela mesma razão as temperaturas envolvidas em cada fase da produção também devem ser estabelecidas a priori.

O modelo foi dividido em várias partes, para facilitar a sua compreensão, acompanhando o processo de produção.

No Capítulo II foram descritas as equações do balanço material da Sinterização como ele é feito atualmente, cujas variáveis de decisão são as quantidades de matérias primas e a composição do

síntese. As restrições dos balanços materiais e térmicos do alto-forno e da aciaria LD foram equacionadas nos capítulos III e IV respectivamente. A formulação é feita de maneira genérica nestes capítulos e finalmente no capítulo V um exemplo prático com dados reais é apresentado, cujos resultados serão objetos de discussão no capítulo VI.

CAPÍTULO II - MODELO DA SINTERIZAÇÃO

II.1. DESCRIÇÃO DA SINTERIZAÇÃO

II.2. BALANÇO MATERIAL

## II.1. DESCRIÇÃO DA SINTERIZAÇÃO

A Sinterização tem por objetivo reconstituir, a partir de materiais finos, pedaços grandes de minério, adequados ao carregamento e operação do alto-forno. O minério fino é misturado com quantidades precisamente dosadas do combustível sólido (no caso carvão vegetal fino chamado moinha), calcáreo e água para obter uma certa aglomeração. A mistura é depositada sobre uma grelha e a sua superfície levada à incandescência, enquanto se faz a succão do ar, por baixo da grelha. A combustão se realiza progressivamente até estingir a camada inferior da mistura junto a grelha. No final, resulta um material poroso que depois é quebrado no tamanho adequado e resfriado para ser enfornado no alto-forno.

Existem dois tipos de processos de sinterização: Contínuo e Des-contínuo. O processo utilizado da Usina de Monlevade é contínuo do tipo Dwight-Lloyd, cujo fluxo é mostrado de forma simplificada na figura 4.

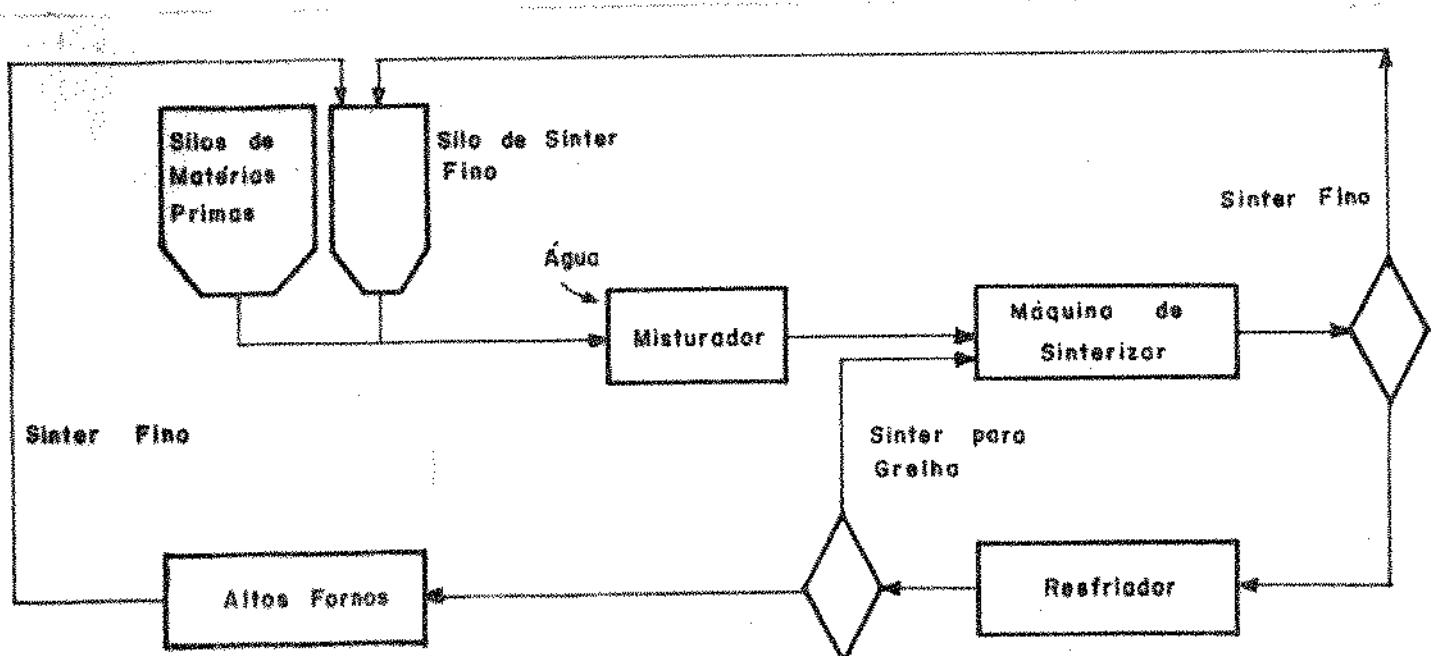


Figura 4 - Fluxograma da Sinterização Dwight-Lloyd

Neste processo a velocidade da máquina de sinterizar é automaticamente controlada, de acordo com o estado térmico da mistura em combustão, e consequentemente a dosagem dos materiais em proporções pré-fixadas.

Com a finalidade de proteger os equipamentos contra poeiras e obter melhor rendimento no alto-forno, o fino do sinter (sinter degradado) é recirculado, adicionando-se posteriormente numa dosagem fixa na mistura de materiais através de um silo regulador.

Como o processo de sinterização é, em síntese, uma aglomeração de materiais, não há praticamente a perda durante o processo, exceção perda ao fogo. Isto é, toda carga da mistura se transforma no final em sinter após a combustão. O balanço material da sinterização se baseia neste fato.

## II.2. BALANÇO MATERIAL

As referências (1) e (2) servirão de base para este modelo de Sinterização.

### DESCRIÇÃO DAS VARIÁVEIS

CARGANT	- Quantidade de carga metálica seca	t
FINAF	- Quantidade de fino do alto forno (sínter degradado)	t
MNFEST	- Quantidade de minério de ferro	t
MNST	- Quantidade de minério de manganês	t
CARVADST	- Quantidade de carvão fino (moinha)	t
SINTER	- Quantidade de sínter	t
CALST	- Quantidade de cal	t
CALCARST	- Quantidade de calcáreo	t
SISINT	- Quantidade de $\text{SiO}_2$ no sínter	t
CAOST	- Quantidade de CaO no sínter	t
MNSINT	- Quantidade de MnO no sínter	t
FERROST	- Quantidade de ferro total no sínter	t
FE03ST	- Quantidade de $\text{Fe}_2\text{O}_3$ no sínter	t
FEDST	- Quantidade de FeO no sínter	t
FOSST	- Quantidade de $\text{P}_2\text{O}_5$ no sínter	t
ALUMST	- Quantidade de $\text{Al}_2\text{O}_3$ no sínter	t

#### II.2.1. CARGAS

As cargas metálicas são dosadas em peso úmido sabendo que a umidade não fará parte do sínter.

Seja  $U_i$  o teor de umidade na carga  $i$ , então a carga metálica total em peso seco será:

$$\text{CARGAMT} = (1 - U_1) \text{FINAF} + (1 - U_2) \text{MNFEST} + (1 - U_3) \text{MNST} \quad (2.1)$$

A quantidade do carvão pode ser considerada proporcional ao peso úmido total da carga metálica. Portanto uma pequena variação na composição do carvão deve afetar a composição do sinter no final do processo.

Seja  $k_1$  essa proporção, então a quantidade de carvão a ser colocada será:

$$\text{CARVAOST} = k_1 (\text{FINAF} + \text{MNFEST} + \text{MNST}) \quad (2.2)$$

Dependendo da atuação do silo regulador, às vezes é necessário dosar o sinter degradado (FINAF) numa proporção fixa na carga metálica. Seja  $k_2$  tal proporção, tem-se

$$\begin{aligned} (1 - U_1) \text{FINAF} &= k_2 \text{CARGAMT} \\ (1 - U_1) \text{FINAF} - k_2 \text{CARGAMT} &= 0 \end{aligned} \quad (2.3)$$

Desprezando as pardas ao fogo das matérias primas exceto o carvão e calcáreo, o sinter será composto por:

$$\begin{aligned} \text{SINTER} &= \text{CARGAMT} + r_1 \cdot \text{CARVAOST} + (1 - U_5) \text{CALST} + \\ &\quad + r_2 (1 - U_6) \text{CALCARST} \end{aligned} \quad (2.4)$$

-  $r_1$  = teor de cinza do carvão

-  $r_2$  = rendimento de calcáreo

### II.2.2. COMPOSIÇÃO DO SINTER

Seja  $X_i$  a quantidade da matéria prima  $i$  que irá fazer parte do sinter, isto é, peso seco das cargas e cinza do carvão.

$$a - \text{SISINT} = \sum (SiO_2)_i X_i \quad (2.5)$$

$(SiO_2)_i$  = teor de  $SiO_2$  na matéria prima  $i$

$$L_i(\text{SiO}_2) \leq \frac{\text{SISINT}}{\text{SINTER}} \leq L_s(\text{SiO}_2) \quad (2.6)$$

$L_i(\text{SiO}_2)$ ,  $L_s(\text{SiO}_2)$  = limite inferior e superior do teor de  $\text{SiO}_2$  no sinter

$$b - \text{CAOST} = \sum (\text{CaO})_i x_i \quad (2.7)$$

$$L_i(\text{CaO}) \leq \frac{\text{CAOST}}{\text{SINTER}} \leq L_s(\text{CaO}) \quad (2.8)$$

Para uma dada produtividade é possível determinar a relação de dosagem de cal e calcáreo conhecendo a capacidade de vazão dos respectivos silos. Sejam  $k_3$  e  $k_4$  proporções de CaO de cal e de calcáreo a serem dosadas, respectivamente, para atender a um certo teor de CaO no sinter:

$$(1 - U_5) b_5 \text{ CALST} = \frac{k_3}{k_4} (1 - U_6) b_6 \text{ CALCARST}$$

$$(1 - U_5) b_5 \text{ CALST} - \frac{k_3}{k_4} (1 - U_6) b_6 \text{ CALCARST} = 0 \quad (2.9)$$

-  $b_5$ ,  $b_6$  = teor de CaO na cal e calcáreo

Analogamente outros componentes do sinter podem ser restringidos:

$$c - \text{MNSINT} = \sum (\text{MnO})_i x_i \quad (2.10)$$

$$L_i(\text{MnO}) \leq \frac{\text{MNSINT}}{\text{SINTER}} \leq L_s(\text{MnO}) \quad (2.11)$$

$$d - \text{FOSST} = \sum (\text{P}_2\text{O}_5)_i x_i \quad (2.12)$$

$$L_i(\text{P}_2\text{O}_5) \leq \frac{\text{FOSST}}{\text{SINTER}} \leq L_s(\text{P}_2\text{O}_5) \quad (2.13)$$

$$e - ALUMST = \sum (Al_2O_3)_i x_i \quad (2.14)$$

$$L_i(Al_2O_3) \leq \frac{ALUMST}{SINTER} \leq L_s(Al_2O_3) \quad (2.15)$$

$$f - FERROST = \sum (Fe)_i x_i \quad (2.16)$$

$$L_i(Fe) \leq \frac{FERROST}{SINTER} \quad (2.17)$$

A distribuição de Fe nas formas FeO e  $Fe_2O_3$  deve ser determinada estatisticamente, uma vez que esses teores não são controláveis pelo balanço material:

$$FEOST = \frac{M_{FeO}}{M_{Fe}} \cdot m_1 \cdot FERROST \quad (2.18)$$

$$FE03ST = \frac{M_{Fe_2O_3}}{M_{2Fe}} \cdot (1 - m_1) FERROST \quad (2.19)$$

-  $m_1$  = teor de Fe do sinter na forma de FeO, determinado estatisticamente.

### III.2.3. PRODUÇÃO

Como foi mencionado antes, o controle automático da velocidade da máquina de sinterizar no processo contínuo permite a manutenção da produtividade constante nas condições normais, salvo falhas eletromecânicas. Sejam  $P_s$  a produção horária ( $t / h$ ) da sinterização e  $\Delta T$  o horizonte do tempo de planejamento de produção dado em horas, então:

$$SINTER \leq P_s \cdot \Delta T$$

CAPÍTULO III - MODELO DO ALTO-FORNO

\* III.1. DESCRIÇÃO DO ALTO-FORNO

\* III.2. BALANÇO MATERIAL

III.3. BALANÇO TÉRMICO

### III.1. DESCRIÇÃO DO ALTO-FORNO

Conforme a rápida descrição feita no capítulo I, a produção de ferro-gusa num alto-forno é um processo termo-químico no qual as matérias primas carregadas pelo topo se transformam nos seguintes produtos: gusa líquido, escória, gás do alto-forno e poeira. Tradicionalmente costuma-se caracterizar o alto-forno através da sondagem vertical da temperatura (figura 5.a) e da evolução de CO e CO<sub>2</sub> no interior do forno, como mostra a figura 5.b., cuja influência no processo de redução é muito importante.

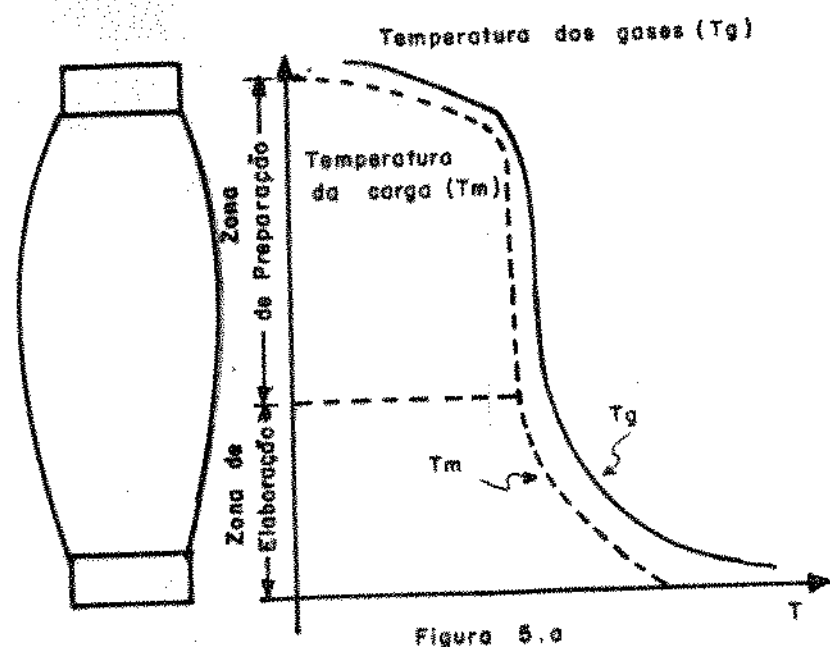


Figura 5.a

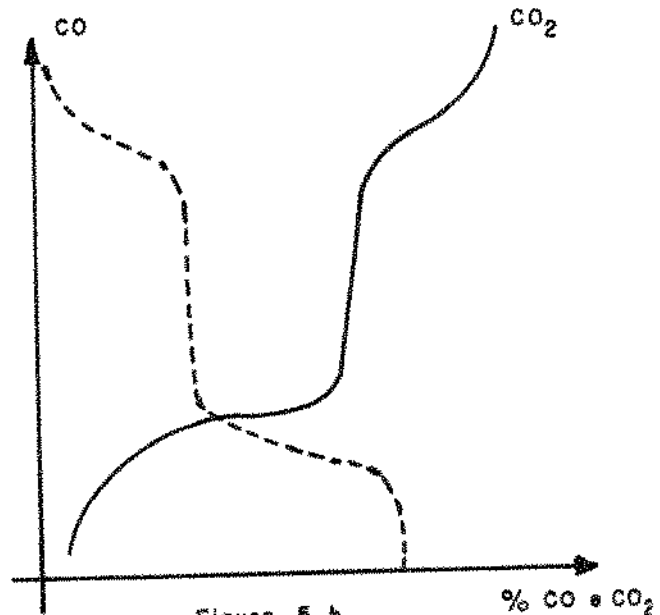


Figura 5.b

Figura 5 : Esquema do Alto Forno segundo modelo de Kitaev (a) perfil de temperatura dos gases e Sólidos (b) composição dos gases (as escalas de % de CO e % de CO<sub>2</sub> são diferentes)

As matérias primas, ao serem carregadas no alto-forno, entram em contato com uma corrente ascendente de gases quentes sofrendo a primeira modificação que é secagem completa. Continuando o movimento descendente, iniciam-se as primeiras reduções indiretas dos óxidos de ferro da carga, pela ação de CO em contra corrente. Com aumento da temperatura, ainda na zona de preparação, os carbonatos,  $\text{CaCO}_3$  e  $\text{MgCO}_3$ , são calcinados, principalmente  $\text{MgCO}_3$ , obtendo-se  $\text{CaO}$  e  $\text{MgO}$  com liberação de  $\text{CO}_2$ . Também nesta zona ocorre a grande parte da preparação dos voláteis do carvão ( $\text{CO}$ ,  $\text{CO}_2$  e  $\text{H}_2$ ). Nota-se na figura 5.a. que na região inferior da zona de preparação ocorre um equilíbrio térmico, isto é, o calor contido nos gases ascendentes mais reações exotérmicas está em equilíbrio com o aquecimento das cargas mais reações endotérmicas. As reações de elevado consumo de energia como reduções diretas de  $\text{SiO}_2$ ,  $\text{MnO}$  e  $\text{P}_2\text{O}_5$ , carburação da gusa e regeneração de CO pela reação  $\text{CO}_2 + \text{C} \longrightarrow 2 \text{CO}$ , tomam lugar na zona de elaboração devido às condições térmicas favorecidas pela combustão do C dos combustíveis, com  $\text{O}_2$  injetado através das ventanias. A calcinação dos carbonatos e volatização são completadas nesta zona. Finalmente, na região inferior da zona de elaboração, chamado cadiño, obtém-se gusa líquido constituído de elementos já totalmente reduzidos com predominância absoluta de Fe. As impurezas como  $\text{CaO}$ ,  $\text{MgO}$ ,  $\text{MnO}$ ,  $\text{SiO}_2$  etc, formam a escória, que, devido à menor densidade em relação ao gusa, ocupa a camada superior servindo-se como trocador térmico.

Num alto-forno, quando bem operado, a grande parte dos óxidos de ferro já se encontra totalmente reduzida ao entrar na zona de elaboração, pela ação redutora de CO durante a descida da carga, produzindo como resultado  $\text{CO}_2$ . Portanto a relação  $\text{CO} / \text{CO}_2$  do gás do alto-forno reflete a "performance" da operação cujo valor é um parâmetro do modelo.

### III.2. BALANÇO MATERIAL

Num regime estacionário, toda matéria que entra no alto-forno através das cargas, óleo e vento, deve sair pelo gás, poeira, gusa e escória, conforme figura 6.

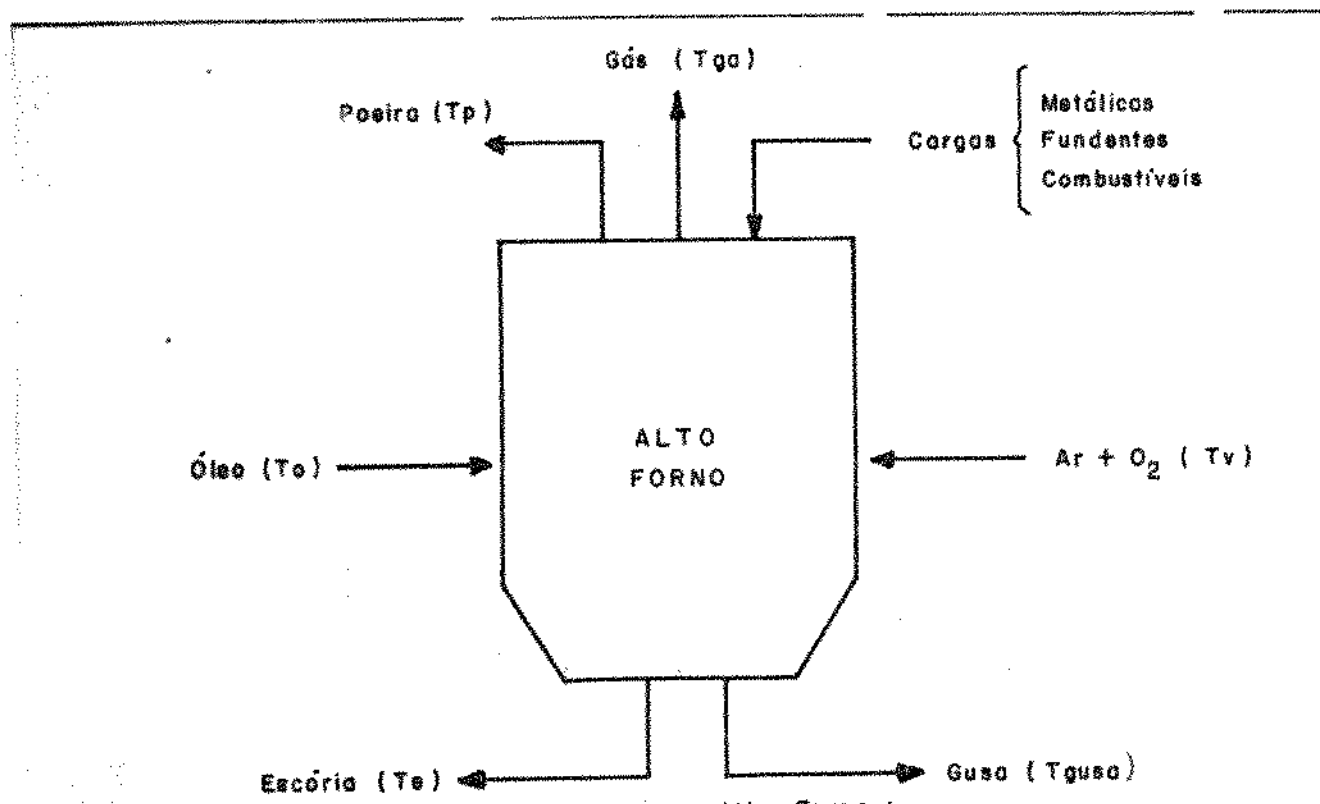


Figura 6: Esquema de fluxo de materiais no Alto Forno;

## DESCRIÇÃO DAS VARIÁVEIS

ALUMIN	- Quantidade de $Al_2O_3$ na escória	t
AREIA	- Quantidade de areia (quartzito) enfornada	t
CACO3	- Quantidade de $CaCO_3$ enfornada	t
CALCAR	- Quantidade de calcáreo enfornado	t
CAOAF	- Quantidade de CaO enfornado	t
CARBOAF	- Quantidade de C que entra no alto-forno	t
CARFIN	- Quantidade de carvão fino enfornado	t
CARGAS	- Quantidade de C no gás	t
CARGRO	- Quantidade de carvão grosso enfornado	t
CARGUSA	- Quantidade de C no gusa	t
CARVAO	- Quantidade de carvão enfornado	t
CARVOL	- Quantidade de C nos voláteis	t
COVOL	- Quantidade de CO na carga	t
COVOL2	- Quantidade de $CO_2$ na carga	t
ESCORAF	- Quantidade de escória	t
FEO	- Quantidade de FeO enfornado	t
FE03	- Quantidade de $Fe_2O_3$ enfornado	t
FERED	- Quantidade de Fe no gusa	t
FEDES	- Quantidade de FeO na escória	t
FOSRED	- Quantidade de P no gusa	t
GUSA	- Quantidade de gusa produzida	t
HIDVOL	- Quantidade de $H_2$ dos voláteis da carga	t
HIDROG	- Quantidade de $H_2$ que entra no alto-forno	t
HIRED	- Quantidade de $H_2$ reduzido	t
MGC03	- Quantidade de $MgCO_3$ enfornada	t
MGOAF	- Quantidade de MgO na escória	t
MNO	- Quantidade de MnO enfornado	t

MNRED	- Quantidade de Mn reduzida	t
OLEO	- Quantidade da óleo injetado	t
OXIGEN	- Quantidade de $O_2$ associado ao C do gás	t
PCO	- Quantidade de CO no gás	t
PCO2	- Quantidade de $CO_2$ no gás	t
PH2	- Quantidade de $H_2$ no gás	t
P05	- Quantidade de $P_2O_5$ enfornado	t
PDEIRA	- Quantidade de poeira na goela	t
SIESCOR	- Quantidade de $SiO_2$ na escória	t
SILIES	- Quantidade de $SiO_2$ enfornado	t
SINTER	- Quantidade de sinter enfornado	t
SIRED	- Quantidade de Si no gusa	t
UMIAR	- Quantidade de $H_2O$ no ar	t
UMIDADE	- Quantidade de $H_2O$ na carga	t
V02	- Volume de $O_2$ enriquecido	$m^3$
VTAR	- Volume total de ar soprado	$m^3$
VT02	- Volume total de $O_2$ injetado	$m^3$
VTN2	- Volume total de $N_2$ injetado	$m^3$

### III.2.1. ENTRADA DE MATERIAIS

Seja  $Y_i$ ,  $i = 1, 2, \dots, n$  a quantidade de matéria prima  $i$ , em peso, a ser enfornada e  $\alpha_i$  a perda pela poeira, então:

$$\beta_i = 1 - \alpha_i$$

Onde  $\beta_i$  é a proporção da carga  $i$  efetivamente enfornada.

### a. FERRO

Fe está presente nas matérias primas na forma de óxidos:



$$\text{FEO} = \sum (\text{FeO})_i \beta_i \gamma_i \quad (3.1)$$

$$\text{FE}_2\text{O}_3 = \sum (\text{Fe}_2\text{O}_3)_i \beta_i \gamma_i \quad (3.2)$$

- Conforme a notação adotada os símbolos químicos  $(\text{FeO})_i$  e  $(\text{Fe}_2\text{O}_3)_i$  são teores de FeO e  $\text{Fe}_2\text{O}_3$  na carga i.

### b. FÓSFORO

Da mesma forma:

$$\text{PO}_5 = \sum (\text{P}_2\text{O}_5)_i \beta_i \gamma_i \quad (3.3)$$

### c. MNO

$$\text{MNO} = \sum (\text{MnO})_i \beta_i \gamma_i \quad (3.4)$$

### d. CaO

CaO pode entrar no alto-forno na sua forma já calcinada como no caso de sinter ou através de carbonatos ( $\text{CaCO}_3$ ):

$$\text{CACO}_3 = \sum (\text{CaCO}_3)_i \beta_i \gamma_i \quad (3.5)$$

$$\text{CAOAF} = \frac{M_{\text{CaO}}}{M_{\text{CaCO}_3}} \cdot \text{CACO}_3 + \sum (\text{CaO})_i \beta_i \gamma_i \quad (3.6)$$

e. MgO

$$MGC03 = \sum (MgCO_3)_i \beta_i \gamma_i \quad (3.7)$$

$$MGOAF = \frac{M_{MgO}}{M_{MgCO_3}} \cdot MGC03 + \sum (MgO)_i \beta_i \gamma_i \quad (3.8)$$

f. Al<sub>2</sub>O<sub>3</sub>

$$ALUMIN = \sum (Al_2O_3)_i \beta_i \gamma_i \quad (3.9)$$

g. SiO<sub>2</sub>

$$SILIES = \sum (SiO_2)_i \beta_i \gamma_i \quad (3.10)$$

h. UMIDADE DA CARCA

$$UMIDADE = \sum (H_2O)_i \beta_i \gamma_i \quad (3.11)$$

i. CARBONO: C

C pode entrar no alto-forno através de combustíveis e carbonatos:

$$COVOL = \sum (CO)_i \beta_i \gamma_i \quad (3.12)$$

$$COVOL2 = \sum (CO_2)_i \beta_i \gamma_i \quad (3.13)$$

$$\begin{aligned} CARVOL &= \frac{M_C}{M_{CO}} COVOL + \frac{M_C}{M_{CO_2}} COVOL2 + \frac{M_C}{M_{CaCO_3}} CAC03 + \\ &+ \frac{M_C}{M_{MgCO_3}} MGC03 \end{aligned} \quad (3.14)$$

- Portanto CARVOL é a quantidade de C que entra através das cargas na forma de voláteis, CO e CO<sub>2</sub>, e que irá fazer parte do gás.

$$\text{CARBOAF} = \sum (c)_i \beta_i Y_i + k \text{ DLED} \quad (3.15)$$

- k : teor de C no óleo

### 3. ENTRADA DE AR ENRIQUECIDO COM O<sub>2</sub>

É prática comum injetar O<sub>2</sub> puro junto com ar pelas vaneiras no alto-forno, a fim de facilitar a combustão:

$$VT02 = a_1 VTAR + V02 \quad (3.16)$$

- a<sub>1</sub>: teor de O<sub>2</sub> no ar

$$VTN2 = (1 - a_1) VTAR \quad (3.17)$$

A técnica de umedecimento do ar também pode ser utilizada para o controle da temperatura da chama:

$$UMIAR = a_2 VTAR \quad (3.18)$$

- a<sub>2</sub> : teor de H<sub>2</sub>O no ar

O enriquecimento do ar pelo O<sub>2</sub> é limitado devido à excessiva temperatura da chama que pode danificar as vaneiras:

$$\% \text{ de O}_2 \text{ do ar enriquecido} - \% \text{ de O}_2 \text{ do ar} = \% \text{ de enriquecimento do O}_2 \leq 1\%$$

Ou seja:

$$\frac{a_1 VTAR + V02}{VTAR + VD2} - a_1 \leq 0,01$$

$$\frac{(1 - a_1) V02}{V02 + VTAR} \leq 0,01 \quad (3.19)$$

Seja  $C_v$ , capacidade máxima de vazão das ventanas das ventanas da da em  $\text{Nm}^3 / \text{h}$ . Então para um período de produção  $\Delta T$  com taxa de utilização  $\mu_2$  do alto-forno:

$$VTAR \leq C_v \cdot \Delta T \cdot \mu_2 \quad (3.20)$$

#### k. ENTRADA DO $\text{H}_2$

$\text{H}_2$  pode estar presente nos voláteis da carga, no óleo e na umidade do ar:

$$\text{HIDVOL} = \sum (\text{H}_2)_i \beta_i Y_i \quad (3.21)$$

$$\text{HIDROG} = h_o \text{ OLEO} + \frac{M_{\text{H}_2}}{M_{\text{H}_2\text{O}}} \text{ UMIAR} + \text{HIDVOL} \quad (3.22)$$

### III.2.2. SAÍDA DE MATERIAIS

#### a. GUSA LÍQUIDO

O gusa líquido do alto-forno é constituído dos elementos já completamente reduzidos: Fe, P, Mn, Si e C.

$$\text{GUSA} = \text{FERED} + \text{FOSRED} + \text{MNRED} + \text{SIRED} + \text{CARGUSA} \quad (3.23)$$

Nas condições térmicas do alto-forno praticamente todos os óxidos de fósforo ( $\text{P}_2\text{O}_5$ ) são reduzidos a P, incorporando-se no gusa líquido:

$$\text{FOSRED} = \frac{M_p}{M_{\text{P}_2\text{O}_5}} \cdot \text{PO5} \quad (3.24)$$

O teor de Mn no gusa líquido é uma parte m. do  $\text{MnO}$  efetivamente enfornado cujo valor varia entre 50% a 75% de acordo com cada alto-forno, sendo portanto um parâmetro

do processo que deve ser determinado com dados estatísticos.

$$MNRED = \frac{M_{Mn}}{M_{MnO}} \cdot m \cdot MNO \quad (3.25)$$

A redução de  $SiO_2$  é fortemente endotérmica, portanto ela só ocorre em pequena escala nas circunstâncias especiais com alto consumo de C, consequentemente do carvão. Como a capacidade do sistema de carregamento é limitada tal aumento de consumo de carvão ocorre à custa de menor carregamento de carga metálica, que efetivamente se transforma em ferro-gusa. Por outro lado o Si no gusa propicia a condição térmica da aciaria, como será visto no capítulo IV, sendo portanto uma variável a ser otimizada.

A quase totalidade dos óxidos de ferro é reduzida formando-se ferro-gusa e uma pequena parte é desviada para escória na forma de  $FeO$ :

$$FERED = \frac{M_{Fe}}{M_{FeO}} \cdot FEO + \frac{M_{Fe_2}}{M_{Fe_2O_3}} \cdot FE_2O_3 - FEOES \cdot \frac{M_{Fe}}{M_{FeO}} \quad (3.26)$$

A incorporação de C no gusa é um processo ainda pouco conhecido, no entanto, sabe-se que ela tende a atingir o carbono de saturação cuja relação é conhecida segundo a ref.(7). Portanto, com razoável precisão, o CARGUSA pode ser considerado como carbono de saturação para uma dada temperatura de gusa líquido:

$$\begin{aligned} CARGUSA &= (1,3 \cdot 10^{-2} + 2,57 \cdot 10^{-5} \cdot T_{gusa}) \cdot QUSA + \\ &+ 0,03 MNRED - 0,3 SIRED - 0,35 FOSRED \quad (3.27) \end{aligned}$$

onde  $T_{gusa}$  = temperatura de gusa líquido em °C.

O enxofre (S) cuja presença na gusa líquido é de grande importância nos altos-fornos que utilizam carvão mineral, pode ser negligenciado quando se trata de carvão vegetal, pois o seu teor no gusa neste caso é insignificante.

A presença das impurezas, P, Mn e Si deve ser restringida dentro das respectivas faixas operacionais:

$$\text{Mínimo} \leq \frac{\text{FOSRED}}{\text{GUSA}} \leq \text{Máximo} \quad (3.28)$$

$$\text{Mínimo} \leq \frac{\text{MNRED}}{\text{GUSA}} \leq \text{Máximo} \quad (3.29)$$

$$\text{Mínimo} \leq \frac{\text{SIRED}}{\text{GUSA}} \leq \text{Máximo} \quad (3.30)$$

### b. ESCÓRIA

A escória resulta da fusão do material inerte (ganga) do sinter, fundentes e das cinzas do carvão, que, chegando às zonas mais quentes do forno (região das ventanaias) reagem entre si. A escória é constituída principalmente dos seguintes componentes:  $\text{Al}_2\text{O}_3$ ,  $\text{SiO}_2$ ,  $\text{CaO}$ ,  $\text{MgO}$ ,  $\text{MnO}$  e  $\text{FeO}$ .

$$\begin{aligned} \text{ESCORAF} = & \text{ CAAOF} + \text{ SIESCOR} + \text{ MGOAF} + \text{ ALUMIN} + \text{ FEDES} + \\ & + \text{ MNO} - \frac{M_{\text{MnO}}}{M_{\text{Mn}}} \text{ MNRED} \end{aligned} \quad (3.31)$$

Como foi dito antes uma parte de  $\text{SiO}_2$  enfornado se reduz incorporando-se no gusa líquido:

$$SIESCOR = SILIES - \frac{M_{SiO_2}}{M_{Si}} SIREO \quad (3.32)$$

A presença de FeO na escória é pequena e pode ser considerada numa proporção fixa, para uma dada temperatura de gusa e escória:

$$pESCORAF = FEDES = 0 \quad (3.33)$$

$p$  = teor de FeO na escória

Uma das propriedades mais importantes da escória é a sua fluidez. Uma escória espessa, muito viscosa, dificulta a operação do alto-forno, agarrando-se ao revestimento interno. Esta fluidez é representada pela basicidade cuja relação  $\frac{CaO}{SiO_2}$  é restringida dentro de uma faixa operacional:

$$\text{Mínimo} < \frac{CADA}{SIESCOR} < \text{Máximo} \quad (3.34)$$

A quantidade de escória é uma outra variável com grande influência na operação do alto-forno, que deve ser limitada em relação a gusa:

$$\text{Mínimo} < \frac{ESCORIA}{GUSA} < \text{Máximo} \quad (3.35)$$

### c. POEIRA

Uma pequena parte das matérias primas en fornadas é arrastada pelos gases ascendentes que abandonam o alto-forno. Naturalmente a proporção de uma determinada carga na poeira depende da sua densidade:

$$POEIRA = \sum \alpha_i Y_i \quad (3.36)$$

#### d. GÁS DO ALTO-FORNO

O gás ao deixar o alto-forno é constituído basicamente de CO, CO<sub>2</sub>, N<sub>2</sub>, H<sub>2</sub> e H<sub>2</sub>O. Segundo Penna (12) podem existir 2 situações no balanço de H<sub>2</sub>:  $\Delta(H_2) > 0$  ou  $\Delta(H_2) < 0$ , onde  $\Delta(H_2) = H_2 \text{ no gás (PH}_2) - H_2 \text{ que entrou no alto-forno (HIDROG)}$ :

$\Delta(H_2) > 0 \longrightarrow$  houve uma redução da água:



$\Delta(H_2) < 0 \longrightarrow$  houve formação da água:



Seja  $|\Delta(H_2)| = HIRED$ , então H<sub>2</sub> no gás (PH<sub>2</sub>) será:

$$PH_2 = HIDROG \pm HIRED \quad \text{e} \quad (3.37)$$

$$\frac{HIRED}{HIDROG} = r_n \longrightarrow HIRED - r_n HIDROG = 0 \quad (3.38)$$

onde  $r_n$  é um parâmetro da operação do alto-forno significando o rendimento da redução.

#### Balanço de C - 0 no gás do alto-forno

Todo O<sub>2</sub> que entra no alto-forno sairá através do gás exceto a parcela que vai para escória. Como será visto mais adiante no Balanço Térmico, o O<sub>2</sub> do gás associado ao C é oriundo das seguintes fontes:

OXIGEN = O<sub>2</sub> do ar enriquecido + O<sub>2</sub> liberado pelos óxidos ferrosos nas reduções indiretas + O<sub>2</sub> liberado pelos óxidos não ferrosos nas reduções diretas + O<sub>2</sub> dos CO e CO<sub>2</sub> das cargas + O<sub>2</sub> liberado pe

la umidade do ar durante a redução direta -  $O_2$  para formação de FeO da escória + resultado do balanço de  $H_2$ :

$$\begin{aligned}
 \text{OXIGEN} = & \frac{\frac{M_{O_2}}{22,4 \cdot 10^3} VT02}{2} + \frac{3}{2} \frac{\frac{M_{O_2}}{M_{Fe_2O_3}}}{2} FE03 + \frac{1}{2} \frac{\frac{M_{O_2}}{M_{FeO}}}{2} \\
 & FE0 + \frac{\frac{M_{O_2}}{M_{Si}}}{2} SIRED + \frac{1}{2} \frac{\frac{M_{O_2}}{M_{Mn}}}{2} MNRED + \\
 & + \frac{5}{2} \frac{\frac{M_{O_2}}{M_{P_2}}}{2} FOSRED + \frac{\frac{M_{O_2}}{M_{CaCO_3}}}{2} CACO3 + \\
 & + \frac{\frac{M_{O_2}}{M_{MgCO_3}}}{2} MGCO3 + \frac{1}{2} \frac{\frac{M_{O_2}}{M_{CO}}}{2} COVOL + \\
 & + \frac{\frac{M_{O_2}}{M_{CO_2}}}{2} COVOL2 + \frac{1}{2} \frac{\frac{M_{O_2}}{M_{H_2O}}}{2} UMIAR - \\
 & - \frac{1}{2} \frac{\frac{M_{O_2}}{M_{FeO}}}{2} FE0ES + \frac{1}{2} \frac{\frac{M_{O_2}}{M_{H_2}}}{2} (\text{PH2} - \text{HIDROG})
 \end{aligned}$$

(3.39)

OBS.: Nas condições normais 1 k mol de gás ocupa  $22,4 \text{ Nm}^3$  de volume.

O carbono presente no gás é a diferença entre o que entrou no alto-forno e o carbono no gusa:

$$\text{CARGAS} = \text{CARBOAF} + \text{CARVOL} - \text{CARGUSA} \quad (3.40)$$

Como foi mencionado no início do capítulo, a relação entre os volumes da CO e CO<sub>2</sub> no gás reflete a "performance" operacional do forno, sendo portanto um parâmetro que deve ser obtido a partir dos dados históricos ou experimentalmente. Seja:

$$\frac{\text{Volume de CO}}{\text{Volume de CO}_2} = \chi_{AF}$$

Sabe-se que nas condições normais de temperatura e pressão 1 kmol de um gás ocupa 22,4 Nm<sup>3</sup> de volume; portanto a expressão acima pode ser transformada em:

$$\frac{P_{CO}}{P_{CO_2}} = \frac{n_{CO}}{n_{CO_2}} \cdot \chi_{AF} \quad \Rightarrow \quad \frac{P_{CO} \cdot n_{CO_2}}{P_{CO_2} \cdot n_{CO}} = \chi_{AF}$$

Ou alternativamente:

$$\begin{aligned} \frac{n_C}{n_{CO}} \cdot P_{CO} + \frac{n_C}{n_{CO_2}} \cdot P_{CO_2} \\ \text{CARBOS} = \frac{n_{CO}}{n_{CO}} \\ \text{OXIGEN} = \frac{n_E}{n_{CO}} \cdot P_{CO} + \frac{2 \cdot n_O}{n_{CO_2}} \cdot P_{CO_2} \\ \\ = \frac{n_C (n_{CO_2} P_{CO} + n_{CO} P_{CO_2})}{n_C (n_{CO_2} P_{CO} + 2 n_{CO} P_{CO_2})} \end{aligned}$$

Fazendo M<sub>C</sub> = 12, M<sub>O</sub> = 16

$$\frac{n_{CO_2} P_{CO} + n_{CO} P_{CO_2}}{n_{CO_2} P_{CO} + 2 n_{CO} P_{CO_2}} = \frac{\frac{n_{CO_2} P_{CO}}{n_{CO} P_{CO_2}} + 1}{\frac{n_{CO_2} P_{CO}}{n_{CO} P_{CO_2}} + 2}$$

tem-se:

$$\frac{\text{CARGAS}}{\text{OXIGEN}} = \frac{(M+1) f_C}{(\delta_M + 2) f_O} = \frac{(M+1) 12}{(\delta_M + 2) 16} \quad (3.41)$$

### III.2.3. RESTRIÇÕES DE CARREGAMENTO

Para uma produção de gusa líquido num dado período  $\Delta T$ , podem existir restrições de disponibilidade de matérias primas. Expressando de forma genérica tais restrições:

$$y_i \leq d_i$$

Ou ainda pode existir a limitação quanto à capacidade de carregamento do alto-forno:

$$\sum y_i \leq \text{Capacidade de carregamento}$$

Sejam  $C_{AF}$  - Capacidade em peso do equipamento de transporte da carga do silo ao alto-forno: balão ou "skip"

$\Delta T$  - Período de produção

$h_{AF}$  - ciclo de operação de transporte.

Então:

$$\sum y_i \leq \frac{C_{AF} \cdot \Delta T}{h_{AF}} / f_C \quad (3.42)$$

As proporções das matérias primas também podem ser relacionadas, caso existirem. Um exemplo típico é o enformamento proporcional do carvão grosso e fino, devido às diferentes características físico-químicas que influem

na operação do alto-forno:

$$\frac{\text{CARGO}}{\text{CARVÃO}} \gg q_1 \quad (3.43)$$

$$\frac{\text{CARFIN}}{\text{CARVÃO}} \gg q_2 \quad (3.44)$$

$$\text{CARGO} + \text{CARFIN} = \text{CARVÃO} \quad (3.45)$$

### III.3. BALANÇO TÉRMICO DO ALTO-FORNO

O balanço térmico baseia-se no princípio de conservação da energia, isto é, uma contabilização das quantidades de calor nas entradas e saídas cujos totais devem ser iguais, a menos das perdas. Conforme a figura 7 o esquema clássico de balanço térmico consiste em passar do estado inicial (I) ao estado final (II) através do caminho (I)  $\rightarrow$  (I')  $\rightarrow$  (II')  $\rightarrow$  (II), tomando uma temperatura de referência  $T_r$ . Os dados termodinâmicos são normalmente tabelados considerando  $T_r$  como temperatura ambiente,  $25^{\circ}\text{C}$  ou  $298^{\circ}\text{K}$  (ANEXO I).

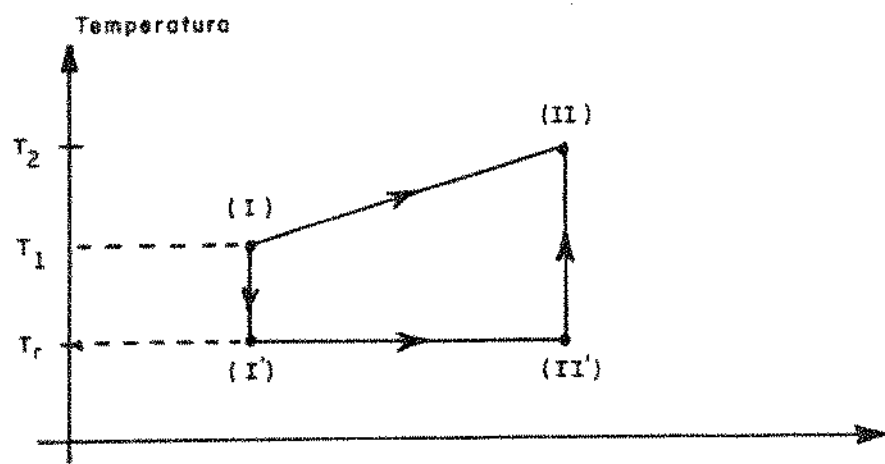


Figura 7 ; Esquema de balanço térmico

Inicialmente na fase (I)  $\rightarrow$  (I') são computadas as entalpias , calores contidos, dos elementos que entram no alto-forno. Em seguida os calores gerados e consumidos nas transformações físico-químicas são contabilizados na fase (I')  $\rightarrow$  (II') e finalmente as entalpias dos produtos nas respectivas temperaturas são determinadas na fase (II')  $\rightarrow$  (II). Portanto o balanço térmico se traduz na prática pela equação:

Entalpia do sistema no estado final (II) + variação da entalpia entre (I')  $\rightarrow$  (II') + perdas térmicas - Entalpia do sistema no estado inicial (I) = 0

#### DESCRÍÇÃO DAS VARIÁVEIS

CALVENT	- Entalpia do ar	th
CALOLEO	- Entalpia do óleo	th
COMB	- Calor gerado da reação $CO + 1/2 O_2 \rightarrow CO_2$	th
CALFE3	- Calor gerado na redução indireta de $Fe_2O_3$	th
CALFE	- Calor gerado na redução indireta de FeO	th
CALESCOR	- Calor de formação da escória	th
CALRED	- Calor de redução da água pelo CO	th
CALFORAF	- Calor fornecido	th
CALCRAQ	- Calor de craqueamento do óleo	th
CALUM	- Calor de redução da água pelo C	th
CALSI	- Calor de redução de $SiO_2$	th
CALMN	- Calor de redução de MnO	th
CALFOS	- Calor de redução de $P_2O_5$	th
CALGANG	- Calor de redução de gangas	th
CALREG	- Calor de regeneração de CO	th
CAREC	- Quantidade de C consumido na regeneração	t
CALHO	- Calor de reação de gás à água de CO	th
CALCARB	- Calor de decomposição de carbonatos	th

CALCO3	- Calor de decomposição de $\text{CaCO}_3$	th
CALMC	- Calor de decomposição de $\text{MgCO}_3$	th
CALCA	- Calor de carburação do gusa	th
CALVAP	- Calor de vaporização da umidade	th
CALGUSA	- Entalpia do gusa líquido	th
CALESCO	- Entalpia da escória	th
CALPOER	- Entalpia da posira	th
CALGAS	- Entalpia do gás	th
CALCONS	- Calor consumido	th
CALPERAF	- Calor perdido	th

O esquema de balanço térmico do alto-forno a seguir é baseado na ref.(12) por se tratar de um caso já aplicado num alto-forno a carvão vegetal na Usina de Monlevade.

ENTRADA DE CALOR	CONSUMO DE CALOR
• Entalpia do ar úmido	• "Cracking" de óleo
• Entalpia do óleo	• Redução da umidade do ar
• Combustão: $\text{C} + 1/2 \text{O}_2 \rightarrow \text{CO}$	• Calor de regeneração: $\text{C} + \text{CO}_2 \rightarrow 2\text{CO}$
• Reduções indiretas dos óxidos de ferro	• Redução direta dos óxidos não ferrosos
• Calor de formação da escória	• Decomposição de carbonatos
• $\Delta(\text{H}_2) > 0 \rightarrow$ calor de redução da água: $\text{H}_2\text{O} + \text{CO} \rightarrow \text{CO}_2 + \text{H}_2$	• Carburação do gusa • Vaporização da umidade da carga $\cdot \Delta(\text{H}_2) < 0 \rightarrow$ calor de reação do gás à água: $\text{CO}_2 + \text{H}_2 \rightarrow \text{CO} + \text{H}_2\text{O}$
	• Entalpia do gusa • Entalpia da escória • Entalpia do gás • Entalpia da posira

### III.3.1. ENTRADA DE CALOR

#### a. ENTALPIA DO AR ÚMIDO: CALVENT

$$\text{CALVENT} = (H_{T_v} - H_{298})_{O_2} \cdot 10^{-3} \cdot \frac{1}{22,4} VT02 + (H_{T_v} - H_{298})_{N_2} \cdot 10^{-3} \cdot \frac{1}{22,4} VTN2 + (H_{T_v} - H_{298})_{H_2O} \cdot \frac{1}{18} UMIAR \quad (3.46)$$

$T_v$ : temperatura do ar em  $^{\circ}\text{K}$

Conforme a notação adotada  $(H_{T_v} - H_{298})_{O_2}$  representa a entalpia de  $O_2$ , na temperatura  $T_v$ , dada em cal / mol ou Kcal / Kmol ou th /  $10^3$  Kmol, etc. Como foram adotadas, por convenção, a unidade de calor em thérmia ( $10^6$  calorias), unidade de volume de ar em  $\text{Nm}^3$  e peso em t, é necessário fazer alguns ajustes de forma conveniente. Por exemplo, na primeira parcela da equação (3.46)  $VT02$  é dada em  $\text{Nm}^3$ , portanto  $\frac{VT02}{22,4}$  representa kmol de  $O_2$  do ar nas condições normais. Multiplicando a expressão

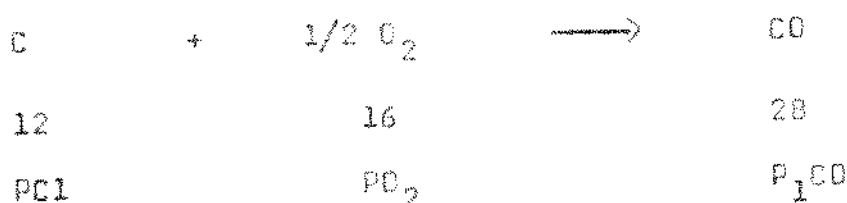
$(H_{T_v} - H_{298})_{O_2} \cdot \frac{VT02}{22,4}$  por  $10^{-3}$  obtém-se finalmente a entalpia de  $O_2$  do ar em thérmia, na temperatura  $T_v$ . O cálculo da entalpia de  $N_2$  do ar é similar do  $O_2$ . Na terceira parcela da equação, a umidade do ar (UMIAR) é dada em t, portanto dividindo UMIAR por mol de  $H_2O$  (18) obtém-se  $10^3$  kmol de  $H_2O$ , que multiplicada por  $(H_{T_v} - H_{298})_{H_2O}$  fornece a entalpia da umidade do ar em thérmia. Tais ajustes de unidades são utilizados nos demais cálculos de entalpia a seguir.

b. ENTALPIA DO ÓLEO: CALOLEO

$$\text{CALOLEO} = [(H_{T_0} - H_{298})_C - \frac{1}{2} (C)_{\text{óleo}} + (H_{T_0} - H_{298})_{H_2} + \\ + \frac{1}{2} (H_2)_{\text{óleo}}] \text{ÓLEO}$$

$T_0$  : temperatura do óleo em  $^{\circ}\text{K}$

c. COMBUSTÃO DE C  $\longrightarrow$  CO : COMB



Um mol de CO (28) é obtido a partir da reação de um mol de C (12) com meio mol de O<sub>2</sub> (16). Sabendo o peso de O<sub>2</sub> envolvido na reação pela relação:  $PO_2 = \frac{32}{22,4} VT_02$ , o consumo de C (PC<sub>1</sub>) e a geração de CO (P<sub>1</sub>CO) podem ser obtidos pelo cálculo estequiométrico:

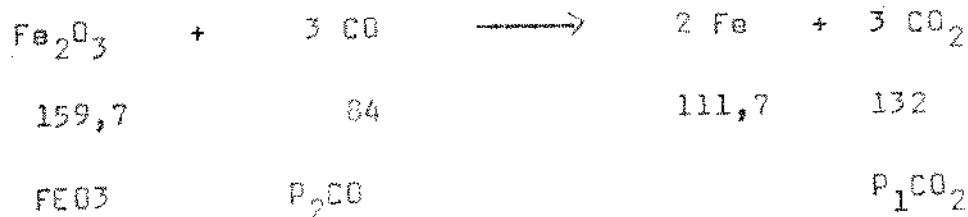
$$PC_1 = \frac{12}{16} PO_2 ; P_1CO = \frac{28}{16} PO_2$$

O calor envolvido na reação é o resultado da diferença entre o calor da reação ou de formação ( $\Delta H_{298}$ ) dos produtos e reagentes. Quando esta diferença for positiva, a reação é dita exotérmica e caso contrário, endotérmica:

$$\text{COMB} = P_1CO (\Delta H_{298})_{CO} + \frac{1}{26}$$

$$\text{COMB} = 2,35857 \cdot VT_02 \quad \text{th}$$

d. REDUÇÃO INDIRETA DE  $\text{Fe}_2\text{O}_3$  : CALFE3



$$P_2\text{CO} = \frac{84}{159,7} \text{ FE03}, \quad P_1\text{CO}_2 = \frac{132}{159,7} \text{ FE03}$$

$$\begin{aligned} \text{CALFE3} = & P_1\text{CO}_2 \cdot (\Delta H_{298})_{\text{CO}_2} \cdot \frac{1}{44} - P_2\text{CO}(\Delta H_{298})_{\text{CO}} \cdot \\ & \cdot \frac{1}{28} - (\Delta H_{298})_{\text{Fe}_2\text{O}_3} \cdot \frac{1}{159,7} \cdot \text{FE03} \end{aligned}$$

$$\text{CALFE3} = 42,00375 \text{ FE03} \quad \text{th}$$

e. REDUÇÃO INDIRETA DE FeO : CALFE



$$P_3\text{CO} = \frac{28}{71,85} (\text{FE0} - \text{FE0ES}), \quad P_2\text{CO}_2 = \frac{44}{71,85} (\text{FE0} - \text{FE0ES})$$

$$\begin{aligned} \text{CALFE} = & P_2\text{CO}_2 \cdot (\Delta H_{298})_{\text{CO}_2} \cdot 1/44 - P_3\text{CO}(\Delta H_{298})_{\text{CO}} \cdot \\ & \cdot 1/28 - (\Delta H_{298})_{\text{FeO}} \cdot 1/71,85 (\text{FE0} - \text{FE0ES}) \end{aligned}$$

$$\text{CALFE} = 57,564 (\text{FE0} - \text{FE0ES}) \quad \text{th}$$

f. CALOR DE FORMAÇÃO DA ESCÓRIA: CALESCOR

A ref. (12) menciona esse calor sendo proporcional à presença de  $\text{SiO}_2$

$$\text{CALESCOR} = 125,0 \text{ SIESCOR} \quad \text{th}$$

g. CALOR DE REDUÇÃO DA ÁGUA: CALRED, para  $\Delta(\text{H}_2) > 0$



$$P_{\text{H}_2\text{O}} \quad P_4\text{CO} \quad P_3\text{CO}_2 \quad \text{HIRED}$$

$$P_{\text{H}_2\text{O}} = \frac{18}{2} \text{ HIRED}, \quad P_4\text{CO} = \frac{20}{2} \text{ HIRED}, \quad P_3\text{CO}_2 = \frac{44}{2} \text{ HIRED}$$

$$\text{CALRED} = P_3\text{CO}_2 \cdot (\Delta H_{298})_{\text{CO}_2} \cdot 1/44 - P_4\text{CO} \cdot (\Delta H_{298})_{\text{CO}}$$

$$\cdot 1/20 - P_{\text{H}_2\text{O}} \cdot (\Delta H_{298})_{\text{H}_2\text{O}} \cdot 1/18$$

$$\text{CALRED} = 4919 \text{ HIRED} \quad \text{th}$$

Portanto o calor fornecido total será:

$$\text{CALFORAF} = \text{CALVENT} + \text{CALOLEO} + \text{COMB} + \text{CALFE3} + \text{CALFC} + \\ + \text{CALESCOR} + \text{CALRED} \quad (3.47)$$

III.3.2. SAÍDA DE CALOR

a. "CRACKING" DO ÓLEO

Segundo a ref.(12) o calor necessário para o craqueamento de óleo combustível é 350 Kcal/Kg:

$$\text{CALCRAQ} = 350,0 \text{ ÓLEO} \quad \text{th}$$

b. REDUÇÃO DE  $H_2O$  DO AR: CALUM



$$PC_2 = \frac{12}{18} UMIAR, \quad P_5CO = \frac{28}{18} UMIAR, \quad PH_1 = \frac{2}{18} UMIAR$$

$$CALUM = P_5CO (\Delta H_{298})_{CO} \cdot 1/28 - UMIAR \cdot (\Delta H_{298})_{H_2O} \cdot$$

$$\cdot 1/18$$

$$CALUM = 1743,44 \text{ UMIAR th}$$

c. REDUÇÃO DIRETA DOS ÓXIDOS NÃO FERROSOS: CALGANG

(1) Redução de  $SiO_2$ : CALSI



$$PC_3 = \frac{24}{28,09} SIRED, \quad P_6CO = \frac{56}{28,09} SIRED$$

$$CALSI = P_6CO \cdot (\Delta H_{298})_{CO} \cdot 1/28 - x(\Delta H_{298})_{SiO_2} \cdot$$

$$\cdot 1/60,09$$

$$CALSI = 5566,26 SIRED th$$

(ii) Redução de MnO: CALMN

MnO	+	C	$\longrightarrow$	Mn	+	CO
70,94		12		54,94		28
x		$P_{C_4}$		MNRED		$P_{7CO}$

$$P_{C_4} = \frac{12}{54,94} \text{ MNRED}, \quad P_{7CO} = \frac{28}{54,94} \text{ MNRED}$$

$$\text{CALMN} = P_{7CO} (\Delta H_{298})_{CO} + 1/28 - x \cdot (\Delta H_{298})_{MnO} \cdot \\ + 1/70,94$$

$$\text{CALMN} = 1194,65 \text{ MNRED} \quad \text{th}$$

(iii) Redução de  $P_2O_5$ : CALFOS

$P_2O_5$	+	5C	$\longrightarrow$	2P	+	5CO
141,95		60		61,95		140
x		$P_{C_5}$		FOSRED		$P_8CO$

$$P_{C_5} = \frac{60}{61,95} \text{ FOSRED}, \quad P_8CO = \frac{140}{61,95} \text{ FOSRED}$$

$$\text{CALFOS} = P_8CO (\Delta H_{298})_{CO} + 1/28 - x \cdot (\Delta H_{298})_{P_2O_5} \cdot \\ + 1/141,95$$

$$\text{CALFOS} = 3544,31 \text{ FOSRED} \quad \text{th}$$

$$\therefore \text{CALGANG} = \text{CALSII} + \text{CALMN} + \text{CALFOS}$$

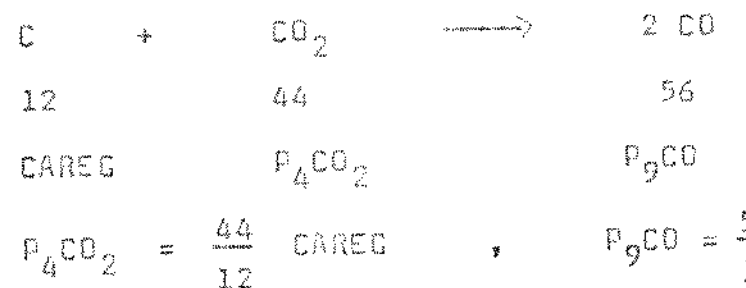
$$\text{CALGANG} = 5586,26 \text{ SIRED} + 1194,65 \text{ MNRED} + \\ + 3544,31 \text{ FOSRED} \quad (3.48)$$

d. CALOR DE REGENERAÇÃO  $\text{CO}_2 \rightarrow \text{CO}$ : CALREG

O envolvido nesta reação será o restante do C dos combustíveis após as reações diretas e carburação do gusa, isto é:

$$\text{CAREG} = \text{CARBOAF} - \text{CARGUSA} - \text{PC}_1 - \text{PC}_2 - \text{PC}_3 - \text{PC}_4 - \text{PC}_5$$

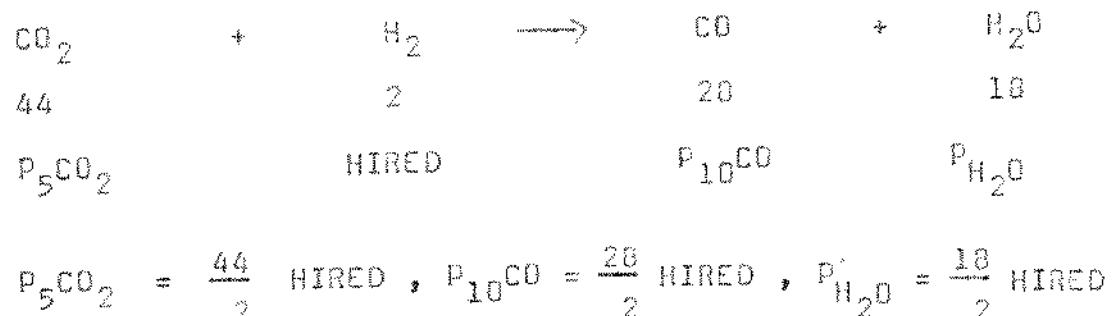
$$\begin{aligned} \text{CAREG} &= \text{CARBOAF} - \text{CARGUSA} - \frac{12}{16} \left( \frac{32}{22,4} \text{VT02} \cdot 10^{-3} \right) - \\ &- \frac{12}{18} \text{UMIAR} - \frac{24}{20,09} \text{SIRED} - \frac{12}{54,94} \text{MNRED} - \frac{60}{61,95} \\ &\quad \text{FOSRED} \end{aligned} \quad (3.49)$$



$$\text{CALREG} = \text{P}_9\text{CO} \cdot (\Delta H_{298})_{\text{CO}} \cdot 1/26 - \text{P}_4\text{CO}_2 \cdot (\Delta H_{298})_{\text{CO}_2} \cdot 1/44$$

$$\text{CALREG} = 3435,0 \text{ CAREG} \quad \text{th}$$

e. CALOR DE REAÇÃO DO GÁS A ÁGUA: CALHO,  $\Delta(H_2) < 0$



$$\text{CALHO} = P_{\text{H}_2\text{O}} (\Delta H_{298})_{\text{H}_2\text{O}} \cdot 1/18 + P_{\text{CO}} (\Delta H_{298})_{\text{CO}} \cdot \\ \cdot 1/20 - P_{\text{CO}_2} (\Delta H_{298})_{\text{CO}_2} \cdot 1/44$$

$$\text{CALHO} = 4919 \text{ HIRED th}$$

### r. DECOMPOSIÇÃO DE CARBONATOS: CALCÁRIO

Dois tipos de carbonatos são enfornados no alto-forno:  
 $\text{CaCO}_3$  e  $\text{MgCO}_3$

#### (i) Decomposição de $\text{CaCO}_3$ : CALCO3

$\text{CaCO}_3$	$\longrightarrow$	$\text{CaO}$	$+ \text{CO}_2$
100,09		56,09	44
$\text{CACO}_3$		$P_{\text{CaO}}$	$P_6\text{CO}_2$

$$P_{\text{CaO}} = \frac{56,09}{100,09} \text{ CACO}_3, P_6\text{CO}_2 = \frac{44}{100,09} \text{ CACO}_3$$

$$\text{CALCO3} = P_6\text{CO}_2 (\Delta H_{298})_{\text{CO}_2} \cdot \frac{1}{44} + P_{\text{CaO}} (\Delta H_{298})_{\text{CaO}} \cdot \\ \cdot 1/56,09 - (\Delta H_{298})_{\text{CaCO}_3} \cdot \text{CACO}_3 \cdot 1/100,09$$

$$\text{CALCO3} = 427,095 \text{ CACO}_3 \text{ th}$$

#### (ii) Decomposição de $\text{MgCO}_3$ : CALMG

$\text{MgCO}_3$	$\longrightarrow$	$\text{MgO}$	$+ \text{CO}_2$
84,32		40,32	44
$\text{MGC03}$		$P_{\text{MgO}}$	$P_7\text{CO}_2$

$$P_{MgO} = \frac{40,32}{84,32} \text{ MGC03}, \quad P_{CO_2} = \frac{44}{84,32} \text{ MGC03}$$

$$\text{CALMG} = P_{CO_2} (\Delta H_{290})_{CO_2} \cdot 1/44 + P_{MgO} (\Delta H_{290})_{MgO} \cdot \\ \cdot 1/40,32 - \text{MGC03} (\Delta H_{290})_{MgCO_3} \cdot 1/84,32$$

$$\text{CALMG} = 287,534 \text{ MGC03} \quad \text{th}$$

$$\therefore \text{CALCARB} = 427,095 \text{ CAC03} + 287,534 \text{ MGC03} \quad \text{th}$$

#### g. CALOR DE CARBURAÇÃO DO GUSA : CALCA

Segundo a ref.(12) o calor necessário para carburação do gusa é de 430 Kcal/Kg de C:

$$\text{CALCA} = 430,0 \text{ CARGUSA} \quad \text{th}$$

#### h. VAPORIZAÇÃO DA UNIDADE DA CARGA: CALVAP

O calor necessário para vaporização da água é de 9,820 Kcal/M<sub>H<sub>2</sub>O</sub>:

$$\text{CALVAP} = 545,55 \text{ UMIDADE} \quad \text{th}$$

#### i. ENTALPIA DO GUSA : CALCUSA

Adotando o calor específico do gusa, C<sub>gusa</sub> = 0,165 e o calor de fusão = 70 Kcal/Kg gusa:

$$\text{CALGUSA} = [70 + 0,165 (T_{gusa} - 25)] \text{ GUSA} \quad \text{th}$$

T<sub>gusa</sub> : temperatura do gusa líquido em °C

### j. ENTALPIA DA ESCÓRIA: CALESCO

Adotando-se a fórmula empírica de Pavlov:

$$\text{CALESCO} = [347 + 0,5 (T_e - 1300)] \text{ ESCORAF} \quad \text{th}$$

para temperatura da escória:  $T_e < 1450^{\circ}\text{C}$

$$\text{CALESCO} = [422,5 + 0,4 (T_e - 1450)] \text{ ESCORAF} \quad \text{th}$$

para  $T_e > 1450^{\circ}\text{C}$

### k. ENTALPIA DA POEIRA: CALPOER

Sendo  $T_p$  a temperatura da poeira em  $^{\circ}\text{C}$  e o calor específico da poeira  $C_{\text{poeira}} = 0,2 \text{ Kcal}/^{\circ}\text{C/Kg}$ :

$$\text{CALPOER} = 0,2 \cdot T_p \cdot \text{POEIRA} \quad \text{th}$$

### l. ENTALPIA DO GÁS: CALGAS

Assumindo que no gás do alto-forno estejam presentes apenas  $\text{CO}$ ,  $\text{CO}_2$ ,  $\text{H}_2$ ,  $\text{N}_2$  e  $\text{H}_2\text{O}$  tem-se:

$$\text{CALGAS} = [(H_{T_{\text{gas}}} - H_{298})_{\text{CO}} \cdot P_{\text{CO}} + (H_{T_{\text{gas}}} - H_{298})_{\text{CO}_2} \cdot$$

$$P_{\text{CO}_2} \cdot 1/44 + (H_{T_{\text{gas}}} - H_{298})_{\text{H}_2} \cdot P_{\text{H}_2} \cdot 1/2 +$$

$$+ (H_{T_{\text{gas}}} - H_{298})_{\text{N}_2} \cdot V_{\text{TN}_2} \cdot 1/22,4 \cdot 10^3 + (H_{T_{\text{gas}}} -$$

$$- H_{298})_{\text{H}_2\text{O}} \cdot (\text{UMIDADE} \pm \frac{18}{2} \text{ HIRED}) \cdot 1/18] \quad (3.50)$$

$T_{\text{gas}}$  : temperatura do gás em  $^{\circ}\text{K}$

$$PCO = P_1 CO + P_5 CO + P_6 CO + P_7 CO + P_8 CO + P_9 CO + P_{10} CO - P_2 CO - P_3 CO - P_4 CO + COVOL$$

$$\begin{aligned} PCO = & \frac{56}{22,4 \cdot 10^3} VT02 + \frac{20}{18} UMIAR + \frac{56}{28,09} SIRED + \frac{20}{54,94} MNRED + \\ & + \frac{140}{61,95} FOSRED + \frac{56}{12} CAREG \pm \frac{20}{2} HIRED - \\ & - \frac{84}{159,7} FE03 - \frac{20}{71,05} (FEO - FE0ES) + COVOL \end{aligned} \quad (3.51)$$

$$\begin{aligned} PCO2 = & P_1 CO_2 + P_2 CO_2 + P_3 CO_2 + P_6 CO_2 + P_7 CO_2 - P_4 CO_2 - \\ & - P_5 CO_2 + COVOL2 \end{aligned}$$

$$\begin{aligned} PCO2 = & \frac{132}{159,7} FE03 + \frac{44}{71,05} (FEO - FE0ES) \pm \frac{44}{2} HIRED + \\ & + \frac{44}{100,09} CAC03 + \frac{44}{84,32} MGCO3 - \frac{44}{12} CAREG \\ & + COVOL 2 \end{aligned} \quad (3.52)$$

Portanto a necessidade calorífica total em th será:

$$\begin{aligned} CALCONS = & CALCRAQ + CALUM + CALGANG + CALREG + CALHO + \\ & + CALCARB + CALCA + CALVAP + CALGUSA + CALESCE + \\ & + CALPOER + CALGAS \end{aligned} \quad th$$

$$\begin{aligned} CALCONS = & 350,0 \cdot OLEO + 1743,44 UMIAR + CALGANG + 3435,0 \\ & CAREG + 4919,0 HIRED + 427,095 CAC03 + 287,534 \\ & MGCO3 + 430,0 CARCUSA + 545,55 UMIDADE + CALGUSA + \\ & CALESCE + CALPOER + CALGAS \end{aligned} \quad th \quad (3.53)$$

A perda de calor pelo sistema de refrigeração depende das características físicas de cada alto-forno, portanto deve ser determinada experimentalmente. A ref.(4) sugere a estimação desse valor medindo-se a temperatura da água de refrigeração.

$$\text{CALPERAF} = \text{CALFORAF} - \text{CALCONG} \quad (3.54)$$

CAPÍTULO IV - MODELO DA ACIARIA LD

IV.1. DESCRIÇÃO DA ACIARIA LD

IV.2. BALANÇO MATERIAL

IV.3. BALANÇO TÉRMICO

#### IV.1. DESCRIÇÃO DA ACIARIA LD

A fabricação do aço é um processo de refino no qual as impurezas do gusa são oxidadas incorporando-se à escória. No processo de sopragem a oxigênio, tipo LD, as cargas metálicas como gusa líquido e sucatas de aço são inicialmente carregadas num forno de formato cilíndrico, chamado de convertedor, numa posição inclinada. A seguir este é colocado em posição vertical e começa o sopro de oxigênio puro através da lança introduzida verticalmente em relação à boca do convertedor. Na zona de impacto do jato de oxigênio, a reação com metal líquido é violenta e imediata, resultando uma energética movimentação do banho. Devido ao excesso de oxigênio, neste fase inicial de sopro, a escória rica em FeO é rapidamente formada, junto com descarburação acelerada do gusa, seguindo-se as oxidações dos outros elementos como Si, Mn e P. Do ponto de vista térmico a metalurgia do aço pode ser considerada como inversa da metalurgia de gusa líquido, isto é, os elementos incorporados ao gusa no alto-forno através das reduções fortemente endotérmicas são agora oxidados liberando o calor. Além do calor contido no gusa líquido, as reações de C e Si do gusa com o oxigênio, formando CO e SiO<sub>2</sub>, são as principais fontes de calor necessário ao processo.

Devido à rapidez do processo e pela sua característica violenta, uma parte considerável de materiais é arrastada pela fumaça com a presença predominante de CO.

O atendimento às especificações metalúrgicas do aço líquido é conseguido por duas formas: O cálculo das proporções das matérias primas a enfornar em função das respectivas análises químicas e pelo controle da altura da lança. Com raras exceções referentes aos aços especiais, em geral o aço líquido produzido pelo processo LD possui uma composição química bastante uniforme no final do sopro. A variedade do tipo de aço é obtida posteriormente efetuando-se as adições específicas de metais, durante o vazamento do aço líquido numa panela. No modelo serão consideradas as restrições metalúrgicas do aço no final do sopro.

O consumo de matérias primas no processo LD será equacionado convenientemente pelo balanço material e térmico da forma similar ao modelo do alto-forno, com notações e conceitos análogos.

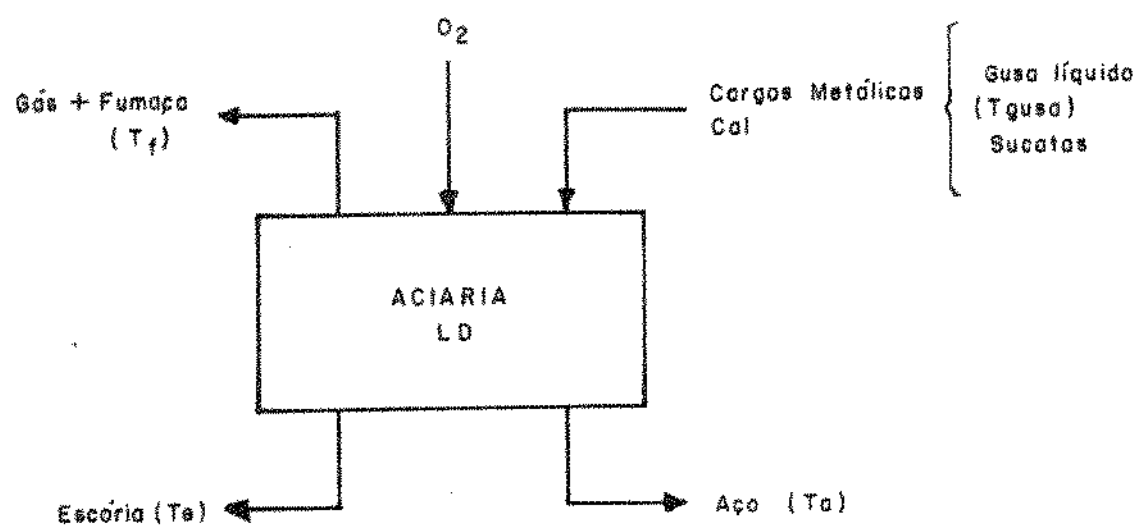


Figura 8 : Esquema de fluxo de materiais na Aciaria LD

## IV.2. BALANÇO MATERIAL DO PROCESSO LD

Baseada na esquematização do fluxo de materiais da figura 3, serão desenvolvidos balanço material e balanço térmico tomando-se como subsídios teóricos as referências (14), (15), (16) e (17).

### DESCRIÇÃO DAS VARIÁVEIS

ACO	- Quantidade de aço a ser produzido	t
CACO	- Quantidade de C no aço	t
CAL	- Quantidade de cal enfornado	t
CAD	- Quantidade de CaO na escória	t
CAOES	- Quantidade de CaO em excesso na escória	t
CARBON	- Quantidade de C enfornado	t
CO	- Quantidade de C de CO no gás	t
CO2	- Quantidade de C de CO <sub>2</sub> no gás	t
ESCOR	- Quantidade de escória	t
FEACO	- Quantidade de Fe no aço	t
FEPERD	- Quantidade de Fe perdido pela fumaça	t
FERRO	- Quantidade de Fe enfornado	t
FESC	- Quantidade de Fe na escória	t
FOPERD	- Quantidade de P perdido pela fumaça	t
FOSACO	- Quantidade de P no aço	t
FOSENF	- Quantidade de P enfornado	t
FOSES	- Quantidade de P na escória	t
GUSOL	- Quantidade de gusa sólida enfornado	t
MGO	- Quantidade de MgO enfornado	t
MNACO	- Quantidade de Mn no aço	t

MNEN	- Quantidade de Mn enfornado	t
MNESC	- Quantidade de Mn na escória	t
MNPERD	- Quantidade de Mn perdido pela fumaça	t
P02	- Quantidade de O <sub>2</sub> consumido	t
REVEST	- Consumo de revestimento (ligO)	t
SIAUX	- Quantidade de SiO <sub>2</sub> que vai para escória	t
SIENF	- Quantidade total de SiO <sub>2</sub> enfornado (SiO <sub>2</sub> +Si)	t
SIESC	- Quantidade de Si enfornado	t
SILICO	- Quantidade de SiO <sub>2</sub> na escória	t
SIOES	- Quantidade de SiO <sub>2</sub> enfornado	t
SIPERD	- Quantidade de SiO <sub>2</sub> perdido pela fumaça	t
SUCA	- Quantidade de sucata tipo A enfornada	t
SUCATA	- Quantidade de sucata de aço enfornada	t
SUCB	- Quantidade de sucata tipo B enfornada	t
VAD2	- Consumo de O <sub>2</sub> em volume	Nm <sup>3</sup>

#### IV.2.1. ENTRADA DE MATERIAIS

Seja Z<sub>i</sub> a quantidade de matéria prima i efetivamente enfornada. No caso de cal e parda através da poeira durante o enfornamento já está incorporada.

$$MNENF = \sum_i (Mn)_i Z_i \quad (4.1)$$

$$FOSENF = \sum_i (P)_i Z_i \quad (4.2)$$

$$SIENF = \sum_i (SiO_2)_i Z_i + \frac{M_{SiO_2}}{M_{Si}} \sum_i (Si)_i Z_i \quad (4.3)$$

$$MGO = \sum_i (MgO)_i z_i \quad (4.4)$$

$$CAO = \sum_i (CaO)_i z_i \quad (4.5)$$

$$CARBON = \sum_i (C)_i z_i \quad (4.6)$$

$$FERRO = \sum_i (Fe)_i z_i \quad (4.7)$$

#### IV.2.2. SAÍDA DE MATERIAIS

##### a. FUMAÇA

As perdas de materiais através da fumaça durante o processo de elaboração de aço serão consideradas proporcionais às quantidades enfornadas.

$$MNPER = a_1 MNENF \quad (4.8)$$

$$FOPERD = a_2 FOSENF \quad (4.9)$$

$$SIPERD = a_3 SIENF \quad (4.10)$$

$$FERPERD = a_4 FERRO \quad (4.11)$$

Estes são elementos presentes na fumaça cujo estado térmico é diferente, temperatura mais elevada, comparado quando do enfornamento, portanto, são de interesse do balanço térmico. Naturalmente outros elementos compõem a fumaça, por exemplo CaO, no entanto, eles representam a perda do material antes de serem efetivamente enfornados no convertedor sem participar do balanço material térmico.

mico. Por esta razão a presença de tais elementos no fumo  
ça não foi relacionada.

### b. AÇO

Desprezando os pequenos teores de S e Si, o aço líquido  
é constituído basicamente de Fe, C, Mn e P. Segundo a  
ref.(16) existem 5 Kg de O<sub>2</sub> em cada t de aço líquido, en-  
tão:

$$0,995 \text{ ACO} = \text{FEACO} + \text{CACO} + \text{MNACO} + \text{FOSACO} \quad (4.12)$$

### c. ESCÓRIA

Quase totalidade da escória é constituída de FeO, MnO,  
SiO<sub>2</sub>, P<sub>2</sub>O<sub>5</sub>, CaO e MgO.

$$(1 - k)ESCDR = \frac{\text{M}_{\text{FeO}}}{\text{M}_{\text{Fe}}} \text{ FESC} + \frac{\text{M}_{\text{MnO}}}{\text{M}_{\text{Mn}}} \text{ MNESC} + \text{SILICO} + \\ + \frac{\text{M}_{\text{P}_2\text{O}_5}}{\text{M}_{\text{P}_2}} \text{ FOSES} + \text{CAO} + \text{MGO} \quad (4.13)$$

k: teor de outros elementos na escória

Evidentemente para acertar o balanço material, seguintes  
equações são necessárias:

$$\text{MNENF} - \text{MNACO} - \text{MNESC} - \text{MNPORD} = 0 \quad (4.14)$$

$$\text{FOSENF} - \text{FOSACO} - \text{FOSES} - \text{FOPORD} = 0 \quad (4.15)$$

$$\text{SIENF} - \text{SILICO} - \text{SIPERD} = 0 \quad (4.16)$$

$$\text{FERRO} - \text{FEACO} - \text{FESC} - \text{FEPERD} = 0 \quad (4.17)$$

Nesta altura a seguinte observação se faz necessária:

Para descrever com exatidão o processo de elaboração do aço é preciso conhecer: (1) As reações que tomam parte do processo; (2) As quantidades de matérias primas ou seus derivados que são envolvidos em cada reação. A respeito da primeira parte diversas informações são disponíveis nas bibliografias existentes, porém quanto a segunda parte não se pode estabelecer, a priori, a relação quantitativa dos elementos envolvidos nas reações pois isso depende, entre outras coisas, do modo com que é operado o processo. Por essa razão, será admitido que os teores de elementos no aço e na escória sejam controláveis separadamente, embora se saiba que a composição final da escória influencia de alguma forma a composição do aço e vice-versa. Uma forma de amenizar esta hipótese é restringir a presença de alguns elementos na escória em função de uma dada composição do aço. Tais restrições seriam obtidas estatisticamente e através da experiência adquirida pelos aciariistas.

$$\text{Min} \leq \frac{\text{ESCOR}}{\text{ACO}} \leq \text{Max} \quad (4.18)$$

$$\text{Min} \leq \frac{\text{FESC}}{\text{ESCOR}} \leq \text{Max} \quad (4.19)$$

$$\text{Min} \leq \frac{\text{SILICO}}{\text{ESCOR}} \leq \text{Max} \quad (4.20)$$

$$\text{Min} \leq \frac{\text{MNESC}}{\text{ESCOR}} \leq \text{Max} \quad (4.21)$$

$$\text{Min} \leq \frac{\text{MGO}}{\text{ESCOR}} \leq \text{Max} \quad (4.22)$$

Basicidade:

$$\text{Min} \leq \frac{\text{CAO} + \text{MGO}}{\text{SILICO}} \leq \text{Max} \quad (4.23)$$

d. GÁS

O gás da LD é composto basicamente por CO e CO<sub>2</sub> e, como no alto-forno, a sua relação reflete o padrão de operação

$$\frac{\text{Volume de CO}}{\text{Volume de CO}_2} = m \longrightarrow \frac{\text{CO}}{\text{CO}_2} = m \quad (4.24)$$

$$\text{CARBON} - \text{CACO} - \text{CO} - \text{CO}_2 = 0 \quad (4.25)$$

e. RESTRIÇÕES DE ENFORNAMENTO

As sucatas e gusa sólido são acondicionadas e corregadas numa caixa metálica cuja capacidade é uma restrição:

$$\sum (\text{Sucatas} + \text{gusa sólido}) \leq \text{Capacidade da caixa} \quad (4.26)$$

A disponibilidade de matérias primas também pode participar no conjunto de restrições.

### IV.3. BALANÇO TÉRMICO DO PROCESSO LD

#### DESCRÍÇÃO DAS VARIÁVEIS

CALG	- Entalpia do gusa líquido	th
CALS	- Calor de formação de $\text{Ca}_2\text{SiO}_4$	th
CALSI	- Calor de formação de $\text{Ca}_2\text{SiO}_4$ a partir de Si	th
CALS2	- Calor de formação de $\text{Ca}_2\text{SiO}_4$ a partir de $\text{SiO}_2$	th
CALP	- Calor de formação de $\text{Ca}_3\text{P}_2\text{O}_10$	th
CALM	- Calor de formação de MnO na escória	th
CALF	- Calor de formação de FeO na escória	th
CALCO	- Calor de formação de CO	th
CALCO2	- Calor de formação de $\text{CO}_2$	th
CALPO	- Calor de formação de $\text{P}_2\text{O}_5$	th
CALFER	- Calor de formação de FeO na fumaça	th
CALMP	- Calor de formação de MnO na fumaça	th
CALFOR	- Calor fornecido	th
ENTACO	- Entalpia do aço	th
ENTES	- Entalpia da escória	th
ENTGAS	- Entalpia do gás	th
ENTFUM	- Entalpia da fumaça	th

CALOR FORNECIDO	CONSUMO DE CALOR
• Entalpia do gusa líquido	• Entalpia do aço
• Calor de formação da escó ria	• Entalpia da escória
• Calor de formação de gás	• Entalpia do gás
• Calor de formação da fuma ça	• Entalpia da fumaça
	• Perdas

#### IV.3.1. CALOR FORNECIDO

##### a. ENTALPIA DO GUSA LÍQUIDO : CALG

$$CALG = [70 + 0,165 (T_{gusa} - 25)] \text{ GUSA} \quad \text{th}$$

$T_{gusa}$  : temperatura do gusa líquido enforrado em °C

##### b. ENTALPIA DE FORMAÇÃO DA ESCÓRIA

Na escória da sciaria LD CaO combina com SiO<sub>2</sub> e P<sub>2</sub>O<sub>5</sub> formando-se silicatos (Ca<sub>2</sub>SiO<sub>4</sub>) e fosfatos (Ca<sub>3</sub>P<sub>2</sub>O<sub>8</sub>) com liberação de calor. Mn e Fe também são oxidados. Apenas MgO oriundo de cal e do revestimento interno de refratários compõe a escória de forma neutra.

##### - Formação de Ca<sub>2</sub>SiO<sub>4</sub> : CALS

Si pode entrar no convertedor em 2 formas: Si e SiO<sub>2</sub>

Si	+	O <sub>2</sub>	+	2CaO	→	Ca <sub>2</sub> SiO <sub>4</sub>
28,9		32		112,16		172,25
SIESC		P <sub>1</sub>		PCAO1		PCS01

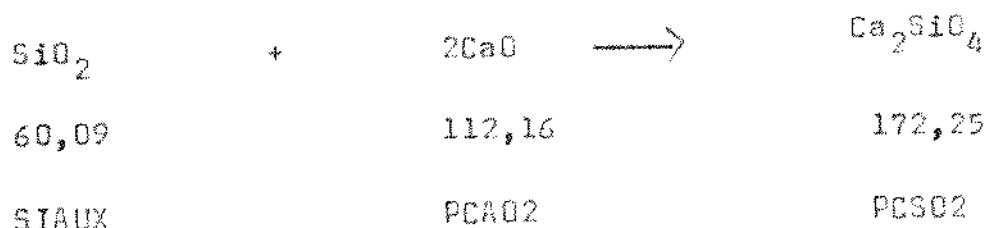
$$PCS01 = \frac{172,25}{28,09} \text{ SIESC}, P_1 = \frac{32}{28,09} \text{ SIESC}, PCA01 = \frac{112,16}{28,09}$$

SIESC

$$CALSI = PCS01 \cdot (\Delta H_{298})_{Ca_2SiO_4} \cdot 1/172,25 - PCA01(\Delta H_{298})_{Ca}$$

$$\cdot 1/56,08$$

$$CALSI = 6835,9 \text{ SIESC} \quad \text{th}$$



$$\text{PCSO2} = \frac{172,25}{60,09} \text{ SIAUX}, \text{ PCA02} = \frac{112,16}{60,09} \text{ SIAUX}$$

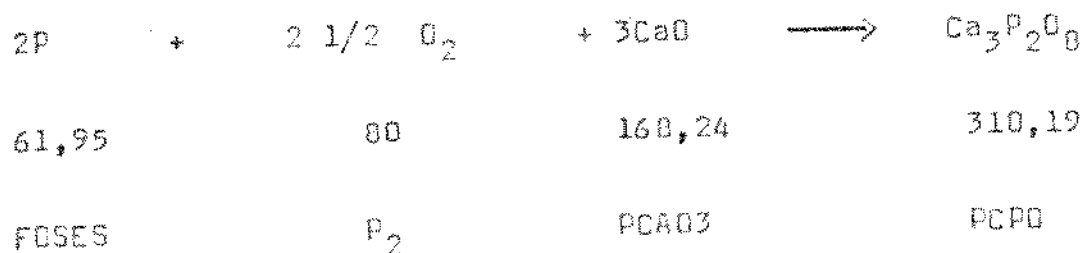
$$\text{CALP2} = \text{PCSO2} (\Delta H_{298})_{\text{Ca}_2\text{SiO}_4} \cdot \frac{1}{172,25} - \text{PCA02} (\Delta H_{298})_{\text{CaO}}$$

$$+ \frac{1}{56,09} \text{ SIAUX} \cdot (\Delta H_{298})_{\text{SiO}_2} \cdot \frac{1}{60,09}$$

$$\text{CALP2} = 639,9 \text{ SIAUX} \quad \text{th}$$

- Formação de  $\text{Ca}_3\text{P}_2\text{O}_9$  : CALP

Embora a formação de  $\text{Ca}_3\text{P}_2\text{O}_9$  resulte de várias reações, podem ser entendidas da seguinte forma:



$$\text{PCPO} = \frac{310,19}{61,95} \text{ FOSES}, \text{ PCA03} = \frac{160,24}{61,95} \text{ FOSES}, \text{ P}_2 = \frac{80}{61,95}$$

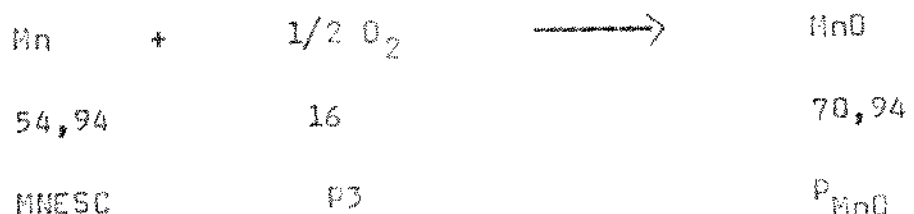
FOSES

$$\text{CALP} = \text{PCPO} (\Delta H_{298})_{\text{Ca}_3\text{P}_2\text{O}_9} \cdot \frac{1}{310,19} - \text{PCA03} (\Delta H_{298})_{\text{CaO}} \cdot$$

$$+ \frac{1}{56,09}$$

$$\text{CALP} = 8577,9 \text{ FOSES} \quad \text{th}$$

- Formação de MnO : CALM

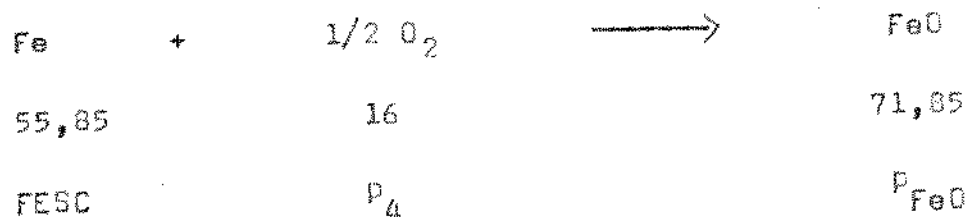


$$P_{\text{MnO}} = \frac{70,94}{54,94} \text{ MNESC}, P_3 = \frac{16}{54,94} \text{ MNESC}$$

$$\text{CALM} = P_{\text{MnO}} \cdot (\Delta H_{298})_{\text{MnO}} \cdot 1/70,94$$

$$\text{CALM} = 1675,5 \text{ MNESC} \quad \text{th}$$

- Formação de FeO : CALF



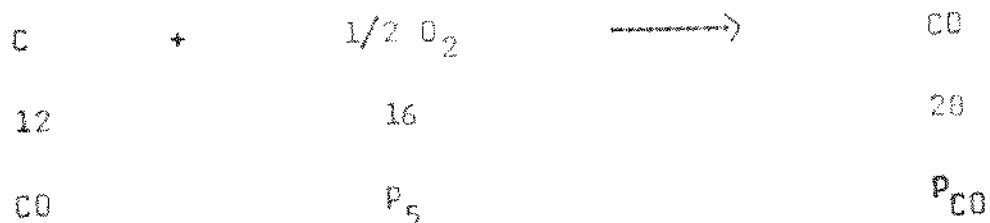
$$P_{\text{FeO}} = \frac{71,85}{55,85} \text{ FESC}, P_4 = \frac{16}{55,85} \text{ FESC}$$

$$\text{CALF} = P_{\text{FeO}} (\Delta H_{298})_{\text{FeO}} \cdot 1/71,85$$

$$\text{CALF} = 1136,9 \text{ FESC} \quad \text{th}$$

c. ENTALPIA DE FORMAÇÃO DOS GASES

- Formação do CO : CALCO

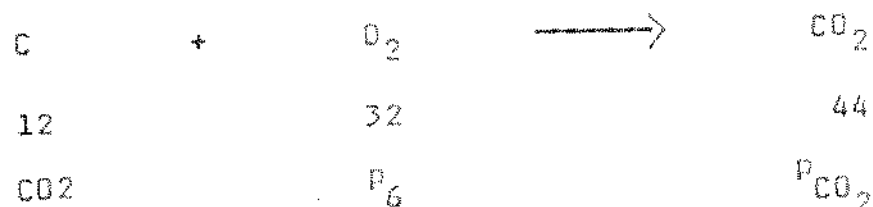


$$P_{\text{CO}} = \frac{28}{12} \text{ CO}, \quad P_5 = \frac{16}{12} \text{ CO}$$

$$\text{CALCO} = P_{\text{CO}} (\Delta H_{298})_{\text{CO}} \cdot 1/28$$

$$\text{CALCO} = 2201,3 \text{ CO} \quad \text{th}$$

- Formação de  $\text{CO}_2$  : CALCO2



$$P_{\text{CO}_2} = \frac{44}{12} \text{ CO}_2, \quad P_6 = \frac{32}{12} \text{ CO}_2$$

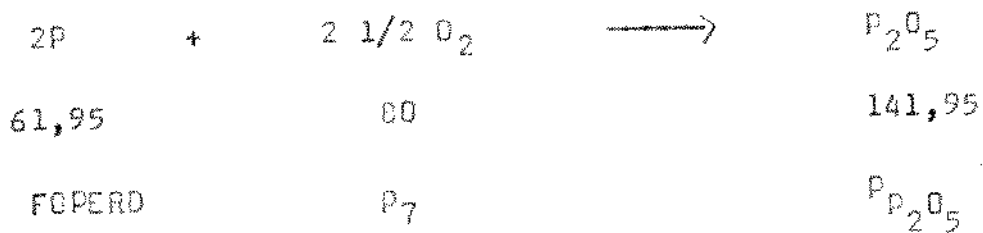
$$\text{CALCO2} = P_{\text{CO}_2} (\Delta H_{298})_{\text{CO}_2} \cdot 1/44$$

$$\text{CALCO2} = 7837,7 \text{ CO}_2 \quad \text{th}$$

d. ENTALPIA DE FORMAÇÃO DA FUMAÇA

Entre os elementos que compõem fumaça os de interesse para balanço térmico são  $\text{P}_2\text{O}_5$ ,  $\text{FeO}$ ,  $\text{MnO}$  e  $\text{SiO}_2$ . Será suposto que  $\text{SiO}_2$  da fumaça provém do  $\text{SiO}_2$  enformado, portanto sem sofrer a oxidação.

- Formação de  $P_2O_5$  : CALPO



$$P_{P_2O_5} = \frac{141,95}{61,95} \text{ FOPERD}, \quad P_7 = \frac{80}{61,95} \text{ FOPERD}$$

$$\text{CALPO} = P_{P_2O_5} (\Delta H_{298})_{P_2O_5} \cdot 1/141,95$$

$$\text{CALPO} = 5676,3 \text{ FOPERD} \quad \text{th}$$

- Formação de FeO : CALFEP

Da mesma forma:

$$P_8 = \frac{16}{55,65} \text{ FEPERD}$$

$$\text{CALFEP} = 1136,9 \text{ FEPERD} \quad \text{th}$$

- Formação de MnO : CALMP

Também é análogo:

$$P_9 = \frac{16}{54,94} \text{ MNPERD}$$

$$\text{CALMP} = 1675,4 \text{ MNPERD} \quad \text{th}$$

Portanto o calor total fornecido será:

$$\begin{aligned} \text{CALFOR} = & \text{CALG} + \text{CALS1} + \text{CALS2} + \text{CALP} + \text{CALM} + \text{CALF} + \text{CALCO} + \\ & + \text{CALCO2} + \text{CALPO} + \text{CALFEP} + \text{CALMP} \end{aligned}$$

$$\begin{aligned}
 \text{CALFOR} = & \text{CALG} + 8835,9 \text{ SIESC} + 639,9 \text{ SIAUX} + 8577,9 \text{ FOSSES} + \\
 & + 1675,5 \text{ MNESC} + 1136,9 \text{ FESC} + 2201,3 \text{ CO} + 7837,7 \\
 & \text{CO2} + 5676,3 \text{ FOPERD} + 1136,9 \text{ FPERD} + 1675,4 \text{ MNPERD}
 \end{aligned} \quad (4.27)$$

#### IV.3.2. CONSUMO DE CALOR

##### a. ENTALPIA DO AÇO : ENTACO

$$\text{ENTACO} = (- 1435 + 10,55 T_a) 1/55,85 \text{ ACD}$$

th

$T_a$  : temperatura do aço em  $^{\circ}\text{K}$

##### b. ENTALPIA DA ESCÓRIA

Na escória é necessário um excesso de CaO para mantê-la fluída e proteger o revestimento interno contra ataque do  $\text{SiO}_2$ .

$$\text{CAO} - \text{PCA01} - \text{PCA02} - \text{PCA03} > 0$$

$$\text{CAO} - 3,99288 \text{ SIESC} - 1,86653 \text{ SIAUX} - 2,71574 \text{ FOSSES} > 0$$

ou

$$\begin{aligned}
 \text{CAO} - 3,99288 \text{ SIESC} - 1,86653 \text{ SIAUX} - 2,71574 \text{ FOSSES} - \\
 - \text{CADES} = 0
 \end{aligned} \quad (4.28)$$

$$\begin{aligned}
 \text{ENTES} = & [(H_{Te} - H_{298})_{\text{Ca}_2\text{SiO}_4} \cdot 1/172,25 (\text{PCSO1} + \text{PCSO2}) + \\
 & (H_{Te} - H_{298})_{\text{Ca}_3\text{P}_2\text{O}_8} \cdot 1/310,19 \cdot \text{PCPG} + (H_{Te} - \\
 & - H_{298})_{\text{MnO}} \cdot 1/70,94 \cdot \text{PMnO} + (H_{Te} - H_{298})_{\text{FeO}} \cdot \\
 & \cdot 1/71,85 \cdot \text{PFeO} + (H_{Te} - H_{298})_{\text{CaO}} \cdot 1/56,08 \cdot \text{CADES} + \\
 & + (H_{Te} - H_{298})_{\text{MgO}} \cdot 1/40,32 \cdot \text{PMgO}] \quad \text{th} \\
 & \quad (4.29)
 \end{aligned}$$

T<sub>e</sub> : temperatura da escória LD em °K

c. ENTALPIA DOS GASES : ENTGAS

$$\begin{aligned} \text{ENTGAS} = & (H_{Tg} - H_{298})_{CO} \cdot 1/20 \cdot P_{CO} + (H_{Tg} - H_{298})_{CO_2} \cdot \\ & \cdot 1/44 \cdot P_{CO_2} \quad \text{th} \end{aligned} \quad (4.30)$$

T<sub>g</sub> : temperatura do gás LD em °K

d. ENTALPIA DA FUMAÇA : ENTFUM

$$\begin{aligned} \text{ENTFUM} = & (H_{Tf} - H_{298})_{SiO_2} \cdot 1/60,09 \text{ SIPERD} + (H_{Tf} - H_{298})_{P_2O_5} \cdot \\ & \cdot 1/141,95 \cdot P_{P_2O_5} + (H_{Tf} - H_{298})_{FeO} \cdot 1/55,85 \cdot \\ & \cdot FEPERD + (H_{Tf} - H_{298})_{MnO} \cdot 1/54,94 \cdot MMPERD \quad \text{th} \end{aligned} \quad (4.31)$$

T<sub>f</sub>: temperatura da fumaça em °K

e. PERDA TÉRMICA

$$\text{Perda térmica} = \text{CALFOR} - \text{ENTACO} - \text{ENTES} - \text{ENTGAS} - \text{ENTFUM} \quad (4.32)$$

Diversos autores, ref.(14), (15) e (16), quantificam esta perda em torno de 4% a 6%, dependendo do tipo de sucatas enfornadas e estado do revestimento interno do convertedor.

#### IV.3.3. CONSUMO DE O<sub>2</sub>

Consumo de O<sub>2</sub> = oxidação do aço + oxidação da escória +  
+ formação da fumaça + formação do gás

$$P_{O_2} = 0,005 \text{ ACO} + \sum_{i=1}^8 p_i$$

$$V_{AO_2} = \frac{22,4}{32} P_{O_2} \times 10^3 \quad (\text{Nm}^3) \quad (4.33)$$

CAPÍTULO V - UM EXEMPLO PRÁTICO

V.1. DADOS

V.2. RESULTADOS

## V.1. DADOS

Os dados utilizados neste exemplo foram obtidos na Usina de João Monlevade da CSBM. Os dados termodinâmicos são tabelados no ANEXO I.

### V.1.a. DADOS DA SINTERIZAÇÃO

- Cargas metálicas: Fino do alto-forno (sínter degradado), Minério de Ferro e Minério de Manganês.
- Consumo de carvão fino: 12% em média sobre a carga metálica úmida:  $k_1 = 0,12$
- Consumo de sínter degradado na carga metálica:  $k_2 = 0,15$
- Cinza do carvão = 17%  $\rightarrow r_1 = 0,17$
- Rendimento de calcáreo = 60%  $\rightarrow r_2 = 0,6$
- Devido à limitação da capacidade de vazão do silo de calcáreo, apenas 80% do CaO necessário pode vir deste. Portanto o restante 20% deve ser suprido através do cal:  $K_3 = 0,2$  e  $k_4 = 0,8$
- Análise química das matérias primas:

	% SiO <sub>2</sub>	% CaO	% Mn	% Fe	% P <sub>2</sub> O <sub>5</sub>	% Al <sub>2</sub> O <sub>3</sub>	% H <sub>2</sub> O
Sínter degradado	4,00	4,00	0,50	61,00	0,21	1,56	2,00
Min. Fe	3,00	-	0,08	69,94	0,16	1,10	5,00
Min. Mn	2,00	-	30,00	23,00	-	-	12,00
Cal	2,30	90,00	-	-	-	-	-
Calcáreo	1,90	52,00	-	-	-	-	5,00
Cinza	40,00	20,00	-	-	-	-	12,00

- Restrições da composição do sínter

	% min	% max
SiO <sub>2</sub>	3,50	4,50
CaO	4,00	5,20
MnO	0,71	0,85
P <sub>2</sub> O <sub>5</sub>	-	0,27
Al <sub>2</sub> O <sub>3</sub>	-	2,30
Fe	60,00	-

- Teor de Fe na forma de FeO em relação Fe total = 14,76%  $\longrightarrow$   
 $m_1 = 0,1476$  (média estatística)

Baseado nestes dados foi estabelecido seguinte conjunto de restrições da Sinterização, conforme o modelo desenvolvido no Cap. II .

## SINTERIZAÇÃO

EQUAÇÃO DO VARIÁVEL DE  
CAP. II LINHA MPSX

$0,98 \text{ FINAF} + 0,95 \text{ MNFEST} + 0,88 \text{ MNST} -$		
$- \text{ CARGAMT}$	$= 0 \text{ (2.1)}$	SINT 1
$0,12 \text{ FINAF} + 0,12 \text{ MNFEST} + 0,12 \text{ MNST} -$		
$- \text{ CARVAOST}$	$= 0 \text{ (2.2)}$	SINT 2
$0,98 \text{ FINAF} - 0,15 \text{ CARGAMT}$	$= 0 \text{ (2.3)}$	SINT 3
$\text{CARGAMT} + 0,17 \text{ CARVAOST} + \text{CALST} + 0,57$		
$\text{CALCARST} - \text{SINTER}$	$= 0 \text{ (2.4)}$	SINT 4
$0,0392 \text{ FINAF} + 0,0285 \text{ MNFEST} + 0,0176$		
$\text{MNST} + 0,023 \text{ CALST} + 0,0180 \text{ CALCARST} +$		
$+ 0,0680 \text{ CARVAOST} - \text{SISINT}$	$= 0 \text{ (2.5)}$	SINT 5
$\text{SISINT} - 0,035 \text{ SINTER}$	$\geq 0 \text{ (2.6a)}$	SINT 6A
$- \text{SISINT} + 0,045 \text{ SINTER}$	$\geq 0 \text{ (2.6b)}$	SINT 6B
$0,0392 \text{ FINAF} + 0,9 \text{ CALST} + 0,494$		
$\text{CALCARST} + 0,034 \text{ CARVAOST} - \text{CAOST}$	$= 0 \text{ (2.7)}$	SINT 7
$\text{CAOST} - 0,048 \text{ SINTER}$	$\geq 0 \text{ (2.8a)}$	SINT 8A
$- \text{CAOST} + 0,052 \text{ SINTER}$	$\geq 0 \text{ (2.8b)}$	SINT 8B
$0,9 \text{ CALST} - 0,13 \text{ CALCARST}$	$= 0 \text{ (2.9)}$	SINT 9
$0,0063 \text{ FINAF} + 0,001 \text{ MNFEST} + 0,3409$		
$\text{MNST} - \text{MNSINT}$	$= 0 \text{ (2.10)}$	SINT 10
$\text{MNSINT} - 0,0071 \text{ SINTER}$	$\geq 0 \text{ (2.11a)}$	SINT 11A
$- \text{MNSINT} + 0,0085 \text{ SINTER}$	$\geq 0 \text{ (2.11b)}$	SINT 11B
$0,002 \text{ FINAF} + 0,0015 \text{ MNFEST} - \text{FOSST}$	$= 0 \text{ (2.12)}$	SINT 12
$- \text{FOSST} + 0,0027 \text{ SINTER}$	$\geq 0 \text{ (2.13)}$	SINT 13
$0,0153 \text{ FINAF} + 0,0104 \text{ MNFEST} - \text{ALUMST}$	$= 0 \text{ (2.14)}$	SINT 14
$- \text{ALUMST} + 0,023 \text{ SINTER}$	$\geq 0 \text{ (2.15)}$	SINT 15
$0,5978 \text{ FINAF} + 0,6645 \text{ MNFEST} + 0,2024$		
$\text{MNST} - \text{FERROST}$	$= 0 \text{ (2.16)}$	SINT 16

SINTERIZAÇÃO

EQUAÇÃO DO VARIÁVEL DE  
CAP. II LINHA MPSX

FERROST = 0,6 SINTER

$\geq 0$  (2.17) SINT 17

FEOST = 0,1899 FERROST

$= 0$  (2.18) SINT 18

FE03ST = 1,2187 FERROST

$= 0$  (2.19) SINT 19

### V.1.b. DADOS DO ALTO-FORNO

- Materiais primos enfornados: sínter, carvão (grosso e fino), calcário e areia (quartzito).
- Análise química das matérias primas:

SUBST. (%)	CINZAS DO CARVÃO		AREIA	CALCÁREO
	GROSSO	FINO		
SiO <sub>2</sub>	18,90	19,10	91,04	3,04
Fe <sub>2</sub> O <sub>3</sub>	4,86	11,75	3,32	2,70
MnO	0,80	0,71	0,14	-
Al <sub>2</sub> O <sub>3</sub>	2,92	1,67	2,44	-
CaO	31,05	27,59	-	-
MgO	6,32	5,30	-	-
P <sub>2</sub> O <sub>5</sub>	3,69	1,17	0,11	-
CaCO <sub>3</sub>	-	-	-	94,17
MgCO <sub>3</sub>	-	-	-	0,19
H <sub>2</sub> O	-	-	5,00	5,00

OBS.: As análises químicas são feitas na base seca, isto é, considerando 100% do material após a eliminação completa da umidade (H<sub>2</sub>O).

- Análise do ar:

$$\% O_2 = 21,0 \quad , \quad \% N_2 = 79,0$$

$$\text{umidade} = 15 \text{ g de H}_2\text{O / Nm}^3 \text{ de ar}$$

- Análise do óleo combustível:

$$\% C = 86,0 \quad , \quad \% H_2 = 13,0 \quad , \quad \% H_2O = 0,4$$

- Posira = 2% das matérias primas enfornadas  $\longrightarrow \alpha_i = 0,02$

- Índice de redução de MnO = 66,0%  $\rightarrow$   $m = 0,66$

- Restrições da escória:

$$0,15 < \frac{\text{PESO DA ESCÓRIA}}{\text{PESO DO GUSA LÍQUIDO}} < 0,25$$

$$0,8 < \text{Basicidade} = \frac{\text{CaO}}{\text{SiO}_2} < 1,1$$

- Restrições da composição do gusa líquido:

	% min	% max
P	0,1	2,5
Mn	0,3	4,0
Si	0,2	0,6

- Capacidade de sopro de ar pelas ventaneiras:

$$C_v = 24.000 \text{ Nm}^3 / \text{h}$$

- Balanço de gás do alto-forno:

. Balanço de H<sub>2</sub>:

$$\Delta (\text{H}_2) < 0$$

$$r_h = \text{rendimento de redução} = 0,4$$

. Balanço de C = 0

$$\chi_{AF} = \frac{V_{\text{CO}}}{V_{\text{CO}_2}} = 1,6$$

- Restrições de enfornamento de carvão:

$$\frac{\text{CARVÃO GROSSO}}{\text{CARVÃO TOTAL ENFORNADO}} \geq 0,6$$

$$\frac{\text{CARVÃO FINO}}{\text{CARVÃO TOTAL ENFORNADO}} \geq 0,2$$

- Capacidade de carregamento:

$$C_{AF} = 7 \text{ t}$$

$$h_{AF} = \text{ciclo de transporte} = 5 \text{ min}$$

- Temperaturas envolvidas

- Temperatura do ar =  $850^{\circ}\text{C} = 1.123^{\circ}\text{K}$
- Temperatura do óleo =  $100^{\circ}\text{C} = 373^{\circ}\text{K}$
- Temperatura do gusa =  $1.250^{\circ}\text{C} = 1.523^{\circ}\text{K}$
- Temperatura da escória =  $1.250^{\circ}\text{C} = 1.523^{\circ}\text{K}$
- Temperatura da poeira =  $127^{\circ}\text{C} = 400^{\circ}\text{K}$
- Temperatura do gás =  $127^{\circ}\text{C} = 400^{\circ}\text{K}$

Baseado nestes dados obtém-se seguinte conjunto de restrições do alto-forno conforme o modelo do Cap. III:

ALTO - FORNO

0,98 FEOST - FEO	= 0 (3.1)	AF 1
0,0325 AREIA + 0,0264 CALCAR + 0,98 FE03ST + 0,0021 CARGRO + 0,0050 CARFIN - FE03	= 0 (3.2)	AF 2
0,0011 AREIA + 0,0016 CARGRO + 0,0005 CARFIN + 0,98 FOSST - P05	= 0 (3.3)	AF 3
0,0013 AREIA + 0,98 MNSINT + 0,0003 CARGRO + 0,0003 CARFIN - MNO	= 0 (3.4)	AF 4
0,9228 CALCAR - CAC03	= 0 (3.5)	AF 5
0,5603 CAC03 + 0,98 CADST + 0,0142 CARGRO + 0,0117 CARFIN - CADAF	= 0 (3.6)	AF 6
0,0019 CALCAR - MGCO3	= 0 (3.7)	AF 7
0,4781 MGCO3 + 0,0028 CARGRO + 0,0022 CARFIN - MGOAF	= 0 (3.8)	AF 8
0,0239 AREIA + 0,96 ALUMST + 0,0013 CARGRO + 0,0007 CARFIN - ALUMIN	= 0 (3.9)	AF 9
0,8922 AREIA + 0,0298 CALCAR + 0,98 SISINT + 0,0084 CARGRO + 0,0001 CARFIN - - SILIES	= 0 (3.10)	AF 10
0,049 AREIA + 0,049 CALCAR + 0,0882 CARGRO + 0,147 CARFIN - UMIDADE	= 0 (3.11)	AF 11
0,0864 CARGRO + 0,0766 CARFIN - COVOL	= 0 (3.12)	AF 12
0,0789 CARGRO + 0,0700 CARFIN - COVOL2	= 0 (3.13)	AF 13
0,12 CAC03 + 0,4286 COVOL + 0,2727 COVOL2 + 0,1423 MGCO3 - CARVOL	= 0 (3.14)	AF 14
0,6534 CARGRO + 0,6022 CARFIN + 0,86 OLEO - CARBOAF	= 0 (3.15)	AF 15
0,21 VTAR + V02 - VTD2	= 0 (3.16)	AF 16
0,79 VTAR - VTN2	= 0 (3.17)	AF 17

ALTO - FORNO

0,000015 VTAR - UMIAR	= 0 (3.18)	AF 18
0,01 VTAR - 0,78 VO2	> 0 (3.19)	AF 19
0,0252 CARGRO + 0,0224 CARFIN - HIDVOL	= 0 (3.21)	AF 21
0,13 OLEO + 0,1111 UNIAR + HIOVOL - - HIDROG	= 0 (3.22)	AF 22
FERED + FOSRED + MNRED + SIRED + + CARGUSA - GUSA	= 0 (3.23)	AF 23
0,4364 P05 - FOSRED	= 0 (3.24)	AF 24
0,511 MNO - MNRED	= 0 (3.25)	AF 25
0,7773 FEO + 0,6994 FE03 - 0,7773FE0ES - - FERED	= 0 (3.26)	AF 26
0,0477 GUSA + 0,03 MNRED - 0,3 SIRED - - 0,35 FOSRED - CARGUSA	= 0 (3.27)	AF 27
FOSRED - 0,001 GUSA	> 0 (3.28a)	AF 28A
- FOSRED + 0,025 GUSA	> 0 (3.28b)	AF 28B
MNRED - 0,003 GUSA	> 0 (3.29a)	AF 29A
- MNRED + 0,04 GUSA	> 0 (3.29b)	AF 29B
SIRED - 0,002 GUSA	> 0 (3.30a)	AF 30A
- SIRED + 0,006 GUSA	> 0 (3.30b)	AF 30B
CARGUSA - 0,04 GUSA	> 0 (3.30c)	AF 30C
- CARGUSA + 0,045 GUSA	> 0 (3.30d)	AF 30D
CADAF + SIESCOR + MGDAF + ALUMIN + FE0ES + + MNO - 1,2912 MNRED - ESCORAF	= 0 (3.31)	AF 31
SILIES - 2,1392 SIRED - SIESCOR	= 0 (3.32)	AF 32
0,01 ESCORAF - FE0ES	= 0 (3.33)	AF 33
CADAF - 0,8 SIESCOR	> 0 (3.34a)	AF 34A
- CADAF + 11 SIESCOR	> 0 (3.34b)	AF 34B
ESCORAF - 0,15 GUSA	> 0 (3.35a)	AF 35A

ALTO - FORNO

ESCORAF + 0,25 GUSA	$\geq 0$ (3.35b)	AF 35B
0,02 AREIA + 0,02 CALCAR + 0,02 SINTER + + 0,02 CARVÃO - POEIRA	= 0 (3.36)	AF 36
HIDROG - HIRED - PH2	= 0 (3.37)	AF 37
HIRED - 0,4 HIDROG	= 0 (3.38)	AF 38
0,0014 VT02 + 0,3005 FEO3 + 0,2227 FEO + + 1,1392 SIRED + 0,2912 MNRED + 1,2913 FOSRED + 0,32 CACO3 + 0,3794 MGCO3 + + 0,5714 COVOL + 0,7273 COVOL2 + 0,8889 UMIAR - 0,2227 FEDES - 8,0 HIRED - OXIGEN	= 0 (3.39)	AF 39
CARBOAF + CARVOL - CARGUSA - CARGAS	= 0 (3.40)	AF 40
0,5417 OXIGEN - CARGAS	= 0 (3.41)	AF 41
SINTER + CALCAR + AREIA + CARVAO < 55600	(3.42)	AF 42
CARGRO - 0,6 CARVAO	$\geq 0$ (3.43)	AF 43
CARFIN - 0,2 CARVAD	$\geq 0$ (3.44)	AF 44
CARGRO + CARFIN - CARVAD	= 0 (3.45)	AF 45
0,2855 VT02 + 0,2737 VTN2 + 414,6111 UMIAR - CALVENT	= 0 (3.46)	AF 46
CALVENT + 47,3716 OLEO + 2,3585 VT02 + 42,0037 FEO3 + 57,564 FEO - 57,564 FEDES + + 125,0 SIESCOR - CALFORAF	= 0 (3.47)	AF 47
5586,26 SIRED + 1194,65 MNRED + 3544,31 FOSRED - CALGANG	= 0 (3.48)	AF 48
CARBOAF - CARGUSA - 0,00107 VT02 - 0,6666 UMIAR - 0,8544 SIRED - 0,2184 MNRED - - 0,9685 FOSRED - CAREG	= 0 (3.49)	AF 49
25,357 PCO + 21,702 PCO2 + 353,5 PH2 + + 0,0317 VTN2 + 45,83 UMIDADE + 412,5 HIRED - CALGAS	= 0 (3.50)	AF 50

ALTO - FORNO

0,0025 VT02 + 1,5555 UMIAR + 1,9936 SIRED +  
+ 0,5096 MNRED + 2,2599 FOSRED + 4,6667  
CAREG + 14,0 HIRED - 0,526 FE03 - 0,3897  
FEO + 0,3897 FEOES + COVOL - PCO = 0 (3.51) AF 51

0,8265 FE03 + 0,6124 FEO - 3,6667 CAREG -  
- 22,0 HIRED - 0,6124 FEOES + 0,4397  
CAC03 + 0,5218 MGCO3 + COVOL2 - PCO2 = 0 (3.52) AF 52

350,0 OLEO + 1743,44 UMIAR + CALGANG +  
+ 3435,0 CAREG + 4919,0 HIRED + 427,095  
CAC03 + 287,534 MGCO3 + 430,0 CARGUSA +  
+ 545,55 UMIDADE + 272,125 GUSA + 322,0  
ESCORAF + 25,4 POEIRA + CALGAS - CALCONS = 0 (3.53) AF 53

CALFORAF - CALCONS - CALPERAF = 0 (3.54) AF 54

CALPERAF - 100,0 GUSA > 0 (3.55a) AF 55A

- CALPERAF + 400,0 GUSA > 0 (3.55b) AF 55B

### V.I.C. DADOS DA ACIARIA LO

- Cargas metálicas: gusa líquido, gusa sólido, sucata de aço, sucata tipo A e sucata tipo B.
- Análises químicas das cargas metálicas:

	% C	% Mn	% P	% Si	% SiO <sub>2</sub>	% Fe
CUSA SÓLIDO	3,80	0,90	0,15	0,80	-	91,0
SUCATA DE AÇO	0,15	0,45	0,03	0,15	-	99,2
SUCATA A	-	2,80	0,48	-	8,00	75,0
SUCATA B	-	2,80	0,48	-	15,06	65,0

- Rendimento de cal = 73 %
- Perdas: (esses dados foram estimados)
  - de Mn = 34,0% de Mn enornado
  - de P = 4,0% de P enornado
  - de SiO<sub>2</sub> = 16,6% de SiO<sub>2</sub> enornado
  - de Fe = 1,4% de Fe enornado

- Restrições da escória

$$0,085 < \frac{\text{PESO DA ESCÓRIA}}{\text{PESO DO AÇO}} < 0,09$$

Composição:

	% FeO	% SiO <sub>2</sub>	% MnO	% MgO
min	12,0	13,7	4,2	3,0
max	27,0	21,6	9,2	5,7

O peso das outras cargas que não foram consideradas neste modelo como  $\text{Al}_2\text{O}_3$ ,  $\text{Cr}_2\text{O}_3$  etc, foi estimado em 4,5% da escória.

$$\text{Basicidade : } 2,8 \leq \frac{\text{CaO} + \text{MgO}}{\text{SiO}_2} \leq 3,2$$

- Composição padrão do aço líquido  
0,2% Mn, 0,018% P, 0,00% C

- Relação CO -  $\text{CO}_2$  do gás:

$$\delta_{LD} = \frac{V_{CO}}{V_{CO_2}} = 5,7$$

- Restrições de carregamento:

- . Capacidade da caixa com gusa sólida = 7,3 t
- . Capacidade da caixa com gusa sólida = 15,0 t
- . Sucata de aço + Sucata A  $\leq$  175 Kg / t aço
- . Gusa sólida + 2(Sucata de aço + Sucata A)  $\leq$  350 Kg / t aço
- . Sucata A + Sucata B  $\leq$  40 Kg / t aço
- . Sucata B  $\leq$  20 Kg / t aço
- . 900 Kg / t aço  $\leq$  gusa líquido  $\leq$  1.135 Kg / t aço

- Temperaturas envolvidas:

$$\text{Temperatura do gusa líquido} = 1.200^{\circ}\text{C} = 1.473^{\circ}\text{K}$$

$$\text{Temperatura do aço líquido} = 1.620^{\circ}\text{C} = 1.893^{\circ}\text{K}$$

$$\text{Temperatura da escória} = 1.660^{\circ}\text{C} = 1.933^{\circ}\text{K}$$

$$\text{Temperatura do gás} = 1.620^{\circ}\text{C} = 1.893^{\circ}\text{K}$$

$$\text{Temperatura da fumaça} = 1.620^{\circ}\text{C} = 1.893^{\circ}\text{K}$$

- Conjunto das restrições da ACIARIA LD:

## ACIARIA LD

MNRED + 0,0045 SUCATA + 0,020 SUCA + 0,028 SUCB + 0,009 GUSOL - MNENF	= 0 (4.1)	ALD 1
FOSRED + 0,0003 SUCATA + 0,0040 SUCA + + 0,0048 SUCB + 0,0015 GUSOL - FOGENF	= 0 (4.2)	ALD 2
SIRED + 0,0015 SUCATA + 0,008 GUSOL - SIESC = 0 (4.3a)		ALD 3A
0,08 SUCA + 0,1506 SUCB + 0,0146 CAL - SIDES	= 0 (4.3b)	ALD 3B
2,1392 SIESC + SIDES - SIENF	= 0 (4.3c)	ALD 3C
0,00304 CAL + REVEST - MGO	= 0 (4.4)	ALD 4
0,6497 CAL - CAO	= 0 (4.5)	ALD 5
CARGUSA + 0,0015 SUCATA + 0,038 GUSOL - - CARBON	= 0 (4.6)	ALD 6
FERED + 0,992 SUCATA + 0,75 SUCA + 0,65 SUCB + 0,91 GUSOL - FERRO	= 0 (4.7)	ALD 7
MNPERD - 0,3417 MNENF	= 0 (4.8)	ALD 8
FOPERD - 0,0393 FOSENF	= 0 (4.9)	ALD 9
SIPERD - 0,1664 SIENF	= 0 (4.10)	ALD 10
FEPERD - 0,0135 FERRO	= 0 (4.11)	ALD 11
FEACO + CACO + MNACO + FOSACO - 0,995 ACO	= 0 (4.12)	ALD 12
MNACO - 0,002 ACO	= 0 (4.12a)	ALD 12A
FOSACO - 0,00018 ACO	= 0 (4.12b)	ALD 12B
CACO - 0,0008 ACO	= 0 (4.12c)	ALD 12C
1,3485 FESC + 1,3535 MNESC + 1,0482 SILICO + + 2,4019 FOSES + 1,0482 CAO + 1,0482 MGO - - ESCOR	= 0 (4.13)	ALD 13
MNENF - MNACO - MNPERD - MNESC	= 0 (4.14)	ALD 14
FOSENF - FOSACO - FOPERD - FOSES	= 0 (4.15)	ALD 15
SIENF - SIPERD - SILICO	= 0 (4.16)	ALD 16

## ACIARIA LD

SIDES - SIPERD - SIAUX	= 0 (4.16a)	ALD 16A
FERRO - FESC - FEPERD - FEACO	= 0 (4.17)	ALD 17
ESCOR - 0,085 ACO	>0 (4.18a)	ALD 18A
- ESCOR + 0,09 ACO	>0 (4.18b)	ALD 18B
FESC - 0,09313 ESCOR	>0 (4.19a)	ALD 19A
- FESC + 0,21059 ESCOR	>0 (4.19b)	ALD 19B
SILICO - 0,1369 ESCOR	>0 (4.20a)	ALD 20A
- SILICO + 0,2157 ESCOR	>0 (4.20b)	ALD 20B
MNESC - 0,0271 ESCOR	>0 (4.21a)	ALD 21A
- MNESC + 0,0712 ESCOR	>0 (4.21b)	ALD 21B
MGO - 0,03 ESCOR	>0 (4.22a)	ALD 22A
- MGO + 0,057 ESCOR	>0 (4.22b)	ALD 22B
CAO + MGO - 2,8 SILICO	>0 (4.23a)	ALD 23A
- CAO - MGO + 3,2 SILICO	>0 (4.23b)	ALD 23B
CO - 5,7 CO2	= 0 (4.24)	ALD 24
CARBON - CO - CO2 - CACO	= 0 (4.25)	ALD 25
SUCATA + SUCA - SUCENF	= 0 (4.26a)	ALD 26A
GUSOL + 2 SUCENF - CAPACX	= 0 (4.26b)	ALD 26B
0,175 ACO - SUCENF	>0 (4.26c)	ALD 26C
0,35 ACO - CAPACX	>0 (4.26d)	ALD 26D
0,04 ACO - SUCA - SUCB	>0 (4.26e)	ALD 26E
GUSA - 0,8 ACO	>0 (4.26f)	ALD 26F
- GUSA + 1,135 ACO	>0 (4.26g)	ALD 26G
0,02 ACO - SUCB	>0 (4.26h)	ALD 26H
263,875 GUSA + 8835,9 SIESC + 639,9 SIAUX +		
+ 8577,9 FOSES + 1675,5 MNESC + 1136,9		
FESC + 2201,3 CO + 7837,7 CO2 + 5676,3		
FOPERD + 1136,9 FEPERD+1675,4MNPERD-CALFOR = 0 (4.27)		ALD 27

ACIARIA LD

CAO - 3,9929 SIESC - 1,8665 SIAUX - 2,7157 FOSES - CAOES	= 0 (4.28)	ALD 28
1315,6 SILICO + 2263,2 FOSES + 404,4 MNESC + + 568,7 FESC + 383,8 CAOES + 501,4 NGO - - ENTES	= 0 (4.29)	ALD 29
1035,8 CO + 1655,9 CO2 - ENTGAS	= 0 (4.30)	ALD 30
437,6 SIPERD + 1071,5 FOPERD + 531,0 FEPERD + 373,7 MNPERD - ENTFUM	= 0 (4.31)	ALD 31
0,945 CALFOR - 331,89 ACO - ENTES - - ENTGAS - ENTFUM - CALPERD	= 0 (4.32)	ALD 32
3,5 ACO + 797,3 SIESC + 203,7 MNESC + + 203,7 MNPERD + 200,2 FESC + 200,2 FEPERD + 933,1 CO + 1866,9 CO2 + 903,7 FOSES + 903,7 FOPERD - VA02	= 0 (4.33)	ALD 33

#### V.1.d. FUNÇÃO OBJETIVA

A função objetiva adotada neste exemplo foi a maximização da lucratividade cuja expressão é:

$$\text{Maximizar } Z(x) = p_v \text{ ACO} - \sum_i c_i x_i$$

Sujeito à:

Conjunto de restrições da Sinterização

Conjunto de restrições do Alto-Forno

Conjunto de restrições da Aciaria LD

onde:  $p_v$  = preço de venda equivalente do aço líquido  
(R\$ 50.000 / t)

$c_i$  = custo por tonelada da matéria-prima i

$x_i$  = quantidade de matéria-prima i

ACO = produção do aço líquido em t

A escolha desta função objetiva se baseou no fato de que normalmente a capacidade de produção da aciaria ser maior que à do alto-forno, exigindo portanto dos engenheiros de produção cuidados metalúrgicos no processo de produção de sinter e gusa, de modo que as respectivas composições químicas proporcionem maior produtividade na elaboração de aço, além da utilização econômica das matérias-primas disponíveis.

## CUSTOS UNITÁRIOS (C<sub>i</sub>)

### - SINTERIZAÇÃO

Minério de Fe	:	HNFEST	-	Rs 661,10 / t
Minério de Mn	:	RNST	-	Rs 5.420,00 / t
Sinter degradado	:	FINAF	-	Rs 2.950,00 / t
Cal	:	CALST	-	Rs 12.030,00 / t
Calcário triturado	:	CALCARST	-	Rs 1.660,00 / t
Carvão fino (moinha)	:	CARVAOST	-	Rs 12.460,00 / t
Outros custos no sinter			-	Rs 2.650,00 / t sinter

### - ALTO-FORNO

Calcário britado	:	CALCAR	-	Rs 1.930,00 / t
Areia (quartzito)	:	AREIA	-	Rs 610,00 / t
Carvão grosso	:	CARGRO	-	Rs 15.230,00 / t
Carvão fino	:	CARFIN	-	Rs 12.460,00 / t
Óleo	:	OLEO	-	Rs 43.900,00 / t
O <sub>2</sub>	:	VO2	-	Rs 5,35 / Nm <sup>3</sup>
Ar comprimido	:		-	Rs 0,82 / Nm <sup>3</sup>
Outros custos no gusa			-	Rs 8.051,10 / t gusa

### - ACIARIA LD

Gusa sólido	:	GUSOL	-	Rs 21.087,00 / t
Sucata de aço	:	SUCATA	-	Rs 19.000,00 / t
Sucata A	:	SUCA	-	Rs 7.101,60 / t
Sucata B	:	SUCB	-	Rs 3.550,80 / t
Cal	:	CAL	-	Rs 12.030,00 / t
O <sub>2</sub>	:	VO2	-	Rs 5,35 / Nm <sup>3</sup>

## V.2. RESULTADOS

O período de planejamento adotado no exemplo foi de um mês, durante o qual considerou-se a disponibilidade sem restrição das matérias primas. O exemplo, que contém 136 restrições e 155 variáveis na forma padronizada em 47 variáveis de folga, foi executado através do MPSX / 370 (MATHEMATICAL PROGRAMMING SYSTEM EXTENDED) com seguinte programa de controle:

MPSX/370 R1.6		MPSCL COMPILETIME
1	0001	PROGRAM
2	0002	INITIAL
3	0205	TITLE ('OTIMIZACAO DO PROG. LINT-AP-LOP')
4	0206	MOVE(XDATA, 'GUSAOT')
5	0207	MOVE(XPNAME, 'CTEPAC')
6	0208	CONVERT('SUMMARY')
7	0209	BODOUT
8	0210	MOVE(XBUND, 'RESTRICT')
9	0211	MOVE(XRHS, 'CUTIT')
10	0212	MOVE(XRHS, 'LAUGA')
11	0213	MOVE(XRINMAX, 'MAX')
12	0214	SETUP
13	0215	OPTIMIZE
14	0414	SOLUTION
15	0415	RANGE
16	0416	EXIT
17	0417	PEND

O programa, cujo tempo total de execução foi de 0,23 min de CPU, inicializa aloçando os dados identificados através de XDATA, XPNAME, XBUND, XOBJ e XRHS. Em seguida a síntese de um exame minucioso dos dados é imprimido pelo CONVERT, indicando se existem ou não os erros. BODOUT imprime o conjunto de dados intitulado de "GUSAOT" e SETUP prepara o programa para otimização identificando o tipo, no caso maximização, e alo-

cando os blocos de memória conforme as estatísticas do CONVERT. A otimização propriamente dita é processada pelo OPTIMIZE, que efetua inicialmente a 1<sup>a</sup> fase procurando uma solução factível e em seguida passa para 2<sup>a</sup> fase a procura de uma solução ótima factível pelo método SIMPLEX REVISADO.

Uma vez obtida uma solução ótima factível, os resultados são imprimidos através do SOLUTION (ANEXO 2). Os resultados consistem em 2 partes: secção 1 (ROWS) e secção 2 (COLUMNS). Na secção 1 cada restrição, equação ou inequação, é identificada conforme a notação adotada nos itens anteriores, V.l.a , V.l.b e V.l.c, por exemplo SINT5, AF20A e ALD15, respectivamente. Vale lembrar que o NPGX designa uma variável da folga para cada restrição.

A coluna AT indica o estado da variável:

BS - variável na base e factível

EQ - não básica, artificial ou fixo

UL - não básica, solução no limite superior

LL - não básica, solução no limite inferior

Coluna ACTIVITY - mostra o valor da restrição que é obtido pela diferença  $b_i - l_i$ , onde  $b_i$  é i-ésimo elemento do vetor  $b$  (Right-Hand-Side) e  $l_i$  é o valor da variável de folga.

Coluna SLACK ACTIVITY - mostra o valor da variável de folga ( $l_i$ )

Coluna LOWER LIMIT e UPPER LIMIT - mostram os limites inferiores e superiores adotadas, respectivamente.

Coluna DUAL ACTIVITY - mostra a sensibilidade da solução, indicando a variação do valor da função objetiva em função da variação do valor da coluna ACTIVITY em torno da vizinhança. Trata-se do valor da variável dual ou vetor multiplicador (Simplex Multiplier).

Os resultados da secção 2 são semelhantes aos da secção 1. A solução de cada variável é mostrada na coluna ACTIVITY com respetivo estado, na coluna AT. As únicas diferenças residem na coluna INPUT COST no lugar de SLACK ACTIVITY da secção 1, indicando o custo (ou receita) unitário tomado na função objetiva, e REDUCED COST no lugar de DUAL ACTIVITY, vetor de custo relativo, cujo significado é similar ao da secção 1.

Após os resultados convencionais do SOLUTION, o RANGE (ANEXO 3) mostra, já na fase pós-otimização, os limites de análise de sensibilidade que permitem algumas inferências sobre as restrições e custos adotados. Os resultados do RANGE consistem em 4 partes: secção 1 e 3 contém informações económicas para as restrições que estejam no limite (inferior ou superior) e no nível intermediário, respectivamente. Tais informações para variáveis são obtidas nas secções 2 e 4, sendo que a secção 2 refere-se para as variáveis não básicas e secção 4 refere-se às variáveis básicas. As colunas ACTIVITY, SLACK ACTIVITY, COST INPUT e LOWER (UPPER) LIMIT têm os mesmos significados do SOLUTION.

Nas secções 1 e 3 os dois valores da coluna UNIT COST que aparecem para cada restrição (equação ou inequação do problema) indicam a variação do valor da função objetiva em função da variação unitária da solução (ACTIVITY), até atingir os valores correspondentes na coluna LOWER (UPPER) ACTIVITY, se respetivos limites, LOWER (UPPER) LIMIT, fossem relaxados. Uma vez atingido o valor da coluna LOWER (UPPER) ACTIVITY, a variável correspondente na coluna LIMITING PROCESS sai da base, no caso da secção 1 ou entra na base no caso da secção 3, no estado indicado na coluna AT. Em outras palavras, tal mecanismo pode ser expresso da seguinte forma:

$$\Delta Z = \lambda \Delta b \quad \text{para secção 1}$$

$$\Delta Z = c \Delta x \quad \text{para secção 3}$$

onde:  $\Delta Z$  - variação do valor da função objetiva

- $\lambda$  - vetor da variável dual
- $\Delta b$  - variação do vetor disponibilidade ou de restrições
- $c$  - vetor de custo ou de receita
- $\Delta x$  - variação do vetor de variáveis primais

Portanto, em ambos os casos, a variação do valor da função objetiva  $\Delta Z$  indicada na coluna UNIT COST somente tem validade se  $\Delta b$  ou  $\Delta x$  não implicar a mudança de base.

Nas secções 2 e 4 a análise de sensibilidade é feita em função da variação do vetor  $c$ , custo ou receita unitário (INPUT COST), associado ao vetor de variável  $x$ . Portanto, a coluna LOWER (UPPER) COST, que indica os limites de variação de  $c$  sem que haja alteração do valor da solução ótima (ACTIVITY), só é preenchida nestas secções. Quando tais limites são atingidos a variável assume o valor correspondente indicado na coluna LOWER (UPPER) ACTIVITY e a variável indicada na coluna LIMITING PROCESS deixa a base, no caso da secção 2, ou entra na base, no caso da secção 4, no estado indicado na última coluna AT.

A variação da função objetiva  $\Delta Z$  na coluna UNIT COST é por unidade de variação da solução da variável (ACTIVITY) e tem validade até o limite especificado na LOWER (UPPER) ACTIVITY. Na secção 2 esta variação  $\Delta Z$  é o próprio vetor de custos relativos que aparece na coluna REDUCED COST da secção 2 (COLUMNS) do SOLUTION.

Pelo visto, os resultados do RANGE permitem análise de sensibilidade da solução ótima para os seguintes casos:

- a. variação do custo ou receita associado a cada variável (secções 2 e 4)
- b. relaxação das restrições metalúrgicas, operacionais ou de disponibilidade (secção 1)

c. variação dos valores das inequações em torno dos respectivos níveis ótimos (seção 3).

Esta análise dos resultados do atual exemplo será tratada no Capítulo VI.

A seguir são apresentados alguns principais resultados de interesse metalúrgico e operacional:

### SINTERIZAÇÃO

#### a. Consumos específicos (Kg / t sinter)

Sinter degradado	=	143,27
Minério de ferro	=	822,90
Minério de manganês	=	15,77
Moinha de carvão	=	117,83
Cal	=	8,88
Calcáreo	=	61,50

#### b. Composição química ( % )

SiO <sub>2</sub>	=	3,86
CaO	=	4,80
MnO	=	7,10
P <sub>2</sub> O <sub>5</sub>	=	0,15
Al <sub>2</sub> O <sub>3</sub>	=	1,07
Fe	=	63,56

#### c. Custo do sinter = R\$ 5.524,00 / t

## ALTO FORNO

a. Consumos específicos (Kg / t gusa)

Sinter	=	1.511,90
Areia	=	22,27
Calcáreo	=	0,0
Carvão grosso	=	409,39
Carvão fino	=	272,92
Óleo	=	0,0

b. Ar soprado = 1.139,52 Nm<sup>3</sup> / t gusa

O<sub>2</sub> injetado = 14,61 Nm<sup>3</sup> / t gusa

Taxa de enriquecimento

de O<sub>2</sub> no ar 1,0 %

c. Composição química do gusa ( % )

P	=	0,13
Mn	=	0,55
Si	=	0,46
C	=	4,60
Fe	=	94,25

d. Peso da escória = 177,31 Kg / t gusa

e. Composição química da escória ( % )

SiO <sub>2</sub>	=	41,07
CaO	=	45,18
MgO	=	0,96
Al <sub>2</sub> O <sub>3</sub>	=	2,69
MnO	=	2,06
FeO	=	1,00

f. Custo do gusa líquido = R\$ 27.110,00 / t

ACIARIA LD

a. Consumos específicos (Kg / t aço)

Gusa sólido	-	0,0
Gusa líquido	-	900,00
Sucata de aço	-	140,67
Sucata tipo A	-	20,00
Sucata tipo B	-	20,00
Cal	-	57,24

b. Consumo de O<sub>2</sub> - 59,25 Nm<sup>3</sup> / t aço

c.. Composição química do aço líquido ( % )

P	-	0,018
Mn	-	0,200
C	-	0,080
O <sub>2</sub>	-	0,500
Fe	-	99,202

d. Peso da escória - 85,0 Kg / t aço

e. Composição química da escória ( % )

FeO	-	20,40
MnO	-	3,87
SiO <sub>2</sub>	-	15,31
P <sub>2</sub> O <sub>5</sub>	-	3,41
CaO	-	45,06
MgO	-	3,14

CAPÍTULO VI - CONCLUSÕES

## VI . CONCLUSÕES

Foram apresentadas neste trabalho as estruturas básicas de um modelo de otimização dos processos siderúrgicos utilizando Programação Linear. A principal vantagem do modelo consiste em possibilitar um aproveitamento máximo da flexibilidade metalúrgica de uma usina siderúrgica integrada. Isto é, toda vez que houver uma alteração no sistema de produção (reparação de um alto-forno por exemplo) ou de suprimento de matérias-primas, novas composições de semi-produtos podem ser estabelecidas sempre visando o maior retorno global. No exemplo do capítulo anterior, deixando livre a disponibilidade das matérias-primas, foi obtido o teor de Si no gusa líquido, 0,46 %, ligeiramente superior ao nível normal da Usina de Nonlevade que é em torno de 0,35 %. Tal composição permite menor consumo de gusa líquido, 900 Kg / t aço contra a média atual de 930 Kg / t aço na Usina, compensando-o com sucata de aço cujo preço é menor. Naturalmente caso seja limitada a disponibilidade de sucata de aço, como acontece frequentemente em certas épocas de falta de sucatas no mercado, uma nova solução ótima será pesquisada.

Por outro lado, este teor de Si no gusa líquido (0,46%) e maior custo de calcáreo em relação a areia sugerem operar o alto-forno com máxima basicidade permitida na escória,  $\% \text{CaO} / \% \text{SiO}_2 = 45,18 / 41,07 = 1,1$ .

Como foi dito no capítulo anterior a análise de sensibilidade do RANGE (ANEXO 3) pode proporcionar algumas conclusões interessantes. Lembrando que as restrições ou variáveis que estão no estado EQ na coluna AT são as equações de balanços de massa e térmico, portanto não podem ser relaxadas mesmo com altos retornos, inicialmente serão analisadas aquelas que estão fora da base.

Começando pela seção 1, no caso da sinterização duas restrições quanto à composição química do sinter podem ser questionadas: A restrição SINT8A que indica o limite inferior do teor de CaO no sinter,  $\text{CaO}_{\text{ST}} - 0,040 \leq \text{SINTER} > 0$ , assumiu o valor zero, isto é, %CaO no sinter = 4,0 %. Entretanto a análise de sensibilidade mostra que o valor da função objetiva (lucratividade global) aumentaria

R\$ 24.221,50 para cada unidade (t) a menos no valor desta restrição até atingir - 189,04 (convém salientar que a unidade do custo ou receita é 1000 R\$). A relaxação deste limite inferior implica em admitir menor teor de CaO no sinter, que do ponto de vista metalúrgico seria prejudicial pois dificultaria a aglomeração adequada do minério, gerando muito sinter fino. Quanto à restrição SINT 11A que indica o limite inferior do teor de MnO no sinter, MNSINT = - 0,0071 SINTER  $\geq$  0, a análise de sensibilidade mostra que para cada decréscimo de 1 t desta restrição poderá obter-se um aumento de R\$ 25.760,67 na lucratividade global até atingir - 6,03 t . Isto significa admitir menor teor de MnO no sinter, que para Sinterização não seria problema pois a presença de MnO no sinter tem como finalidade principal suprir a necessidade deste elemento no alto-forno para elaboração do gusa líquido. Como não há mudanças de base até o limite de - 6,03 t, todas as outras restrições continuam sendo satisfeitas neste intervalo, inclusive as do alto-forno, portanto a restrição SINT 11A poderá ser revista sem prejuízo às restrições metalúrgicas das fases posteriores de produção.

No caso do alto-forno existem também duas restrições que são de interesse para análise: AF19 e AF 43. A restrição AF19 traduz o limite superior do enriquecimento de O<sub>2</sub> no ar soprado (veja cap. III, secção III.2.1.) que é no máximo 1,0%, 0,01 VTAR - 0,76 V02  $\geq$  0. Acima deste limite a temperatura de chama aumenta demasiadamente prejudicando a operação do alto-forno, portanto, embora permita uma alta lucratividade (até - R\$ 234,6 . 10<sup>6</sup> / mês), a relaxação da restrição AF19 é difícil. Quanto à restrição AF43 que representa a proporção mínima de carvão grosso no carvão total enfornado no alto-forno, CARGR0 - 0,6 CARVAD  $\geq$  0 , é previsto até - R\$ 3,3 . 10<sup>6</sup> / mês de aumento de lucratividade com sua relaxação. Embora seja viável, a menor proporção de carvão grosso piora o escoamento de gases dentro do forno dificultando a condução da marcha regular. Portanto esta restrição deve ser revista com cuidado.

Na parte da açoaria LD duas restrições de carregamento de cargas metálicas serão analisadas: ALD26E e ALD26H. Estas restrições representam os limites superiores de enfornamento de sucatas do tipo A e B juntas e apenas de sucata B, respectivamente:

0,04 ACO	- SUCA - SUCB	$\geq 0$	ALD 26E
0,02 ACO	- SUCD	$\geq 0$	ALD 26H

Estes limites foram estabelecidos pelos aciariistas devido às qualidades inferiores dessas cucasas que normalmente apresentam grandes variações nas composições químicas, dificultando o acerto final da composição do aço líquido. Mesmo assim, tendo em vista retornos significativos, até  $\text{R\$ } 5,6 \cdot 10^6 / \text{mês}$  para ALD 26E e  $\text{R\$ } 1,7 \cdot 10^6 / \text{mês}$  para ALD 26H, um investimento na melhoria de controle de processo pode ser uma alternativa economicamente viável.

A análise da sensibilidade das variáveis não básicas na seção 2 mostra que o consumo de óleo no alto-forno, cuja solução ótima indicou zero, somente será vantajoso caso o preço diminuisse de R\$ 43,90 / Kg para R\$ 26,67 / Kg. Da mesma forma o enfornamento de gusa sólida na acaria LO seria aconselhável somente quando o preço cair para R\$ 18,15 / Kg.

As seções 3 e 4 do RANGE mostram a variação no valor da função objetiva quando ocorrem pequenos desvios em relação à solução ótima. Como são muitas variáveis básicas será comentado apenas um caso para cada seção e título de ilustração:

Na seção 3 a restrição AF42, que representa a capacidade de transporte de matérias primas para alto-forno cujo limite é de 55.600 t/mês, assumiu-se o valor 30.927 t. Isto significa que a capacidade de transporte através do balão ou skip, está suficientemente dimensionada e o fator limitante na produção de gusa neste caso é a capacidade de sopro no ar, como pode ser constatado na seção 2 do SOLUTION. Dessa maneira para cada tonelada a menos no enfornamento no alto-forno há uma diminuição de R\$ 9.510,50 na lucratividade global até atingir 29.442 t. Abaixo deste valor a restrição AF19 entra na base, isto é, não seria mais necessário enriquecer o ar com O<sub>2</sub> para atender a demanda de O<sub>2</sub> no alto-forno. Por outro lado o enfornamento acima do valor ótimo (30.927 t) acarreta o consumo de calcáreo (CALCAR entra na base), sem no entanto isso proporcionar o aumento correspondente na produção do gusa e conse-

quentemente do aço, dando como resultado uma diminuição de lucratividade de R\$ 2.761,62 para cada t de acréscimo.

Agora na seção 4, o enfornamento ótimo de carvão grosso foi de 5.712 t / mês com custo unitário de R\$ 15.230 / t. Caso o preço do carvão grosso aumentasse para R\$ 33.712,94 / t, o seu consumo passará a ser 93,6 t / mês sendo substituído em parte pelo óleo combustível que entra na base. Por outro lado, caso o preço diminuisse para R\$ 14.641,90 / t o consumo aumentará para 7.512 t / mês, fazendo com que a restrição AF43 entre na base, isto é, a proporção de carvão grosso no carvão total enfornado superará o mínimo de 60%. Mantendo o preço adotado no exemplo, a lucratividade global diminui R\$ 18.491,94 para cada tonelada de carvão grosso que deixa de ser enfornado. Da mesma forma, a redução da lucratividade será de R\$ 568,10 para cada tonelada e mais que a solução ótima.

Conforme visto até agora a análise de sensibilidade através do RANGE permite questionar algumas restrições adotadas no modelo com ponderações econômicas, assim como prever novas soluções na hipótese de mudança dos preços das matérias primas. Ainda através do modelo pode ser diagnosticada a economicidade de alguns insu- mos de uso comum ou de novas matérias primas, conhecendo-se as suas análises químicas e o grau de participação nas reações dos respectivos processos. Dessa forma, a alternativa econômica entre, por exemplo, o uso de um material exotérmico como FeSi 14/16 e o aumento do teor de Si no gusa líquido, a fim de assegurar o balanço térmico do processo LD, pode ser testada.

Como pode ser constatado no exemplo do capítulo anterior, o modelo manipula um grande número de dados. Visando facilitar o levantamento de tais dados de forma sistemática para cada execução do modelo, é conveniente classificá-los em dois grupos: Operacionais e de Suprimento.

Os dados operacionais seriam aqueles inerentes ao sistema de produção, isto é, caracterizam o padrão de processo ou de funcionamento dos equipamentos e normalmente invariáveis durante diversos períodos de otimização. Citando como exemplos: as restrições meta-

lúrgicas dos semi-produtos e das escórias em geral, capacidade de vazão de ar nas ventaneiras do alto-forno, basicidade, a relação CO-CO<sub>2</sub> nos gases do alto-forno e da aciaria LD, perdas térmicas, etc. Tais dados refletem-se diretamente na confiabilidade dos resultados portanto devem ser obtidos após vários balanços materiais e térmicos, utilizando-se o modelo apresentado.

Os dados de suprimento constituem o universo das restrições que caracterizam um dado período em que se procura obter uma estratégia ótima de produção, portanto devem ser fornecidos para cada execução do modelo. Os preços unitários, disponibilidades e composições químicas das matérias primas são exemplos dos dados de suprimento.

A NEXO

1

ANEXO I

	Al	Ca	C	H	Fe	Mg	Mn	N
mol	26,98	40,08	12,011	1,008	55,85	24,32	54,94	14,008
	O	P	Si	SiO <sub>2</sub>	Fe <sub>2</sub> O <sub>3</sub>	Al <sub>2</sub> O <sub>3</sub>	CaCO <sub>3</sub>	MgCO <sub>3</sub>
mol	16	30,975	28,09	60,09	159,7	101,96	100,091	84,331
	FeO	H <sub>2</sub> O	CO	CO <sub>2</sub>		MnO	CaO	MgO
mol	71,85	18,016	28,011	44,011	70,94	56,08	40,32	231,55
	P <sub>2</sub> O <sub>5</sub>							
mol	141,95							

TABELA 1: Peso atômico e molecular das principais substâncias envolvidas na elaboração do gusa e do aço.

Fonte: ref.(9)

SUBST.	H <sub>298</sub> °K cal / mol
CO	26.416
CO <sub>2</sub>	94.052
H <sub>2</sub> O	57.798
SiO <sub>2</sub>	209.750
MnO	92.050
P <sub>2</sub> O <sub>5</sub>	351.650
FeO	63.500
Fe <sub>2</sub> O <sub>3</sub>	196.200
Fe <sub>3</sub> O <sub>4</sub>	266.800
CaO	151.600
Si + O <sub>2</sub> + 2CaO = Ca <sub>2</sub> SiO <sub>4</sub>	551.400 *
P <sub>2</sub> O <sub>5</sub> + 3CaO = Ca <sub>3</sub> P <sub>2</sub> O <sub>8</sub>	986.200 **

TABELA 2: Calor de formação de principais substâncias  
Fontes: ref(9), \* ref(15), \*\* ref (11)

SUBST.	$H_T = H_{298.0K}$	Cal / mol
O <sub>2</sub>	$7,16T + 0,50 \cdot 10^{-3}T^2 + 0,40 \cdot 10^5 \cdot T^{-1} = 2313$	
N <sub>2</sub>	$6,83T + 0,45 \cdot 10^{-3}T^2 + 0,12 \cdot 10^5 \cdot T^{-1} = 2117$	
H <sub>2</sub> O	$7,30T + 1,23 \cdot 10^{-3}T^2 = 2286$	
C	$4,03T + 0,57 \cdot 10^{-3}T^2 + 2,04 \cdot 10^5 \cdot T^{-1} = 1936$	
H <sub>2</sub>	$6,52T + 0,39 \cdot 10^{-3}T^2 - 0,12 \cdot 10^5 \cdot T^{-1} = 1938$	
CO	$6,79T + 0,49 \cdot 10^{-3}T^2 + 0,11 \cdot 10^5 \cdot T^{-1} = 2105$	
CO <sub>2</sub>	$10,57T + 1,05 \cdot 10^{-3}T^2 + 2,06 \cdot 10^5 \cdot T^{-1} = 3936$	
MnO	$13,90T = 5670$ *	
FeO	$16,30T = 1200$ *	
CaO	$13,50T = 5520$ *	
MgO	$12,60T = 5070$ *	
SiO <sub>2</sub>	$14,41T - 0,97 \cdot 10^{-3}T^2 = 4455$	
P <sub>2</sub> O <sub>5</sub>	$1/2 (73,60T - 6570)$	
Ca <sub>2</sub> SiO <sub>4</sub>	$49,0T = 19110$ *	
Ca <sub>3</sub> P <sub>2</sub> O <sub>8</sub>	$79,0T = 18600$ *	

TABELA 3: Calor sensível de principais substâncias

Fontes: ref(10) , \* ref.(15)

ANEXO

2

## SECTION 1 - ROWS

NUMBER	ROW	ACTIVITY	STACK ACTIVITY	CUSTOM LIMIT	SUPPORT LIMIT	DUAL ACTIVITY
1	FORUT	BS	323040.37045	323040.37045	NONE	1.00000
2	SINT11	EQ			4.51671	
3	SINT12	EQ			12.72425	
4	SINT13	EQ			2.62314	
5	SINT14	EQ			4.01834	
6	SINT15	EQ			1.47651	
7	SINT16	EQ				
8	SINT168	BS	133.53934	133.53934	NONE	10.16398
9	SINT17	EQ			24.22153	
10	SINT18	LL			7.75291	
11	SINT19	EQ			26.75942	
12	SINT19	EQ			25.16028	
13	SINT19	EQ				
14	SINT11A	LL				
15	SINT11A	BS				
16	SINT12	EQ				
17	SINT13	BS				
18	SINT14	EQ				
19	SINT14	BS				
20	SINT16	EQ				
21	SINT17	BS				
22	SINT18	EQ				
23	SINT19	EQ				
24	AF1	EQ				
25	AF2	EQ				
26	AF3	EQ				
27	AF4	EQ				
28	AF5	EQ				
29	AF6	EQ				
30	AF7	EQ				
31	AF8	EQ				
32	AF9	EQ				
33	AF10	EQ				
34	AF11	EQ				
35	AF12	EQ				
36	AF13	EQ				
37	AF14	EQ				
38	AF15	EQ				
39	AF16	EQ				
40	AF17	EQ				
41	AF18	EQ				
42	AF19	LL				
43	AF21	EQ				
44	AF22	EQ				
45	AF23	EQ				
46	AF24	EQ				
47	AF25	EQ				
48	AF26	EQ				
49	AF27	EQ				

**NUMBER AT ACTIVITY STACK ACTIVITY LOWER-LIMIT UPPR-LIMIT USUAL ACTIVITY**

50	AF28A	BS	4.73744	4.73744	NONE
51	AF28B	BS	330.13992	330.13992	NONE
52	AF29A	BS	34.81603	34.81603	NONE
53	AF29B	BS	481.45322	481.45322	NONE
54	AF30A	BS	37.12104	37.12104	NONE
55	AF30B	BS	16.55189	16.55189	NONE
56	AF30C	BS	83.65011	83.65011	NONE
57	AF30D	BS	27.93567	27.93567	NONE
58	AF31	EQ			8.21278
59	AF32	EQ			1.41911
60	AF33	EQ			21.87654
61	AF34A	BS	304.92396	304.92396	NONE
62	AF34B	LL			6.07122
63	AF35A	BS	381.41961	381.41961	NONE
64	AF35B	BS	1013.90270	1013.90270	NONE
65	AF36	EQ			6.35327
66	AF37	EQ			2.84191
67	AF38	EQ			34.3.41629
68	AF39	EQ			58.10647
69	AF40	EQ			
70	AF41	EQ			107.27057
71	AF42	BS	30927.71611	24572.28389	NONE
72	AF43	LL			56378
73	AF44	BS	1904.08117	1904.08117	NONE
74	AF45	EQ			350.78
75	AF46	EQ			0.2501
76	AF47	EQ			0.2521
77	AF48	EQ			0.2531
78	AF49	EQ			0.2531
79	AF50	EQ			0.2531
80	AF51	EQ			0.2531
81	AF52	EQ			0.2531
82	AF53	EQ			0.2531
83	AF54	EQ			0.2531
84	AF55A	LL			NONE
85	AF55B	BS	4185966.90325	4185966.90325	NONE
86	AL01	EQ			21.81756
87	AL02	EQ			54.47950
88	AL03A	EQ			115.64393
89	AL03B	EQ			56.01342
90	AL03C	EQ			56.01342
91	AL04	EQ			324.32050
92	AL05	EQ			14.35679
93	AL06	EQ			5.73773
94	AL07	EQ			18.67159
95	AL08	EQ			34.76774
96	AL09	EQ			61.78153
97	AL10	EQ			67.24259
98	AL011	EQ			20.21557
99	AL012	EQ			19.14469
100	AL013A	EQ			14.56345



## SECTION 2 - COLUMNS

## NUMBER - COLUMNS - AT - ACTIVITY - INVESTMENT - LIMIT - JITTER-COST - REDUCED-COST

138	FINAF	BS	3022.5C599	2.45000-	
139	MATEST	BS	17460.3C697	6.6110-	
140	KAST	BS	532.6C164	5.4200-	
141	CARGANT	BS	19747.5C550		NONE
142	CANVADST	BS	2495.8C970	12.4500-	
143	CALST	BS	187.4C1663	12.0300-	
144	CAGCARST	BS	1297.4C433	1.6400-	
145	SINISTER	BS	1045.6C171	3.4250-	
146	SISINT	BS	315.8C303		NONE
147	CACST	BS	1012.6C170		NONE
148	AVSINT	BS	167.2C493		NONE
149	FUSST	BS	32.5C447		NONE
150	AUQST	BS	226.7C183		NONE
151	ENRQST	BS	35.1C10.06448		NONE
152	FEQST	BS	264.5C1730		NONE
153	FFC361	BS	1642.6C144		NONE
154	FEQ	BS	2495.6C473	6.0000-	
155	ART14	BS	310.6C134	1.3000-	
156	CALCAS	BS	571.2.2C152	4.5.2300-	
157	CARGAQ	BS	330.6.1C234	12.4500-	
158	CAGFIN	BS	6257.1C575		NONE
159	FEQ3	BS	162.8C214		NONE
160	PC5	BS	150.1C529		NONE
161	ANC	BS	150.1C529		NONE
162	CACO3	BL			
163	CAGAF	BS	1118.8C635		
164	MACCO3	BL			
165	YCCAF	BS	24.37224		
166	ALUMIN	BS	23.77245		
167	SIL1ES	BS	11123.5C477		
168	UNIDACE	BS	1374.3C463		
169	COVOL	BS	786.2C309		
170	COVUL2	BS	717.2C673		
171	C42VOL	BS	532.1C400	43.4000-	
172	CUEQ	BL			
173	CAGUDAF	BS	6025.9C523		
174	VTR	BL	15952320.0C00	1590000.0000	
175	V02	BS	20324.1C485	20032-	
176	V102	BS	354236.1C343	20035-	
177	VIN2	BS	12561000.0C00		
178	UNILAR	BS	216.5C262		
179	HISVNL	BS	226.2C137		
180	HISVSC	BS	255.7C472		
181	FENKB	BS	13151.0C013		
182	FESBED	BS	18.4C056		
183	SHATEQ	BS	76.8C173		
184	SIREQ	BS	65.0C746		
185	CAGUSA	BS	641.5C103		
186	CUSA	BS	13553.2C601	8.35110-	

1533-6334(199101)11:1;1-1

OTIMIZAÇÃO DO PROG. SINT-AP-LD

NUMBER	COLUMNS	ACTIVITY
187	FEDES	BS 24.74403
188	SIEFOR	BS 1935.41300
189	ESCAF	BS 2474.4.C306
190	CARAV	BS 9520.4.C306
191	PGEPA	BS 6138.5.C312
192	WRED	BS 102.3.C304
193	BH2	BS 153.4.C302
194	OXIGEN	BS 10421.1.C304
195	CAGAS	BS 5915.4.C324
196	CAL VEN1	BS 4540315.0.C426
197	CAL FORA	BS 13847.862.4.C28
198	CALGANG	BS 521106.4.C318
199	CARES	BS 1133.6.C318
200	PCO	BS 846.4.C304
201	PCO 2	BS 8343.1.C276
202	CALOS	BS 640514.4.C255
203	CALCON S	BS 1245.6440.1.C17
204	CALPERE	BS 139522.3.C138
205	SUCATA	BS 2304.3.C6506
206	SUGA	BS 116.97132.3.C6506
207	SUSO	BS 35132.3.C6506
208	TUOL	BS 22.3.C6506
209	UNICUF	BS 104.4.C318
210	FOSBENF	BS 22.3.C6506
211	SIFSC	BS 68.4.C304
212	CAL	BS 85.4.C304
213	SINES	BS 84.4.C304
214	STEAF	BS 230.4.C6505
215	REVEST	BS 34.2.C6705
216	NCG	BS 39.932413
217	CAG	BS 576.56142
218	CABRON	BS 843.2.C6505
219	FERES	BS 1587.17.5.C6505
220	WFOFAG	BS 56.67264
221	FUPFET	BS 37.8779
222	SPERAD	BS 33.63204
223	FPPERD	BS 214.2.C743
224	VNACD	BS 12.4.C228
225	VNACD	BS 31.5.C716
226	VNACD	BS 2.7.C534
227	FESSACC	BS 1550.5.C112
228	ACD	BS 277.2.C6505
229	FESCC	BS 277.1.C6505
230	WRESC	BS 6.0.C6505
231	SUTCO	BS 615.41.4.C6505
232	FOSSE	BS 35.4.C6505
233	STAU	BS 213.4.C6505
234	CS	BS 234.4.C6505
235	CS	BS 235.4.C6505
236	CC2	BS 236.4.C6505
237	SUCENE	BS 237.4.C6505

400287370 311-6 01111240 DC PROG+ SINT-AF-LD

PAGE 24 82/305

-

NAME \_\_\_\_\_ NUMBER \_\_\_\_\_ COLUMNS \_\_\_\_\_ ACTIVITIES \_\_\_\_\_

A NEXO            3

## MPSX/370 R1-6 OPTIMIZACAO DO PROG. SINT-AP-LO

PAGE 29 82/365

NUMBER	ACTIVITY	STACK ACTIVITY	LOWER LIMIT	UPPER LIMIT	COST UNIT COST	LOWER COST	UPPER COST	LIMITING AT
25 - AF2	EQ				AL021A AF350 LL	6.13953 6.13953-	6.13953 6.13953-	
26 - AF3	EQ				AL020A AF28A LL	2.06411 2.06411	2.06411 2.06411	
27 - AF4	EQ				AL021A AF350 LL	6.13953 6.13953-	6.13953 6.13953-	
28 - AF5	EQ				AF350 AF350 LL	14.32403 14.32403	14.32403 14.32403	
29 - AF6	EQ				AF350 AF350 LL	14.32403 14.32403	14.32403 14.32403	
30 - AF7	EQ				AF350 AF350 LL	14.32403 14.32403	14.32403 14.32403	
31 - AF8	EQ				AF350 AF350 LL	14.32403 14.32403	14.32403 14.32403	
32 - AF9	EQ				AF350 AF350 LL	14.32403 14.32403	14.32403 14.32403	
33 - AF10	EQ				AF350 AF350 LL	14.32403 14.32403	14.32403 14.32403	
34 - AF11	EQ				AF350 AF350 LL	14.32403 14.32403	14.32403 14.32403	
35 - AF12	EQ				AF350 AF350 LL	14.32403 14.32403	14.32403 14.32403	
36 - AF13	EQ				AF350 AF350 LL	14.32403 14.32403	14.32403 14.32403	
37 - AF14	EQ				AF350 AF350 LL	14.32403 14.32403	14.32403 14.32403	
38 - AF15	EQ				AF350 AF350 LL	14.32403 14.32403	14.32403 14.32403	
39 - AF16	EQ				AF350 AF350 LL	14.32403 14.32403	14.32403 14.32403	
40 - AF17	EQ				AF350 AF350 LL	14.32403 14.32403	14.32403 14.32403	
41 - AF18	EQ				AF350 AF350 LL	14.32403 14.32403	14.32403 14.32403	
42 - AF19	EQ				AF350 AF350 LL	14.32403 14.32403	14.32403 14.32403	
43 - AF21	EQ				AF350 AF350 LL	14.32403 14.32403	14.32403 14.32403	

NUMBER	ROW	ACTIVITY	LOWER LIMIT	UPPER LIMIT	UNIT COST	LOCKER COST	UNIT COST	LOCKER COST	UNIT COST	LOCKER COST
4	44	AF22	EQ		1333.70166-	129.52541-	129.52541-	129.52541-	129.52541-	129.52541-
5	45	AF23	EQ		98.40053	13.62653	13.62653	13.62653	13.62653	13.62653
6	46	AF24	EQ		2073.47217	13.62653	13.62653	13.62653	13.62653	13.62653
7	47	AF25	EQ		23.11652-	4.71569-	4.71569-	4.71569-	4.71569-	4.71569-
8	48	AF26	EQ		69.27895-	17.18532-	17.18532-	17.18532-	17.18532-	17.18532-
9	49	AF27	EQ		942.56470-	32.46710-	32.46710-	32.46710-	32.46710-	32.46710-
10	50	AF28	EQ		4416.67964	464157-	27.94157-	23.35922-	23.35922-	23.35922-
11	51				61.46378	61.46378	61.46378	61.46378	61.46378	61.46378
12	52	AF31	EQ		979.71264-	37.9.12684	37.9.12684	37.9.12684	37.9.12684	37.9.12684
13	53	AF32	EQ		277.57209-	24489.84375	1.61011-	1.51011-	1.51011-	1.51011-
14	54	AF33	EQ		857.70305-	24.4.6436	21.4.6166-	20.4.6166-	20.4.6166-	20.4.6166-
15	55	AF35	EQ		306.34753-	416.73363	6.0.0.0.0.0.0.	6.0.0.0.0.0.0.	6.0.0.0.0.0.0.	6.0.0.0.0.0.0.
16	56	AF36	EQ		313520.37500-	313520.37500-	6352-	6352-	6352-	6352-
17	57	AF38	EQ		105.34723-	105.34723-	345.41627-	345.41627-	345.41627-	345.41627-
18	58	AF39	EQ		152.71503	4191.72364	619.0.0.0.0.0.	619.0.0.0.0.0.	619.0.0.0.0.0.	619.0.0.0.0.0.
19	59	AF37	EQ		22477.34375-	15.6.6.6.6.6.	9.66131-	9.66131-	9.66131-	9.66131-
20	60	AF30	EQ		152.71503	4191.72364	619.0.0.0.0.0.	619.0.0.0.0.0.	619.0.0.0.0.0.	619.0.0.0.0.0.
21	61	AF34	EQ		22477.34375-	15.6.6.6.6.6.	9.66131-	9.66131-	9.66131-	9.66131-
22	62	AF35	EQ		152.71503	4191.72364	619.0.0.0.0.0.	619.0.0.0.0.0.	619.0.0.0.0.0.	619.0.0.0.0.0.
23	63	AF36	EQ		22477.34375-	15.6.6.6.6.6.	9.66131-	9.66131-	9.66131-	9.66131-
24	64	AF37	EQ		152.71503	4191.72364	619.0.0.0.0.0.	619.0.0.0.0.0.	619.0.0.0.0.0.	619.0.0.0.0.0.
25	65	AF38	EQ		152.71503	4191.72364	619.0.0.0.0.0.	619.0.0.0.0.0.	619.0.0.0.0.0.	619.0.0.0.0.0.
26	66	AF39	EQ		152.71503	4191.72364	619.0.0.0.0.0.	619.0.0.0.0.0.	619.0.0.0.0.0.	619.0.0.0.0.0.
27	67	AF30	EQ		22477.34375-	15.6.6.6.6.6.	9.66131-	9.66131-	9.66131-	9.66131-
28	68	AF34	EQ		22477.34375-	15.6.6.6.6.6.	9.66131-	9.66131-	9.66131-	9.66131-
29	69	AF35	EQ		22477.34375-	15.6.6.6.6.6.	9.66131-	9.66131-	9.66131-	9.66131-
30	70	AF36	EQ		22477.34375-	15.6.6.6.6.6.	9.66131-	9.66131-	9.66131-	9.66131-
31	71	AF37	EQ		22477.34375-	15.6.6.6.6.6.	9.66131-	9.66131-	9.66131-	9.66131-
32	72	AF38	EQ		22477.34375-	15.6.6.6.6.6.	9.66131-	9.66131-	9.66131-	9.66131-
33	73	AF39	EQ		22477.34375-	15.6.6.6.6.6.	9.66131-	9.66131-	9.66131-	9.66131-
34	74	AF30	EQ		22477.34375-	15.6.6.6.6.6.	9.66131-	9.66131-	9.66131-	9.66131-
35	75	AF34	EQ		22477.34375-	15.6.6.6.6.6.	9.66131-	9.66131-	9.66131-	9.66131-
36	76	AF35	EQ		22477.34375-	15.6.6.6.6.6.	9.66131-	9.66131-	9.66131-	9.66131-
37	77	AF36	EQ		22477.34375-	15.6.6.6.6.6.	9.66131-	9.66131-	9.66131-	9.66131-
38	78	AF37	EQ		22477.34375-	15.6.6.6.6.6.	9.66131-	9.66131-	9.66131-	9.66131-
39	79	AF38	EQ		22477.34375-	15.6.6.6.6.6.	9.66131-	9.66131-	9.66131-	9.66131-
40	80	AF39	EQ		22477.34375-	15.6.6.6.6.6.	9.66131-	9.66131-	9.66131-	9.66131-
41	81	AF30	EQ		22477.34375-	15.6.6.6.6.6.	9.66131-	9.66131-	9.66131-	9.66131-
42	82	AF34	EQ		22477.34375-	15.6.6.6.6.6.	9.66131-	9.66131-	9.66131-	9.66131-
43	83	AF35	EQ		22477.34375-	15.6.6.6.6.6.	9.66131-	9.66131-	9.66131-	9.66131-
44	84	AF36	EQ		22477.34375-	15.6.6.6.6.6.	9.66131-	9.66131-	9.66131-	9.66131-
45	85	AF37	EQ		22477.34375-	15.6.6.6.6.6.	9.66131-	9.66131-	9.66131-	9.66131-
46	86	AF38	EQ		22477.34375-	15.6.6.6.6.6.	9.66131-	9.66131-	9.66131-	9.66131-
47	87	AF39	EQ		22477.34375-	15.6.6.6.6.6.	9.66131-	9.66131-	9.66131-	9.66131-
48	88	AF30	EQ		22477.34375-	15.6.6.6.6.6.	9.66131-	9.66131-	9.66131-	9.66131-
49	89	AF34	EQ		22477.34375-	15.6.6.6.6.6.	9.66131-	9.66131-	9.66131-	9.66131-
50	90	AF35	EQ		22477.34375-	15.6.6.6.6.6.	9.66131-	9.66131-	9.66131-	9.66131-
51	91	AF36	EQ		22477.34375-	15.6.6.6.6.6.	9.66131-	9.66131-	9.66131-	9.66131-
52	92	AF37	EQ		22477.34375-	15.6.6.6.6.6.	9.66131-	9.66131-	9.66131-	9.66131-
53	93	AF38	EQ		22477.34375-	15.6.6.6.6.6.	9.66131-	9.66131-	9.66131-	9.66131-
54	94	AF39	EQ		22477.34375-	15.6.6.6.6.6.	9.66131-	9.66131-	9.66131-	9.66131-
55	95	AF30	EQ		22477.34375-	15.6.6.6.6.6.	9.66131-	9.66131-	9.66131-	9.66131-
56	96	AF34	EQ		22477.34375-	15.6.6.6.6.6.	9.66131-	9.66131-	9.66131-	9.66131-
57	97	AF35	EQ		22477.34375-	15.6.6.6.6.6.	9.66131-	9.66131-	9.66131-	9.66131-
58	98	AF36	EQ		22477.34375-	15.6.6.6.6.6.	9.66131-	9.66131-	9.66131-	9.66131-
59	99	AF37	EQ		22477.34375-	15.6.6.6.6.6.	9.66131-	9.66131-	9.66131-	9.66131-
60	100	AF38	EQ		22477.34375-	15.6.6.6.6.6.	9.66131-	9.66131-	9.66131-	9.66131-
61	101	AF39	EQ		22477.34375-	15.6.6.6.6.6.	9.66131-	9.66131-	9.66131-	9.66131-
62	102	AF30	EQ		22477.34375-	15.6.6.6.6.6.	9.66131-	9.66131-	9.66131-	9.66131-
63	103	AF34	EQ		22477.34375-	15.6.6.6.6.6.	9.66131-	9.66131-	9.66131-	9.66131-
64	104	AF35	EQ		22477.34375-	15.6.6.6.6.6.	9.66131-	9.66131-	9.66131-	9.66131-
65	105	AF36	EQ		22477.34375-	15.6.6.6.6.6.	9.66131-	9.66131-	9.66131-	9.66131-
66	106	AF37	EQ		22477.34375-	15.6.6.6.6.6.	9.66131-	9.66131-	9.66131-	9.66131-
67	107	AF38	EQ		22477.34375-	15.6.6.6.6.6.	9.66131-	9.66131-	9.66131-	9.66131-
68	108	AF39	EQ		22477.34375-	15.6.6.6.6.6.	9.66131-	9.66131-	9.66131-	9.66131-
69	109	AF30	EQ		22477.34375-	15.6.6.6.6.6.	9.66131-	9.66131-	9.66131-	9.66131-
70	110	AF34	EQ		22477.34375-	15.6.6.6.6.6.	9.66131-	9.66131-	9.66131-	9.66131-
71	111	AF35	EQ		22477.34375-	15.6.6.6.6.6.	9.66131-	9.66131-	9.66131-	9.66131-
72	112	AF36	EQ		22477.34375-	15.6.6.6.6.6.	9.66131-	9.66131-	9.66131-	9.66131-
73	113	AF37	EQ		22477.34375-	15.6.6.6.6.6.	9.66131-	9.66131-	9.66131-	9.66131-
74	114	AF38	EQ		22477.34375-	15.6.6.6.6.6.	9.66131-	9.66131-	9.66131-	9.66131-
75	115	AF39	EQ		22477.34375-	15.6.6.6.6.6.	9.66131-	9.66131-	9.66131-	9.66131-
76	116	AF30	EQ		22477.34375-	15.6.6.6.6.6.	9.66131-	9.66131-	9.66131-	9.66131-
77	117	AF34	EQ		22477.34375-	15.6.6.6.6.6.	9.66131-	9.66131-	9.66131-	9.66131-
78	118	AF35	EQ		22477.34375-	15.6.6.6.6.6.	9.66131-	9.66131-	9.66131-	9.66131-
79	119	AF36	EQ		22477.34375-	15.6.6.6.6.6.	9.66131-	9.66131-	9.66131-	9.66131-
80	120	AF37	EQ		22477.34375-	15.6.6.6.6.6.	9.66131-	9.66131-	9.66131-	9.66131-
81	121	AF38	EQ		22477.34375-	15.6.6.6.6.6.	9.66131-	9.66131-	9.66131-	9.66131-
82	122	AF39	EQ		22477.34375-	15.6.6.6.6.6.	9.66131-	9.66131-	9.66131-	9.66131-
83	123	AF30	EQ		22477.34375-	15.6.6.6.6.6.	9.66131-	9.66131-	9.66131-	9.66131-
84	124	AF34	EQ		22477.34375-	15.6.6.6.6.6.	9.66131-	9.66131-	9.66131-	9.66131-
85	125	AF35	EQ		22477.34375-	15.6.6.6.6.6.	9.66131-	9.66131-	9.66131-	9.66131-
86	126	AF36	EQ		22477.34375-	15.6.6.6.6.6.	9.66131-	9.66131-	9.66131-	9.66131-
87	127	AF37	EQ		22477.34375-	15.6.6.6.6.6.	9.66131-	9.66131-	9.66131-	9.66131-
88	128	AF38	EQ		22477.34375-	15.6.6.6.6.6.	9.66131-	9.66131-	9.66131-	9.66131-
89	129	AF39	EQ		22477.34375-	15.6.6.6.6.6.	9.66131-	9.66131-	9.66131-	9.66131-
90	130	AF30	EQ		22477.34375-	15.6.6.6.6.6.	9.66131-	9.66131-	9.66131-	9.66131-
91	131	AF34	EQ		22477.34375-	15.6.6.6.6.6.	9.66131-	9.66131-	9.66131-	9.66131-
92	132	AF35	EQ		22477.34375-	15.6.6.6.6.6.	9.66131-	9.66131-	9.66131-	9.66131-
93	133	AF36</								

OPTIMIZACAO DO PROG. SINT-AF-10

NUMBER	ACTIVITY	LOWER LIMIT	UPPER LIMIT	UNIT COST	LOWER COST	UPPER COST	UNIT COST
74 AF45	EQ						
75 AF46	EQ						
76 AF47	EQ						
77 AF49	EQ						
78 AF49	EQ						
79 AF50	EQ						
80 AF51	EQ						
81 AF52	EQ						
82 AF53	EQ						
83 AF54	EQ						
84 AF55A	LL						
85 ALD1	EQ						
86							
87 ALD2	EQ						
88 ALD3A	EQ						
89 ALD3A	EQ						
90 ALD3C	EQ						
91 ALD4	EQ						

KNE

KNE

324-32456-

324-32456-

+

+

91

## MPSX/370 R1.6 OPTIMIZACAO PROC. SINT-AP-LO

PAGE 31 82/305

NUMBER	ACTIVITY	SLACK ACTIVITY	UPPER LIMIT	LOWER LIMIT	UPPER COST	LOWER COST	UNIT COST	UPPER COST	LOWER COST	PROCESS	AT
92 ALD05	ta									CALPERD	LL
93 ALD06	ta									CALPERD	LL
94 ALD07	ta									ALD21A	LL
95 ALD08	ta									ALD20C	LL
96 ALD09	ta									ALD21A	LL
97 ALD10	ta									FE0020	LL
98 ALD11	ta									ALD20C	LL
99 ALD12	ta									FCP002	LL
100 ALD12A	ta									FCSES	LL
101 ALD12B	ta									S12E0D	LL
102 ALD12C	ta									AF308	LL
103 ALD13	ta									FE0020	LL
104 ALD14	ta									ALD21A	LL
105 ALD15	ta									ALD20C	LL
106 ALD16	ta									ALD20A	LL
107 ALD16A	ta									ALD20A	LL
108 ALD17	ta									ALD20A	LL

MANUFACTURE - \* \* \* \* \* SLACKS & CLOTHING - \* \* \* \* \* UPPERS ACTIVITY - \* \* \* \* \* EDIBLE-DRUGS - \* \* \* \* \* OUT- COST - \* \* \* \* \* UPPER COST - \* \* \* \* \*

109 ALD13A CALPERO L ALD21A L

...ALOZO A.  
REAR

REVERSE

ALD223  
ALD223  
ALD223

AL023A AL023A AL023A AL023A

121-41024-59  
3607-37451  
293-12345  
1253  
CPLR

RCNS 3-27723  
RECEIVED  
FEB 2 1948

123 AL026A 80  
2618.06162  
SUCINF

124 ALD 269 EQ 194-13202-  
5239-12103 ALD 269  
CARRACK

127 - ALD 0268 - *Leptothrix* sp. - 12.4°C 38% - ALD 268  
ALD 213

AL026C  
AL026D

198-A10265-32.00778-  
198-A11111-1564  
198-A11111-20609\*

1931. ALO 027-ED  
H. FENSTERWALD  
150595-B290  
H. FENSTERWALD  
150595-B290  
CUPERO

CALIFORNIA  
CITIES

163-44274  
142404-647530  
CALPERO

133 AL329 EQUATEES  
552341.75003

134 A.D. 22  
142954 48-730-  
149164 30-300  
242155 24-245  
242156 24-246

135 AL 931 - 69 CALIFORNIA STATE LIBRARIES

NONF  
CABRERA

MPSX/370 R1.6 DMINICAO DO PRNC. SINT-AF-10

NUMBER = "ROM" \* UNIT ACTIVITY = "UPPER COST" \* LOWER COST" \* STACK ACTIVITY = "UPPER LIMIT" \* LOWER LIMIT" \* UNIT COST" \* PROCESS AT \*

INFINITY = 913095.50000 \* 0.0935 \* 0.0836 \* VAD2 MODE 11

MPSX/370 RI.6 OTIMIZACAO DO PROC. SINI-AF-LD

3337 11-5500-303 - 6-NOTICE

THE ACTIVITY COSTS ARE DETERMINED AT THE TIME OF THE ACTIVITIES.

UPPER LIMIT, UPPER ACTIVITY & GROWTH CLUSTER

None

— 4 —

INFINITY AND THE ABSOLUTE

18-21214-  
18-21214

卷之三

0024-5321(198501)1:1;1-5

卷之三

5426.0152  
SNCN

卷之三

卷之三

THE JOURNAL OF CLIMATE

卷之三

2

卷之三



MPSX/370 R1.6 OPTIMIZAG 00 PROC. SINI-AF-LD LOWER-COST. UNIT-COST. UPPER-COST. PROCESS. AT RUN# ACTIVITY SLACK ACTIVITY LOWER-LIMIT. UPPER-LIMIT. UNIT COST. UNIT COST. NUMBER

NUMBER	RUN#	ACTIVITY	SLACK ACTIVITY	LOWER-LIMIT.	UPPER-LIMIT.	UNIT COST.	UNIT COST.	PROCESS.
57	AF300	85	27.93567	27.93567	27.93567	27.93567	27.93567	27.93567
61	AF344	95	304.92389	304.92389	304.92389	304.92389	304.92389	304.92389
63	AF354	95	304.92389	304.92389	304.92389	304.92389	304.92389	304.92389
64	AF358	46	1313.93234	1313.93234	1313.93234	1313.93234	1313.93234	1313.93234
68	AF422	85	30927.71875	30927.71875	30927.71875	30927.71875	30927.71875	30927.71875
73	AF44	95	19294.08105	19294.08105	19294.08105	19294.08105	19294.08105	19294.08105
85	AF559	45	41859.938030000	41859.938030000	41859.938030000	41859.938030000	41859.938030000	41859.938030000
96	AL0183	95	77.51793	77.51793	77.51793	77.51793	77.51793	77.51793
111	AL0203	95	1344.84192	1344.84192	1344.84192	1344.84192	1344.84192	1344.84192
115	AL0214	95	12.12350	12.12350	12.12350	12.12350	12.12350	12.12350
116	AL0216	95	56.10028	56.10028	56.10028	56.10028	56.10028	56.10028
117	AL0223	95	2.01484	2.01484	2.01484	2.01484	2.01484	2.01484
125	AL0260	95	98.06501	98.06501	98.06501	98.06501	98.06501	98.06501
126	AL0260	95	192.13232	192.13232	192.13232	192.13232	192.13232	192.13232

MPSX/370 R1.6 STIMULACAO DE PROC. SINT-AF-LD

NUMBER	ROW	ACTIVITY	LOWER LIMIT	UNIT COST	UPPER LIMIT	UNIT COST	LOWER ACTIVITY	UNIT COST	UPPER ACTIVITY	UNIT COST
129	ALD26G	35	3643.34155	3543.34155	3661.41345	3661.41345	1045.10840	25.45252	58.56322	AF43 LL

NUMBER	ROW	ACTIVITY	LOWER LIMIT	UNIT COST	UPPER LIMIT	UNIT COST	LOWER ACTIVITY	UNIT COST	UPPER ACTIVITY	UNIT COST
129	ALD26G	35	3643.34155	3543.34155	3661.41345	3661.41345	1045.10840	25.45252	58.56322	AF43 LL

NUMBER	ROW	ACTIVITY	LOWER LIMIT	UNIT COST	UPPER LIMIT	UNIT COST	LOWER ACTIVITY	UNIT COST	UPPER ACTIVITY	UNIT COST
129	ALD26G	35	3643.34155	3543.34155	3661.41345	3661.41345	1045.10840	25.45252	58.56322	AF43 LL

## SECTION 4 - COLUMNS AT INTERMEDIATE LEVEL

NUMBER	COLUMN	UNIT ACTIVITY	LOWER LIMIT	UPPER LIMIT	LOWER COST	UNIT COST	UPPER COST	AT PROCESS
138 - FINAP - 08	3622.50537	2.96000	2.96000	2.96000	82.92199	410198	82.92199	AT
	AGNE	3038.37866	66.76111	66.76111	63.75911	AF43	63.75911	
		17306.40439	11.16350	11.16350	14.17268	SINT1A	14.17268	
139 - M4TEST	85	17360.25387	NONE	NONE	16.45325	AF43	16.45325	
		17451.46796	420.12468	420.12468	417.61634	AF43	417.61634	
140 - M4ST	85	19747.03125	NONE	NONE	13.77121	AF43	13.77121	
		19850.73676	10.61058	10.61058	10.21058	AF43	10.21058	
141 - CARGIM1	85	19747.03125	*	*	13.77121	AF43	13.77121	
		2470.80596	105.36539	105.36539	121.95538	AF43	121.95538	
		2498.90455	31.11023	31.11023	36.65054	AF43	36.65054	
142 - CARVATST	85	1682.844684	NONE	NONE	1453.03035	AF43	1453.03035	
		186.26161	161.76271	161.76271	169.67271	SINT1A	169.67271	
143 - CALST	85	187.41583	NONE	NONE	205.56307	AF43	211.24293	
		207.54934	14.66935	14.66935	213.03249	SINT1A	213.03249	
144 - CALCARST	85	1237.49451	NONE	NONE	12.86324	AF43	15.71524	
		1289.64223	14.66935	14.66935	15.71524	AF43	15.71524	
145 - SINER	85	2109561319	*	*	20468.44305	AF43	21207.41031	
		21207.41031	4.53739	4.53739	4.53739	AF43	4.53739	
146 - S1SINT	85	815.8C786	*	*	1006.56934	AF43	1053.43893	
		610.67057	373.29353	373.29353	373.29353	AF43	373.29353	
		620.06224	247.16207	247.16207	247.16207	AF43	247.16207	
147 - CAGST	85	1012.63770	*	*	1063.49470	AF43	1063.49470	
		1063.49470	23.71141	23.71141	23.71141	SINT1A	23.71141	
148 - MN SINT	85	149.16596	*	*	146.67946	AF43	146.67946	
		179.53798	1615.52722	1615.52722	1615.52722	AF43	1615.52722	
149 - FGSSST	85	32.06547	*	*	1006.56934	AF43	1053.43893	
		31.89129	34.75.8C391	34.75.8C391	34.75.8C391	AF43	34.75.8C391	
		32.25347	6284.1C938	6284.1C938	6284.1C938	AF43	6284.1C938	
150 - ALUMST	85	326.76140	*	*	225.41647	AF43	225.41647	
		227.96254	119.50715	119.50715	119.50715	AF43	119.50715	
		13460.91456	639.06640	639.06640	639.06640	AF43	639.06640	
151 - FKNGST	85	13410.06379	*	*	13420.93760	AF43	13420.93760	
		13430.91456	12.03553	12.03553	12.03553	AF43	12.03553	
152 - FEAST	85	2540.47715	*	*	2531.16558	AF43	2531.16558	
		2549.45131	79.17633	79.17633	79.17633	AF43	79.17633	
		8046	16.63767	16.63767	16.63767	AF43	16.63767	
153 - FEO3ST	85	14342.06379	*	*	14243.97470	AF43	14243.97470	
		16429.71167	12.33739	12.33739	12.33739	AF43	12.33739	

154-FED-085-245-85	NUMBER-COLUMN	ITEM-DESCRIPTION	INPUT-COST	OPERATOR-UNIT	USER-ACTIVITY	INITIAL-COST	UPPER-COST	PROCESS	AT	175-VAR
155-FED-085-245-85	155-FED-085-245-85	CAPTIN-95	112-466003	112-466003	112-466003	112-466003	112-466003	112-466003	112-466003	112-466003
156-FED-085-245-85	156-FED-085-245-85	WNC	115-230300	115-230300	115-230300	115-230300	115-230300	115-230300	115-230300	115-230300
157-CAR-085-245-85	157-CAR-085-245-85	WNC	116-411940	116-411940	116-411940	116-411940	116-411940	116-411940	116-411940	116-411940
158-FED-085-245-85	158-FED-085-245-85	WNC	116-611930	116-611930	116-611930	116-611930	116-611930	116-611930	116-611930	116-611930
159-FED-085-245-85	159-FED-085-245-85	WNC	117-214790	117-214790	117-214790	117-214790	117-214790	117-214790	117-214790	117-214790
160-PGS-085-245-85	160-PGS-085-245-85	WNC	118-282116	118-282116	118-282116	118-282116	118-282116	118-282116	118-282116	118-282116
161-MND-085-245-85	161-MND-085-245-85	WNC	119-211121	119-211121	119-211121	119-211121	119-211121	119-211121	119-211121	119-211121
162-NSCAF-085-245-85	162-NSCAF-085-245-85	WNC	120-74973	120-74973	120-74973	120-74973	120-74973	120-74973	120-74973	120-74973
163-CARAF-085-245-85	163-CARAF-085-245-85	WNC	121-1175482	121-1175482	121-1175482	121-1175482	121-1175482	121-1175482	121-1175482	121-1175482
164-NSCAF-085-245-85	164-NSCAF-085-245-85	WNC	122-312326	122-312326	122-312326	122-312326	122-312326	122-312326	122-312326	122-312326
165-NSCAF-085-245-85	165-NSCAF-085-245-85	WNC	123-439155	123-439155	123-439155	123-439155	123-439155	123-439155	123-439155	123-439155
166-NSCAF-085-245-85	166-NSCAF-085-245-85	WNC	124-312324	124-312324	124-312324	124-312324	124-312324	124-312324	124-312324	124-312324
167-SL115-245-85	167-SL115-245-85	WNC	125-11753	125-11753	125-11753	125-11753	125-11753	125-11753	125-11753	125-11753
168-UNICAE-95	168-UNICAE-95	WNC	126-312323	126-312323	126-312323	126-312323	126-312323	126-312323	126-312323	126-312323
169-CUVAL-785	169-CUVAL-785	WNC	127-312322	127-312322	127-312322	127-312322	127-312322	127-312322	127-312322	127-312322
170-COVOL-785	170-COVOL-785	WNC	128-312321	128-312321	128-312321	128-312321	128-312321	128-312321	128-312321	128-312321
171-CERCOL-785	171-CERCOL-785	WNC	129-312320	129-312320	129-312320	129-312320	129-312320	129-312320	129-312320	129-312320
172-3254	172-3254	WNC	130-312319	130-312319	130-312319	130-312319	130-312319	130-312319	130-312319	130-312319
173-CANCAE-95	173-CANCAE-95	WNC	131-312318	131-312318	131-312318	131-312318	131-312318	131-312318	131-312318	131-312318
174-1593	174-1593	WNC	132-312317	132-312317	132-312317	132-312317	132-312317	132-312317	132-312317	132-312317
175-3254	175-3254	WNC	133-312316	133-312316	133-312316	133-312316	133-312316	133-312316	133-312316	133-312316
176-ALDWIN-95	176-ALDWIN-95	WNC	134-312315	134-312315	134-312315	134-312315	134-312315	134-312315	134-312315	134-312315
177-3254	177-3254	WNC	135-312314	135-312314	135-312314	135-312314	135-312314	135-312314	135-312314	135-312314
178-UNICAE-95	178-UNICAE-95	WNC	136-312313	136-312313	136-312313	136-312313	136-312313	136-312313	136-312313	136-312313
179-3254	179-3254	WNC	137-312312	137-312312	137-312312	137-312312	137-312312	137-312312	137-312312	137-312312
180-3254	180-3254	WNC	138-312311	138-312311	138-312311	138-312311	138-312311	138-312311	138-312311	138-312311
181-3254	181-3254	WNC	139-312310	139-312310	139-312310	139-312310	139-312310	139-312310	139-312310	139-312310
182-3254	182-3254	WNC	140-312309	140-312309	140-312309	140-312309	140-312309	140-312309	140-312309	140-312309
183-3254	183-3254	WNC	141-312308	141-312308	141-312308	141-312308	141-312308	141-312308	141-312308	141-312308
184-3254	184-3254	WNC	142-312307	142-312307	142-312307	142-312307	142-312307	142-312307	142-312307	142-312307
185-3254	185-3254	WNC	143-312306	143-312306	143-312306	143-312306	143-312306	143-312306	143-312306	143-312306
186-3254	186-3254	WNC	144-312305	144-312305	144-312305	144-312305	144-312305	144-312305	144-312305	144-312305
187-3254	187-3254	WNC	145-312304	145-312304	145-312304	145-312304	145-312304	145-312304	145-312304	145-312304
188-3254	188-3254	WNC	146-312303	146-312303	146-312303	146-312303	146-312303	146-312303	146-312303	146-312303
189-3254	189-3254	WNC	147-312302	147-312302	147-312302	147-312302	147-312302	147-312302	147-312302	147-312302
190-3254	190-3254	WNC	148-312301	148-312301	148-312301	148-312301	148-312301	148-312301	148-312301	148-312301
191-3254	191-3254	WNC	149-312300	149-312300	149-312300	149-312300	149-312300	149-312300	149-312300	149-312300
192-3254	192-3254	WNC	150-312300	150-312300	150-312300	150-312300	150-312300	150-312300	150-312300	150-312300
193-3254	193-3254	WNC	151-312300	151-312300	151-312300	151-312300	151-312300	151-312300	151-312300	151-312300
194-3254	194-3254	WNC	152-312300	152-312300	152-312300	152-312300	152-312300	152-312300	152-312300	152-312300
195-3254	195-3254	WNC	153-312300	153-312300	153-312300	153-312300	153-312300	153-312300	153-312300	153-312300
196-3254	196-3254	WNC	154-312300	154-312300	154-312300	154-312300	154-312300	154-312300	154-312300	154-312300
197-3254	197-3254	WNC	155-312300	155-312300	155-312300	155-312300	155-312300	155-312300	155-312300	155-312300
198-3254	198-3254	WNC	156-312300	156-312300	156-312300	156-312300	156-312300	156-312300	156-312300	156-312300
199-3254	199-3254	WNC	157-312300	157-312300	157-312300	157-312300	157-312300	157-312300	157-312300	157-312300
200-3254	200-3254	WNC	158-312300	158-312300	158-312300	158-312300	158-312300	158-312300	158-312300	158-312300
201-3254	201-3254	WNC	159-312300	159-312300	159-312300	159-312300	159-312300	159-312300	159-312300	159-312300
202-3254	202-3254	WNC	160-312300	160-312300	160-312300	160-312300	160-312300	160-312300	160-312300	160-312300
203-3254	203-3254	WNC	161-312300	161-312300	161-312300	161-312300	161-312300	161-312300	161-312300	161-312300
204-3254	204-3254	WNC	162-312300	162-312300	162-312300	162-312300	162-312300	162-312300	162-312300	162-312300
205-3254	205-3254	WNC	163-312300	163-312300	163-312300	163-312300	163-312300	163-312300	163-312300	163-312300
206-3254	206-3254	WNC	164-312300	164-312300	164-312300	164-312300	164-312300	164-312300	164-312300	164-312300
207-3254	207-3254	WNC	165-312300	165-312300	165-312300	165-312300	165-312300	165-312300	165-312300	165-312300
208-3254	208-3254	WNC	166-312300	166-312300	166-312300	166-312300	166-312300	166-312300	166-312300	166-312300
209-3254	209-3254	WNC	167-312300	167-312300	167-312300	167-312300	167-312300	167-312300	167-312300	167-312300
210-3254	210-3254	WNC	168-312300	168-312300	168-312300	168-312300	168-312300	168-312300	168-312300	168-312300
211-3254	211-3254	WNC	169-312300	169-312300	169-312300	169-312300	169-312300	169-312300	169-312300	169-312300
212-3254	212-3254	WNC	170-312300	170-312300	170-312300	170-312300	170-312300	170-312300	170-312300	170-312300
213-3254	213-3254	WNC	171-312300	171-312300	171-312300	171-312300	171-312300	171-312300	171-312300	171-312300
214-3254	214-3254	WNC	172-312300	172-312300	172-312300	172-312300	172-312300	172-312300	172-312300	172-312300
215-3254	215-3254	WNC	173-312300	173-312300	173-312300	173-312300	173-312300	173-312300	173-312300	173-312300
216-3254	216-3254	WNC	174-312300	174-312300	174-312300	174-312300	174-312300	174-312300	174-312300	174-312300
217-3254	217-3254	WNC	175-312300	175-312300	175-312300	175-312300	175-312300	175-312300	175-312300	175-312300
218-3254	218-3254	WNC	176-312300	176-312300	176-312300	176-312300	176-312300	176-312300	176-312300	176-312300
219-3254	219-3254	WNC	177-312300	177-312300	177-312300	177-312300	177-312300	177-312300	177-312300	177-312300
220-3254	220-3254	WNC	178-312300	178-312300	178-312300	178-				

## NPSX/370 R1.6 OTIMIZACAO DO PROC. SINT-AF-LD

NUMBER	COLUMN	ACTIVITY	LOWER LIMIT	UNIT COST	INPUT COST	LOWER ACTIVITY	UNIT COST	UPPER LIMIT	UNIT COST	PROCESS	AT
176	VIO2	05	-3542845.00000	-	-	-06928-	-06929-	-AF19-	-	NONE	
177	VTN2	05	-12561000.00000	-	-	-02512-	-02513-	-VTAR-	-	INFINITY	
178	UMIARC	05	-238.45500	-	-	-02512-	-02513-	-VTAR-	-	INFINITY	
179	410VPL	05	-229.426130	-	-	-02512-	-02513-	-VTAR-	-	INFINITY	
180	HIDRO2	05	-255.74872	-	-	-02512-	-02513-	-VTAR-	-	INFINITY	
181	FRC03	05	-131.40700	-	-	-02512-	-02513-	-VTAR-	-	INFINITY	
182	410VPL	05	-229.426130	-	-	-02512-	-02513-	-VTAR-	-	INFINITY	
183	XNRC03	05	-76.67550	-	-	-02512-	-02513-	-VTAR-	-	INFINITY	
184	SIRED	05	-65.92748	-	-	-02512-	-02513-	-VTAR-	-	INFINITY	
185	CARGUSA	05	-641.31889	-	-	-02512-	-02513-	-VTAR-	-	INFINITY	
186	GUSA	05	-13452.22260	-	-	-02512-	-02513-	-VTAR-	-	INFINITY	
187	FEVES	05	-24.74403	-	-	-02512-	-02513-	-VTAR-	-	INFINITY	
188	SYESCOR	05	-1016.41246	-	-	-02512-	-02513-	-VTAR-	-	INFINITY	
189	ESCOLAP	05	-24.74403	-	-	-02512-	-02513-	-VTAR-	-	INFINITY	
190	CARVAC	05	-4520.35564	-	-	-02512-	-02513-	-VTAR-	-	INFINITY	
191	PUE18A	05	-618.55432	-	-	-02512-	-02513-	-VTAR-	-	INFINITY	
192	HIRED	05	-102.24546	-	-	-02512-	-02513-	-VTAR-	-	INFINITY	



NUMBER	COLUMN	ACTIVITY	LOWER LIMIT	UPPER LIMIT	UNIT COST	INPUT COST	UNIT COST	UPPER COST	UNIT COST	LOWER COST	UPPER COST	PROCESS
211	SIESC	85	68.48495	12.03030	66.38745	477.01035	477.01035	477.01035	477.01035	477.01035	477.01035	SINTIA
212	CAI	85	887.62724	12.03030	86.38737	90.91226	90.91226	90.91226	90.91226	90.91226	90.91226	LL
213	SITES	85	68.48495	12.03030	66.38745	477.01035	477.01035	477.01035	477.01035	477.01035	477.01035	SINTIA
214	SIEIP	95	323.56139	324.82993	None	10.55.32916	85.52.67118	31.5.55.92	43.5.55.92	43.5.55.92	43.5.55.92	ALD238
215	REVEST	95	346.34702	324.82993	None	78.3.32209	78.7.76857	78.7.86977	80.9264	78.7.86977	78.7.86977	ALD264
216	450	95	346.34702	324.82993	None	65.5.32636	78.5.51072	74.5.51062	74.5.51062	74.5.51062	74.5.51062	ALD198
217	CAP	95	346.34702	324.82993	None	327.4.21130	30.4.30737	20.9.30737	20.9.30737	20.9.30737	20.9.30737	SINTIA
218	CAI	95	346.34702	324.82993	None	70.4.27532	33.2.21063	14.25.56951	17.30.49376	17.30.49376	17.30.49376	ALD198
219	FERRON	95	346.34702	324.82993	None	75.4.10733	37.6.68522	76.43.86914	76.43.86914	76.43.86914	76.43.86914	ALD198
220	FEEDS	95	346.34702	324.82993	None	64.5.6.4740	35.6.84.474	43.3.30138	43.3.30138	43.3.30138	43.3.30138	ALD22A
221	FOGERS	95	346.34702	324.82993	None	76.6.3.9559	6.6.32.31079	1.93.7.27734	1.93.7.27734	1.93.7.27734	1.93.7.27734	ALD198
222	SIPIRD	95	346.34702	324.82993	None	15.6.5.36565	15.6.7.16241	9.4.61.667	1.4.61.667	1.4.61.667	1.4.61.667	ALD198
223	FEEDS	95	346.34702	324.82993	None	15.6.5.36565	15.6.7.16241	1.4.13.4.1747	1.4.13.4.1747	1.4.13.4.1747	1.4.13.4.1747	SINTIA
224	FEAO	95	346.34702	324.82993	None	1.4.6.4.1935	34.4.9.9550	1.43.7.75957	1.43.7.75957	1.43.7.75957	1.43.7.75957	ALD264
225	CACO	95	346.34702	324.82993	None	1.4.6.4.1935	1.4.6.4.1935	6.6.23.6.64444	6.6.23.6.64444	6.6.23.6.64444	6.6.23.6.64444	ALD264
226	WACO	95	346.34702	324.82993	None	1.4.6.4.1935	1.4.6.4.1935	2.9.3.5.6.65934	2.9.3.5.6.65934	2.9.3.5.6.65934	2.9.3.5.6.65934	SINTIA
227	FD5450	95	346.34702	324.82993	None	1.4.6.4.1935	1.4.6.4.1935	1.26.7.2.65817	1.26.7.2.65817	1.26.7.2.65817	1.26.7.2.65817	ALD198
228	FEAO	95	346.34702	324.82993	None	1.4.6.4.1935	1.4.6.4.1935	2.6.2.2.69655	2.6.2.2.69655	2.6.2.2.69655	2.6.2.2.69655	ALD198
229	FEAO	95	346.34702	324.82993	None	1.4.6.4.1935	1.4.6.4.1935	6.2.6.7.2334	6.2.6.7.2334	6.2.6.7.2334	6.2.6.7.2334	ALD198
230	FEAO	95	346.34702	324.82993	None	1.4.6.4.1935	1.4.6.4.1935	9.4.6.3.10430	9.4.6.3.10430	9.4.6.3.10430	9.4.6.3.10430	ALD198
231	FEAO	95	346.34702	324.82993	None	1.4.6.4.1935	1.4.6.4.1935	19.6.2.96	19.6.2.96	19.6.2.96	19.6.2.96	ALD198
232	FEAO	95	346.34702	324.82993	None	1.4.6.4.1935	1.4.6.4.1935	13.8.80220	13.8.80220	13.8.80220	13.8.80220	ALD198
233	FEAO	95	346.34702	324.82993	None	1.4.6.4.1935	1.4.6.4.1935	1.1.6.6.2502	1.1.6.6.2502	1.1.6.6.2502	1.1.6.6.2502	ALD198
234	FEAO	95	346.34702	324.82993	None	1.4.6.4.1935	1.4.6.4.1935	1.1.6.6.4.219	1.1.6.6.4.219	1.1.6.6.4.219	1.1.6.6.4.219	ALD198
235	FEAO	95	346.34702	324.82993	None	1.4.6.4.1935	1.4.6.4.1935	2.6.3.5.57955	2.6.3.5.57955	2.6.3.5.57955	2.6.3.5.57955	ALD198
236	FEAO	95	346.34702	324.82993	None	1.4.6.4.1935	1.4.6.4.1935	6.6.6.7.16355	6.6.6.7.16355	6.6.6.7.16355	6.6.6.7.16355	ALD198
237	FEAO	95	346.34702	324.82993	None	1.4.6.4.1935	1.4.6.4.1935	2.6.6.6.0416	2.6.6.6.0416	2.6.6.6.0416	2.6.6.6.0416	ALD198

OPTIMIZACAO DO PROJ. SINT-AP-10

卷之三

卷之三

卷之三

\* 169503261-38-33131S-162

46538.87 \$6.33504-262

234 SIAUH - 46026203 - 46026203 - 46026203 - 46026203

NOX 3600-200-982  
901600-604  
-94595-270  
-94595-279  
-94223-521  
-94223-522  
-94223-523  
-94223-524

3. *On the other hand, the author's argument is not based on the assumption that the* *two* *types of* *models* *are* *equally* *useful* *in* *the* *same* *situations*.

4344-184506-4-965941-3  
4344-184506-4-965941-3  
4344-184506-4-965941-3

239 CAL.PAR. 7S-7089452. 60005 HONG KONG 715520265  
\* 961359 - \* 961359 - \* 961359 -

240	CAGES	... ... 185, 44274	187-45767	18-27142-
			112-29613	35-63381
			112-29613	44-63381
			112-29613	44-63381
			112-29613	44-63381

卷之三

141 ENTRIES 53 CLOTHES 503419.327346 NONE 503419.327346

243 ENT FUM 95 14436812600 \* 14650766343 14650766343 18927493826 2-36531-  
\* 46477- 46477- 2-09501-

264	CABRERA	93	-142896.68753	445479.31641	2.39495+
				445479.31641	2.39495+

卷之三

NPSSX/370 R1.6 OTIMIZACAO OC PROC. SINT-ASF-LD

卷之三

OPTIMIZATION DO PROC \* SYNT-AE-10  
OPTIMIZATION DO PROC \* SYNT-AE-10  
OPTIMIZATION DO PROC \* SYNT-AE-10

卷之三

NUMBER ROWS AT ACTIVITY SLACK ACTIVITY LOWER LIMIT UNIT COST LOWER COST UPPER LIMIT UNIT COST UPPER COST

卷之三

三

5

4

14

6

1

5

27

1

六

4

15

2

2

1

卷之三

## BIBLIOGRAFIAS

1. Lamas, Vicente P.B., "Exemplo de cálculo de carregamento para Sinterização nas condições atuais da Belgo Mineira", Publicação Interna CSBM, J.Monlevade (1979).
2. Marques, Luis S., "Exemplo de cálculo de consumo de calcáreo na Sinterização", Publicação Interna CSBM, J.Monlevade (1980).
3. Czovak, B., "Effect of Pig Iron Quality on the Economics of LD Converter Steelmaking", Nuthik vol.12, (1975), pg 455-457.
4. ———, "Linear Programming - Blast Furnace Burdening and Production Planning", IBM (1965).
5. Geiger Jr., Lewis J., "A Linear Program Model of the Iron Blast Furnace", thesis for degree of M.Sc., The Pennsylvania State University, (1959).
6. Szczeniowski, J., "Bilans thermiques des Hautes Fourneaux et Leurs Applications", CESSID, França (1964).
7. ———, "Curso sobre Redução de Minério de Ferro em Alto-Forno", ABM (1974), Cap. II, III e IV.
8. Szczeniowski, J. et Senna, D., "Etude du Haut Fourneau", Vol.2, CESSID, França (1964).
9. Elliont, John F. and Gleiser, Molly, "Thermochemistry for Steelmaking", The American Iron and Steel Institute (1964).
10. ———, "Contribuition of the Data on Theoretical Metallurgy" Bulletin 584, Bureau of Mines, USA (1960).
11. Waldenström, T. et Meysson, N., "Données thermodynamiques, IRSID, França (1966).

12. Penna, José A., "Modelo para cálculo de balanço de material e térmico em alto forno a carvão vegetal", Publicação Interna CSBM (1974), J.Monlevade.
13. Araújo, Luis A., "Siderurgia", Vol.1 , Editora Lema (1967).
14. ———, "Curso de elaboração de oço", ADI (1976).
15. Cherém, P., "Balanço de massa e térmico de uma corrida LD", Publicação Interna CSBM, J.Monlevade (1980).
16. Georges, S., "Variações metolúrgicas do processo LD em Monlevade", Publicação Interna CSBM, J.Monlevade (1976).
17. Boccuni, M., "Optimizzazione della Produttività del Complesso AltoForno-Acciaieria. Esame Dell'influenza delle Percentuale Di Silice", Metallurgia Italiana (1), (1971), pag 33-36.
18. Luenberger, David G., "Introduction to Linear and Nonlinear Programming", Addison - Wesley, (1973), pag 11-63.
19. Carvin, Walter W., "Introduction to Linear Programming", McGraw-Hill, (1960), pag 49-61 .